

123 | Juni 1964

SCHRIFTENREIHE SCHIFFBAU

B. Wagner

**Windkanalversuche für einen
rahgetakelten elliptischen Mast mit
einer gewölbten Platte bei
verschiedenen Leesegel-Einstellungen**

INSTITUT FÜR SCHIFFBAU DER UNIVERSITÄT HAMBURG

Bericht Nr. 123

Windkanalversuche für einen rahgetakelten elliptischen Mast mit einer gewölbten Platte bei verschiedenen Leesegel-Einstellungen.

von

B. Wagner

Hamburg, Juni 1964.

Windkanalversuche für einen rahgetakelten elliptischen Mast mit einer gewölbten Platte bei verschiedenen Leesegel-Einstellungen.

Gliederung

1. Einleitung;
2. Uebersicht über die verwendeten Symbole;
3. Versuchseinrichtung;
4. Modelle,
5. Versuche und Darstellung der Meßwerte;
6. Zusammenfassung der Versuchsergebnisse;
7. Literaturangaben.

1. Einleitung

Innerhalb des Forschungsvorhabens 'Windkräfte an Schiffen' wurden am Institut für Schiffbau Windkanalversuche mit Modellen einer neuen Rahsegel-Konstruktion durchgeführt. Das Besondere dieser Konstruktion (n. W. Prölss) besteht in einem elliptischen freitragenden Profilmast, der formfeste, gebogene Rahen trägt. Diese Rahen geben den dicht dazwischengesetzten Segeln eine bestimmte Wölbung vor. In einem vorangehenden Bericht (1) wurde über Versuche mit verschiedenen gewölbten Plattensegeln an einem elliptischen Mast berichtet, die über die geeignete Form und Größe der Wölbung der Plattensegel, den zweckmässigen Abstand zwischen Mast und Segel und die beim Reffen einzelner Teilsegel auftretenden Probleme Aufschluß geben sollten.

Im vorliegenden Bericht wird die Frage geprüft, wie sich die Kräfte und Momente am getakelten Mast durch Anwendung von Segeln einer Art veränderlicher Wölbung beeinflussen lassen. Diese Veränderung der Segelwölbung wird durch bewegliche Klappen oder 'Leesegel' erreicht, die an beiden Enden der gebogenen Rahen angebracht werden.

Zu diesem Zwecke wurde eine gewölbte Rechteckplatte mit verschiedenen einstellbaren Klappen oder 'Leesegeln' am elliptischen Mast untersucht.

2. Uebersicht über die verwendeten Symbole (vergl. Fig. 1)
(s. auch Bericht (1))

Modellabmessungen

- a.....große Halbachse der Mastellipse,
b.....kleine Halbachse der Mastellipse,
d.....Abstand des Plattensegels vom Mast,
f.....maxim. Wölbungspfeil des Plattensegels mit Leesegeln,
 f_0" " " " mit Leesegeln
in Nullstellung $\delta_v = \delta_h = 0^\circ$,
l.....Sehnenlänge des Plattensegels mit Leesegeln,
 l_0" " " " mit Leesegeln
in Nullstellung $v = \delta_H = 0^\circ$,
A.....Projektionsfläche des Plattensegels mit Leesegeln,
 A_0" " " " mit Leesegeln
in Nullstellung $v = h = 0^\circ$,
 A_SStrahlquerschnitt des Windkanals,
H.....Höhe des Plattensegels,
 $= H^2/A$Seitenverhältnis des Plattensegels mit Leesegeln
($\lambda = H/l$ für Rechteckplattensegel).

v.....vorderer 'Klappenwinkel' der Leesegeln
h.....hinterer (positiv von oben gesehen rechtsdrehend)

Darstellung der Versuchsergebnisse:

$$c_C = \frac{C}{\frac{1}{2} \cdot v \cdot A_0}$$
 Querkraftbeizahl,

$$c_D = \frac{D}{\frac{1}{2} \cdot v \cdot A_0}$$
 Widerstandsbeizahl,

$$c_M = \frac{M}{\frac{1}{2} \cdot v \cdot A_0 \cdot l_0}$$
 Momentenbeizahl,
Momentenwiderstand;

v..... Geschwindigkeit,
R_n..... Reynoldszahl $R_n = v \cdot l / \nu$,
..... Luftdichte,
..... kinematische Zähigkeit der Luft,
..... Anströmwinkel des Plattensegels mit Leesegeln, bezogen
auf die Sehnenrichtung bei Klappenwinkel $v = h = 0^\circ$,

3. Versuchseinrichtung

Die Messungen wurden im Windkanal der Ingenieurschule Hamburg
(alter IfS-Kanal) durchgeführt.

Angaben über den Kanal:

Strahldurchmesser:	1,00 m
Strahlgeschwindigkeiten:	etwa 14,5 bzw. 21,0 m/s;
Vorkammerdrücke:	12 bzw. 25 mm WS;
Staudrücke:	12,56 bzw. 26,40 mm WS
Reynoldszahlen $R_n = \frac{v \cdot l}{\nu}$:	etwa 0,21 bis $0,38 \cdot 10^6$;
Versperrungsverhältnis:	maximal $\frac{A}{A_S} = \frac{0,1474 \text{ m}^2}{0,785 \text{ m}^2} = 0,1878$.

Die Messung der Kräfte erfolgte mit Hilfe der Federgelenk - 3 K - Waage mit elektrischen Kraftaufnehmern in Verbindung mit Meßverstärkern.

4. Modelle (s. Fig. 2)

4.1. Rechteckplattensegel $\Lambda = 3,0$: mit 0,08 Kreiswölbung,
1,5 mm Stahlblech 540 x 180,
lackiert.

4.2. 'Leesegel' (Klappen): 1,5 mm Stahlblech 540 x 47,4, lackiert.

Die Klappen wurden durch je 3 Winkelstücke 30 x 12 x 2 am Plattensegel befestigt. Zur Verwirklichung der Klappenwinkel = 0 - 5 - 10 - 20° waren jeweils 2 Sätze von Winkelstücken vorhanden. Die Klappenwinkel = 30 - 60 - 70° wurden durch Nachbiegen eines vorhandenen Winkelsatzes erhalten.

Die Spalte zwischen Plattensegel und Leesegeln wurden mit Tesa-film abgedichtet.

Definition der Klappenwinkel:

= 0° : Leesegel schließt tangential an das Plattensegel an.
Ein positiver Klappenwinkel wird von oben gesehen von der Tangente aus rechtsdrehend definiert (vergl. Fig. 2). Dadurch bewirkt ein negativer vorderer Klappenwinkel bzw. ein positiver hinterer Klappenwinkel eine Vergrößerung der relativen Wölbung des Plattensegels.

Die projizierte Fläche beider Leesegel beträgt $1/3$ der projizierten Gesamtfläche des Plattensegels mit Leesegeln.

Für die Ausgangsklappenstellung der Leesegel $v = n = 0^{\circ}$ ergaben sich folgende Modellabmessungen: (Plattensegel mit Leesegeln)

$$H = 540 \text{ mm}$$

$$l_0 = 273 \text{ mm}$$

$$A_0 = H \cdot l_0 = 0,1474 \text{ m}^2 ,$$

$$\rho_0 = 1.98$$

Die gewölbte Platte mit den Leesegeln wurde durch 2 Distanzstücke von 15 ~~mm~~ Länge mit dem elliptischen Profilmast verbunden.

Bezüglich der Konstruktion des Mastes und der Verbindung des Plattensegels mit dem Mast kann auf Bericht (1), Fig. 2a verwiesen werden.

5. Versuche und Darstellung der Meßwerte

Den vorangegangenen Versuchen mit verschiedenen Plattensegelmodellen, 1, war ein Seitenverhältnis $\lambda = 2,0$ zugrunde gelegt worden. Um Vergleiche mit diesen Versuchsergebnissen zu erleichtern, wurden die Modellabmessungen so gewählt, daß sich für das Plattensegel mit Leesegeln in Nullstellung ein Gesamtseitenverhältnis von etwa $\lambda = 2$ ergab.

Der Vorkammerdruck wurde während der Messung konstant gehalten. Die Ergebnisse sind lediglich für die Kräfte an der Halterung und an der Waage korrigiert worden.

5.1. Rechteckplattensegel $\lambda = 3,0$ Kreiswölbung 0,08, ohne Leesegel, am elliptischen Mast

Die Ergebnisse dieses Versuches (Fig. 3), Tabelle 2) sind gut zum Vergleich mit den in Bericht 1 angegebenen Ergebnissen eines Rechteckplattensegels $\lambda = 2,0$ gleicher Wölbung am elliptischen Mast geeignet.

5.2. Rechteckplattensegel $\lambda = 3,0$, Kreiswölbung 0,08, mit Leesegeln, am elliptischen Mast

Es sollte der Einfluß verschiedener Leesegeleinstellungen auf die Kräfte und Momente am Mast bestimmt werden. Aus diesem Grunde wurden alle Versuchswerte zur Darstellung in dimensionsloser Form auf die Projektionsfläche A_0 und die Sehnenlänge l_0 bei Ausgangsstellung der Leesegel $\gamma = 0^\circ$ bezogen.

Die Variation der Klappenwinkel erfolgte so, daß sowohl symmetrische ($-\bar{v} = \bar{h}$)^{*} als auch asymmetrische v kleiner oder größer als h Leesegelstellungen berücksichtigt wurden.

Nachstehende Tabelle gibt einen Ueberblick über die Versuche. Die Tabelle enthält auch die relative Wölbung und das Seitenverhältnis der Gesamtanordnungen von Plattensegel mit Leesegeln nach Aufmessungen am Modell.

^{*}) vergl. Definition d. Klappenwinkel, S. 4

Tabelle 1

Lfd. Nr.	Klappenstellung		Modellabmessungen			Ergebnisse		
	-	v (°)	h (°)	f (mm)	l (mm)	f/l	Fig.	Tab.
1		0	0	29,9	273	0,1095	1,98	4
2		0	5	32,5	270,3	0,1200	2,00	5
3		0	10	34,5	268,5	0,1285	2,01	6
4		0	20	38	265	0,1433	2,04	7
5		0	30	41	260,8	0,1571	2,07	8
6		5	5	34,3	268,5	0,1274	2,01	9
7		5	10	35,4	267	0,1325	2,02	10
8		5	20	40	262	0,1528	2,06	11
9		10	0	34,5	268,5	0,1285	2,01	12
10		10	10	37,7	265	0,1422	2,04	13
11		10	20	40	260	0,1540	2,08	14
12		20	0	38	265	0,1433	2,04	15
13		20	20	45	257	0,1750	2,10	16
14		20	60	54,7	231	0,237	2,34	17
15		20	70	57	225	0,253	2,40	18
16		30	30	51,5	247,5	0,208	2,18	19

Die folgenden Tabellen und Bilder enthalten die Ergebnisse der Versuche in dimensionsloser Form.

6. Zusammenfassung der Versuchsergebnisse

Um den Einfluß der verschiedenen Leesegelstellungen auf die Kräfte am Mast zu verdeutlichen, wurden die Ergebnisse der einzelnen Versuche in Polarenform in einigen Bildern zusammengefaßt.

Fig. 20 zeigt die Polare des Plattensegels $\lambda = 3,0$ mit $0,08$ Kreiswölbung, ohne Leesegel am Mast gemessen, im Vergleich zu der dem Bericht (1) entnommenen Polare des Plattensegels $\lambda = 2,0$ gleicher relativer Wölbung. Die maximale Querkraft ist für beide Seitenverhältnisse gleich, während $\lambda = 3,0$ - wie erwartet - den geringeren induzierten Widerstand aufweist.

Einfluß der Klappenwinkel der Leesegel auf die Polare bei symmetrischer Einstellung - $v = h^*$) (s. Fig. 21):

Eine Vergrößerung der Klappenwinkel ergab eine Erhöhung der maximalen Querkraft. Gegenüber der Nullstellung betrug diese Erhöhung bei $\approx 20^\circ$ etwa 25 %. Die geringfügige damit verbundene Widerstandserhöhung ist im Bereich der Maxima ohne Bedeutung. Vergrößerte man die Klappenwinkel auf $\approx 30^\circ$, so trat keine weitere Querkraftsteigerung ein, der Widerstand erhöhte sich jedoch bedeutend.

Einfluß der Einstellung des hinteren Leesegels: (Fig. 22 bis 25)

Bei Nullstellung des vorderen Leesegels $v = 0^\circ$ konnte die maximale Querkraft durch Vergrößerung des hinteren Klappenwinkels auf $h = 30^\circ$ um etwa 16% gesteigert werden. Im gesamten Schräganströmbereich trat dabei wiederum eine Widerstandserhöhung ein, (Fig. 22)

Bei Einstellungen des vorderen Leesegels von $v = 5^\circ$ bzw. 10° konnte der gleiche Effekt bei Vergrößerung des hinteren Klappenwinkels h auf 20° erzielt werden, (Steigerung der Querkraft auf Kosten einer Widerstandsvermehrung, Vergl. Fig. 23 und 24).

*) vergl. Klappenwinkeldefinition, S.4

Wie Fig. 25 zeigt, ergab bei einer Einstellung des vorderen Leesegels von $w = 20^\circ$ eine Vergrößerung des hinteren Klappenwinkels h auf 60° und 70° keine Querkrafterhöhung, sondern nur eine beträchtliche Widerstandsvermehrung. Dies zeigt, daß die Querkraft durch Anwendung großer Klappenwinkel nicht beliebig gesteigert werden kann.

Einfluß der Einstellung der vorderen Leesegels: (Fig. 26)

Vergrößerte man bei Nullstellung des hinteren Leesegels $h = 0^\circ$ den vorderen Klappenwinkel, so konnte nur bis zu $-v = 10^\circ$ eine Erhöhung der maximalen Querkraft festgestellt werden.

Man kann die gleiche relative Wölbung durch unterschiedliche Leeseeleinstellungen erreichen, wobei man jedoch von einander abweichende Polardiagramme erhält. Aus Fig. 27 geht beispielsweise hervor, daß es günstiger ist, das vordere Leesegel bei Nullstellung des hinteren auf $-v = 10^\circ$ einzustellen als umgekehrt. Gleich gute Eigenschaften kann man erwarten, wenn man die symmetrische Einstellung $-v = h = 5^\circ$ wählt. Bei größeren Wölbungen ist die symmetrische Einstellung der Leesegel, z.B. $-v = h = 10^\circ$, besser, als wenn man die gleiche Wölbung durch Einstellen eines Leesegels bei Nullstellung des anderen erreichen will (Vergl. Fig. 28).

Aus den Messungen geht hervor, daß Klappenwinkel von mehr als 20° sich ungünstig auf die Mastkräfte auswirken.

Als optimale Polare des Plattensegels mit verschiedenen einstellbaren Leesegeln am elliptischen Mast könnte man die Einhüllende der in Fig. 21 ff. dargestellten Polaren betrachten. In Fig. 29 ist diese Einhüllende dargestellt. Ein Vergleich mit den früher gemessenen starren gewölbten Plattensegeln (vergl. (1)) zeigt, daß sich durch Plattensegel mit beweglichen Klappen oder Leesegeln dieser Art keine Verbesserungen gegenüber günstigen starren Plattensegeln erzielen lassen. Das hängt damit zusammen daß die Anstellung der Klappen zu einer Verminderung der wirksamen Projektionsfläche der Plattensegel führt.

7. Literaturangaben

- [1] B. Wagner 'Windkanalversuche mit gewölbten Plattensegeln
an einem rahgetakelten elliptischen Mast von neuer
freitragender Konstruktion', IfS-Bericht Nr. 122/1964

Tabelle 2 (vgl. Fig. 3)Datum: 7.5.1963Gewölbte Rechteckplatte am elliptischen MastKreiswölbung $f/l = 0,08$; $\Lambda = 3,0$ Plattenabstand zum Mast $d = 15 \text{ mm}$ Tabelle 2A ($R_n = 0,169 \cdot 10^6$)

	c_C	c_D	$-c_M$
-5	-0,115	0,082	0,0548
-2	0,229	0,066	0,0684
0	0,368	0,066	0,0548
2	0,491	0,082	0,0411
5	0,736	0,098	0
7	0,835	0,106	-0,0205
10	0,991	0,139	-0,0684
12	1,089	0,172	-0,0821
14	1,172	0,213	-0,1027
15			
16	1,203	0,270	-0,0958
17	1,162	0,303	-0,0684
18	1,089	0,328	-0,0479
19	1,031	0,344	-0,0342
20	0,991	0,352	-0,0274
22	0,957	0,378	-0,0274
25	0,941	0,426	-0,0274
30	0,916	0,500	-0,0205
40	0,843	0,664	-0,0274
50	0,745	0,826	-0,0274
60	0,598	0,966	-0,0137
70	0,442	1,063	0
80	0,246	1,121	0
90	0	1,139	0,0137

Tabelle 2B ($R_n = 0,245 \cdot 10^6$)

	c_C	c_D	$-c_M$
-5	-0,039	0,074	0,0586
-2	0,292	0,074	0,0749
0	0,429	0,078	0,0651
2	0,573	0,082	0,0423
5	0,729	0,090	0
7	0,834	0,105	-0,0260
10	0,997	0,144	-0,0619
12	1,090	0,179	-0,0847
14	1,180	0,210	-0,1009
15	1,204	0,242	-0,1009
16	1,204	0,265	-0,0814
17	1,144	0,300	-0,0716
18	1,068	0,320	-0,0423
19			
20	0,990	0,343	-0,0195
22	0,951	0,370	-0,0228
25	0,932	0,413	-0,0228
30	0,877	0,491	-0,0293
40	0,818	0,635	-0,0260
50	0,733	0,802	-0,0293
60	0,612	0,947	-0,0163
70	0,440	1,048	-0,0065
80	0,246	1,130	0,0033
90	0	1,145	0,0065

Tabelle 3 (vergl. Fig. 4)

Datum: 21.5.1963

Gewölbte Rechteckplatte mit Klappen, am elliptischen Mast.

$$\psi_p = 1,98 \quad ; \quad f_o/l_o = 0,1095$$

Klappenwinkel $\beta_p = 0^\circ$ $\beta_h = 0^\circ$
 $\gamma = 1,98$ $f/l = 0,195$

(Beizahlen bezogen auf A_o und l_o .)Tabelle 3A ($R_h = 0,262 \cdot 10^6$)

γ	c_C	c_D	$-c_M$	c_C	c_D	$-c_M$
-5	0,097	0,065	0,0832	0,087	0,067	0,0779
-2	0,248	0,059	0,0802	0,244	0,059	0,0779
0	0,362	0,059	0,0788	0,352	0,062	0,0736
2	0,556	0,081	0,0802	0,532	0,080	0,0779
5	0,750	0,119	0,0550	0,735	0,108	0,0524
7	0,848	0,130	0,0267	0,822	0,129	0,0269
10	0,966	0,167	-0,0059	0,954	0,170	-0,0057
12	1,064	0,200	-0,0297	1,062	0,203	-0,0269
14	1,156	0,238	-0,0505	1,152	0,236	-0,0524
16	1,215	0,270	-0,0743	1,218	0,272	-0,0721
18	1,241	0,308	-0,0891	1,242	0,308	-0,0863
19	1,252	0,335	-0,0921	1,257	0,334	-0,0906
20	1,258	0,362	-0,0832	1,242	0,358	-0,0835
21	1,241	0,370	-0,0743			
22	1,215	0,405	-0,0565	1,232	0,414	-0,0637
25	1,026	0,454	-0,0178	1,000	0,435	-0,0170
30	0,929	0,502	-0,0208	0,918	0,504	-0,0184
35	0,885	0,572	-0,0238	0,862	0,565	-0,0226
40	0,848	0,659	-0,0208	0,823	0,645	-0,0226
50	0,735	0,799	-0,0208	0,720	0,785	-0,0226
60	0,578	0,913	-0,0208	0,575	0,895	-0,0170
70	0,415	1,010	-0,0089	0,404	1,000	-0,0142
80	0,222	1,070	+0,0089	0,221	1,047	+0,0028
90	0,011	1,096	+0,0119	0,010	1,075	+0,0142

Tabelle 4 (vergl. Fig. 5)Datum: 21.5.1963.Gewölbte Rechteckplatte mit Klappen, am elliptischen Mast.

($\alpha_0 = 1,98$; $f_0/l_0 = 0,1095$)

$$\begin{array}{ll} \text{Klappenwinkel} & v = 0^\circ \quad ; \quad h = 5^\circ \\ & = 2,0 \quad ; \quad f/l = 0,120 \end{array}$$

Beizahlen bezogen auf A_0 und l_0 .)Tabelle 4A ($R_n = 0,256 \cdot 10^6$)

c	c_C	c_D	$-c_M$
-5	0,0766	0,076	0,0876
-2	0,254	0,070	0,0861
0	0,389	0,076	0,0832
2	0,610	0,103	0,0921
5	0,859	0,146	0,0683
7	0,945	0,162	0,0416
10	1,074	0,200	0,0060
12	1,155	0,232	-0,0178
14	1,215	0,270	-0,0445
16	1,270	0,308	-0,0654
18	1,296	0,340	-0,0772
20	1,296	0,384	-0,0712
21	1,285	0,410	-0,0654
22	1,241	0,443	-0,0475
25	1,052	0,475	-0,0119
30	0,929	0,530	-0,0119
35	0,891	0,605	-0,0178
40	0,865	0,686	-0,0178
50	0,735	0,815	-0,0178
60	0,566	0,923	-0,0149
70	0,394	0,999	-0,0149
80	0,205	1,063	0,0060
90	-0,011	1,086	0,0178

Tabelle 4B ($R_n = 0,370 \cdot 10^6$)

c	c_C	c_D	$-c_M$
	0,		
-5	0,167	0,069	0,0850
-2	0,324	0,069	0,0864
0	0,434	0,080	0,0864
2	0,648	0,105	0,0948
5	0,856	0,139	0,0637
7	0,925	0,159	0,0382
10	1,062	0,201	0,0057
12	1,151	0,239	-0,0184
14	1,242	0,272	-0,0382
16	1,293	0,311	-0,0623
18	1,320	0,352	-0,0793
20	1,293	0,388	-0,0750
21	1,281	0,421	-0,0651
22	1,230	0,445	-0,0524
25	1,038	0,475	-0,0085
30	0,925	0,527	-0,0057
35	0,887	0,591	-0,0142
40	0,835	0,681	-0,0170
50	0,720	0,810	-0,0198
60	0,565	0,905	-0,0113
70	0,391	1,008	-0,0099
80	0,206	1,060	0,0043
90	0,008	1,072	0,0156

Tabelle 5 (vergl. Fig. 6)

Datum: 22.5.1963

Gewölbte Rechteckplatte mit Klappen, am elliptischen Mast.

$$(c_o = 1,98 ; f_o/l_o = 0,1095)$$

<u>Klappenwinkel</u>	$v = 0^\circ$	$\gamma_h = 10^\circ$
	$= 2,01$	$f/l = 0,1285$

(Beizahlen bezogen auf A_o und l_o .)Tabelle 5A ($R_n = 0,254 \cdot 10^6$)

	c_C	c_D	$-c_M$
-5	0,054	0,092	0,0921
-2	0,248	0,081	0,0831
0	0,372	0,092	0,0831
2	0,615	0,113	0,0921
5	0,913	0,167	0,0742
7	0,999	0,134	0,0460
10	1,111	0,227	0,0089
12	1,210	0,257	-0,0134
14	1,270	0,302	-0,0386
16	1,333	0,340	-0,0594
18	1,333	0,373	-0,0712
19	1,322	0,400	-0,0742
20	1,322	0,421	-0,0683
21	1,296	0,443	-0,0535
22	1,260	0,465	-0,0416
25	1,042	0,496	-0,0060
30	0,962	0,540	-0,0060
35	0,891	0,610	-0,0148
40	0,865	0,702	-0,0089
50	0,730	0,832	-0,0148
60	0,567	0,923	-0,0148
70	0,378	1,015	-0,0119
80	0,184	1,058	-0,0089
90	-0,027	1,086	0,0060

Tabelle 5B ($R_n = 0,373$)

	c_C	c_D	$-c_M$
0,154	0,080	0,0877	
0,326	0,080	0,0891	
0,463	0,095	0,0920	
0,700	0,126	0,1005	
0,933	0,164	0,0722	
0,972	0,177	0,0425	
1,112	0,221	0,0085	
1,190	0,260	-0,0127	
1,280	0,298	-0,0354	
1,346	0,337	-0,0538	
1,346	0,378	-0,0765	
1,346	0,398	-0,0750	
1,332	0,416	-0,0708	
1,308	0,450	-0,0580	
1,257	0,468	-0,0396	
1,050	0,499	-0,0071	
0,923	0,545	-0,0099	
0,887	0,611	-0,0113	
0,861	0,702	-0,0142	
0,720	0,825	-0,0198	
0,553	0,925	-0,0085	
0,380	1,028	-0,0043	
0,188	1,050	0	
-0,023	1,071	0,0113	

Tabelle 6 (vergl. Fig. 7)

Datum: 22.5.1963

Gewölbte Rechteckplatte mit Klappen, am elliptischen Mast.

$$(c_o = 1,98 ; f_o/l_o = 0,1095)$$

Klappenwinkel $v = 0,^{\circ}$; $h = ^{\circ}0^{\circ}$
 $= 2,04 ; f/l = 0,1433$

(Beizeichen bezogen auf A_o und L_o .)Tabelle 6A ($R_n = 0,252 \cdot 10^6$)Tabelle 6B ($R_n = 0,366 \cdot 10^6$)

	c_C	c_D	$-c_M$		c_C	c_D	$-c_M$
-5	0,097	0,103	0,0921		0,149	0,072	0,0750
-2	0,281	0,103	0,0861		0,337	0,098	0,0878
0	0,426	0,119	0,0891		0,480	0,123	0,0935
2	0,670	0,146	0,0930		0,717	0,154	0,1020
5	0,956	0,205	0,0772		0,959	0,203	0,0765
7	1,075	0,227	0,0564		1,050	0,229	0,0538
10	1,171	0,270	0,0208		1,164	0,272	0,0198
12	1,263	0,302	-0,0089		1,242	0,303	-0,0057
14	1,345	0,346	-0,0327		1,331	0,344	-0,0297
15	1,378	0,369	-0,0445				
16	1,388	0,384	-0,0535		1,384	0,391	-0,0552
17	1,403	0,405	-0,0595		1,398	0,414	-0,0623
18	1,403	0,437	-0,0654		1,410	0,442	-0,0651
19	1,403	0,460	-0,0654		1,410	0,475	-0,0694
20	1,403	0,481	0,0624		1,372	0,475	-0,0637
22	1,215	0,513	0,0267 ²¹⁾		1,333	0,496	-0,0524
25	1,052	0,540	-0,0060		1,033	0,532	-0,0028
30	0,966	0,589	-0,0089		0,935	0,584	0
35	0,891	0,654	0,0148		0,837	0,660	-0,0071
40	0,875	0,745	-0,0089		0,849	0,745	-0,0099
50	0,724	0,853	-0,0089		0,694	0,843	-0,0099
60	0,540	0,940	0,0119		0,527	0,925	-0,0085
70	0,362	1,031	0,0030		0,355	1,015	-0,0085
80	0,157	1,070	-0,0030		0,157	1,062	0
90	-0,054	1,091	0,0089		-0,051	1,066	-0,0043

Tabelle 7 (vergl. Fig.8)

Datum: 24.5.1963.

Gewölbte Rechteckplatte mit Klappen, am elliptischen Mast.

$$(c_o = 1,98 ; F_o/l_o = 6,1095)$$

<u>Klappenwinkel</u>	$v = 0^\circ$	$h = 30^\circ$
	$= 2,07$	$f/l = 0,1571$

(Beizahlen bezogen auf A_o und l_o .)Tabelle 7A ($R_n = 0,246 \cdot 10^6$)

	c_C	c_D	$-c_M$
-5	0,124	0,119	0,0891
-2	0,297	0,119	0,0831
0	0,465	0,146	0,0861
2	0,745	0,189	0,1040
5	0,988	0,232	0,0742
7	1,118	0,270	0,0565
10	1,237	0,313	0,0208
12	1,318	0,356	-0,0030
14	1,371	0,389	-0,0327
16	1,403	0,421	-0,0505
18	1,431	0,470	-0,0653
20	1,431	0,518	-0,0683
22	1,215	0,561	-0,0238
25	1,026	0,566	-0,0030
30	0,961	0,626	-0,0060
35	0,891	0,685	-0,0089
40	0,864	0,783	-0,0119
50	0,680	0,859	-0,0178
60	0,508	0,901	-0,0178
70	0,330	1,036	-0,0060
80	0,135	1,064	-0,0119
90	-0,076	1,064	0

Tabelle 7B ($R_n = 0,356 \cdot 10^6$)

	c_C	c_D	$-c_M$
	0,147	0,116	0,0878
	0,334	0,118	0,0821
	0,506	0,144	0,0906
	0,738	0,185	0,1020
	0,997	0,236	0,0779
	1,112	0,265	0,0538
	1,241	0,308	0,0198
	1,305	0,347	-0,0043
	1,382	0,383	-0,0283
	1,422	0,425	-0,0538
	1,449	0,473	-0,0694
	1,410	0,511	-0,0665
	1,233	0,558	-0,0269
	1,053	0,553	-0,0057
	0,941	0,615	-0,0057
	0,887	0,686	-0,0099
	0,848	0,771	-0,0127
	0,669	0,838	-0,0156
	0,496	0,944	-0,0184
	0,326	1,012	-0,0127
	0,131	1,041	-0,0085
	-0,080	1,043	0,0028

Tabelle 8 (vergl. Fig. 9)

Datum: 22.5.1963

Gewölbte Rechteckplatte, mit Klappen am elliptischen Mast.

$$(c_o = 1,98; f_o/l_o = 0,1095)$$

Klappenwinkel $v = 5^\circ$; $h = 5^\circ$

$$= 2,01; f/l = 0,1274$$

(Beizahlen bezogen auf A_o und l_o .)

Tabelle 8A ($R_n = 0,254 \cdot 10^6$)

Tabelle 8B ($R_n = 0,368 \cdot 10^6$)

	c_C	c_D	$-c_M$		c_C	c_D	$-c_M$
-5	0,043	0,081	0,0801		0,139	0,070	0,0765
-2	0,194	0,076	0,0787		0,275	0,064	0,0778
0	0,335	0,076	0,0772		0,386	0,080	0,0821
2	0,486	0,092	0,0861		0,526	0,098	0,0850
5	0,800	0,140	0,0831		0,817	0,136	0,0821
7	0,956	0,173	0,0654		0,945	0,167	0,0595
10	1,086	0,200	0,0238		1,074	0,198	0,0212
12	1,156	0,222	0		1,151	0,224	-0,0014
14	1,226	0,260	-0,0208		1,278	0,260	-0,0226
16	1,308	0,297	-0,0475		1,320	0,298	-0,0467
18	1,366	0,340	-0,0713		1,371	0,339	-0,0665
19	1,382	0,357	-0,0802				
20	1,382	0,368	-0,0861		1,398	0,373	-0,0864
21	1,388	0,384	-0,0920				
22	1,393	0,410	-0,0891		1,384	0,416	-0,0935
23	1,350	0,432	-0,0772		1,360	0,447	-0,0793
25	1,133	0,497	-0,0238		1,152	0,468	-0,0212
30	0,983	0,530	-0,0060		0,954	0,532	-0,0113
35	0,907	0,589	-0,0148		0,900	0,586	-0,0113
40	0,875	0,670	-0,0148		0,856	0,666	-0,0113
50	0,756	0,800	-0,0148		0,745	0,800	-0,0127
60	0,589	0,896	-0,0060		0,581	0,900	-0,0113
70	0,410	1,015	0		0,406	1,002	-0,0071
80	0,222	1,070	0,0089		0,221	1,051	0
90	0,005	1,086	0,0119		0,010	1,082	0,0184

Tabelle 9 (vergl. Fig. 10)

Datum: 22.5.1963

Gewölbte Rechteckplatte mit Klappen, am elliptischen Mast.

$$(c_o = 1,98 ; f_o/l_o = 0,1095)$$

Klappenwinkel $\gamma_v = 5^\circ$; $h = 10^\circ$

$$= 2,02 ; f/l = 0,1325$$

(Beizahlen bezogen auf A_o und l_o .)Tabelle 9A ($R_n = 0,252 \cdot 10^6$)

	c_C	c_D	$-c_M$
-5	0,027	0,092	0,0861
-2	0,189	0,087	0,0831
0	0,330	0,087	0,0831
2	0,481	0,103	0,0861
5	0,821	0,157	0,0861
7	0,994	0,194	0,0713
10	1,129	0,222	0,0297
12	1,193	0,248	0,0030
14	1,263	0,286	-0,0178
16	1,360	0,330	-0,0416
18	1,404	0,367	-0,0624
20	1,431	0,400	-0,0802
21	1,431	0,416	-0,0861
22	1,404	0,437	-0,0861
25	1,162	0,502	-0,0089
30	0,989	0,551	-0,0119
35	0,913	0,610	-0,0089
40	0,875	0,691	-0,0089
50	0,735	0,826	-0,0119
60	0,572	0,919	-0,0119
70	0,394	1,010	-0,0089
80	0,205	1,064	0,0060
90	-0,005	1,086	0,0119

Tabelle 9B ($R_n = 0,364 \cdot 10^6$)

	c_C	c_D	$-c_M$
	0,121	0,082	0,0806
	0,275	0,080	0,0806
	0,404	0,090	0,0835
	0,570	0,116	0,0920
	0,895	0,167	0,0935
	1,023	0,190	0,0665
	1,112	0,216	0,0254
	1,190	0,249	0,0043
	1,268	0,285	-0,0198
	1,358	0,324	-0,0410
	1,398	0,368	-0,0651
	1,422	0,406	-0,0850
	1,449	0,426	-0,0906
	1,411	0,442	-0,0878
	1,154	0,506	-0,0170
	0,975	0,545	-0,0043
	0,905	0,604	-0,0071
	0,861	0,684	-0,0127
	0,732	0,806	-0,0113
	0,565	0,905	-0,0113
	0,398	1,007	-0,0043
	0,208	1,051	0
	-0,005	1,071	0,0113

Tabelle 10 (vergl. Fig. 11)

Datum: 22.5.1963

Gewölbte Rechteckplatte mit Klappen, am elliptischen Mast.

$$(c_o = 1,98 ; f_o/l_o = 0,1095)$$

Klappenswinkel $v = 5^\circ$; $h = 20^\circ$

$$= 2,06 ; f/l = 0,1528$$

(Beizahlen bezogen auf A_o und l_o .)Tabelle 10A ($R_n = 0,248 \cdot 10^6$)

	c_C	c_D	$-c_M$
-5	0,049	0,108	0,0831
-2	0,222	0,097	0,0772
0	0,351	0,097	0,0713
2	0,535	0,140	0,0891
5	0,848	0,189	0,0920
7	0,994	0,222	0,0713
10	1,182	0,281	0,0386
12	1,280	0,302	0,0148
14	1,344	0,340	-0,0119
16	1,402	0,384	-0,0356
18	1,470	0,416	-0,0595
19	1,485	0,443	-0,0713
20	1,485	0,448	-0,0772
21	1,485	0,470	-0,0801
22	1,459	0,491	-0,0801
23	1,431	0,518	-0,0653
25	1,133	0,545	-0,0089
30	0,994	0,595	0
35	0,924	0,654	-0,0089
40	0,865	0,724	-0,0089
50	0,724	0,842	-0,0089
60	0,556	0,935	-0,0089
70	0,373	1,026	0
80	0,173	1,064	0
90	-0,038	1,086	0,0119

Tabelle 10B ($R_n = 0,360 \cdot 10^6$)

	c_C	c_D	$-c_M$
0,131	0,105	0,0821	
0,275	0,095	0,0807	
0,404	0,108	0,0821	
0,584	0,144	0,0935	
0,895	0,195	0,0920	
1,061	0,234	0,0736	
1,190	0,275	0,0354	
1,241	0,303	0,0113	
1,330	0,337	-0,0113	
1,410	0,375	-0,0326	
1,461	0,425	-0,0595	
1,488	0,460	-0,0779	
1,488	0,478	-0,0821	
1,461	0,496	-0,0807	
1,140	0,537	0	
0,948	0,589	0	
0,907	0,640	-0,0114	
0,869	0,720	-0,0099	
0,715	0,825	-0,0113	
0,540	0,920	-0,0113	
0,368	1,015	-0,0057	
0,175	1,050	0	
-0,036	1,062	0,0071	

Tabelle 11 (vergl. Fig. 12)

Datum: 24.5.1963

Gewölbte Rechteckplatte mit Klappen, am elliptischen Mast.

$$(\alpha = 1,98 ; f_o/l_o = 0,1095)$$

Klappenwinkel $\gamma_v = 10^\circ$; $\gamma_h = 0^\circ$

$$= 2,01 ; f/l = 0,1285$$

(Beizahlen bezogen auf A_o und l_o .)Tabelle 11A ($R_n = 0,255 \cdot 10^6$)

	c_C	c_D	$-c_M$
-5	0,054	0,081	0,0653
-2	0,173	0,059	0,0624
0	0,259	0,059	0,0624
2	0,378	0,065	0,0653
5	0,626	0,097	0,0653
7	0,778	0,124	0,0565
10	0,961	0,162	0,0267
12	1,075	0,194	0,0030
14	1,140	0,216	-0,0208
16	1,215	0,254	-0,0416
18	1,297	0,292	-0,0624
20	1,350	0,330	-0,0831
22	1,377	0,356	-0,1010
24	1,377	0,400	-0,1070
26	1,323	0,475	-0,0772
30	1,000	0,497	-0,0110
35	0,935	0,561	-0,0178
40	0,880	0,626	-0,0208
50	0,783	0,730	-0,0148
60	0,610	0,886	-0,0119
70	0,443	0,994	-0,0060
80	0,259	1,059	-0,0050
90	0,049	1,101	-0,0148

Tabelle 11B ($R_n = 0,370 \cdot 10^6$)

	c_C	c_D	$-c_M$
0,031	0,080	0,0595	
0,152	0,064	0,0609	
0,244	0,062	0,0595	
0,357	0,072	0,0623	
0,611	0,095	0,0680	
0,754	0,126	0,0566	
0,920	0,167	0,0241	
1,062	0,193	0,0014	
1,152	0,221	-0,0184	
1,218	0,254	-0,0425	
1,308	0,290	-0,0623	
1,360	0,332	-0,0864	
1,398	0,363	-0,1005	
1,398	0,406	-0,1090	
1,333	0,470	-0,0736	
1,000	0,491	-0,0142	
0,900	0,553	-0,0156	
0,862	0,615	-0,0170	
0,771	0,771	-0,0170	
0,604	0,869	-0,0113	
0,435	0,987	-0,0071	
0,257	1,047	+0,0057	
0,046	1,078	+0,0156	

Tabelle 12 (vergl. Fig. 13)

Datum: 22.5.1963

Gewölbte Rechteckplatte mit Klappen, am elliptischen Mast.

$$(c_o = 1,98 ; f_o/l_o = 0,1095)$$

$$\text{Klappenwinkel} \quad v = 10^\circ ; \quad h = 10^\circ$$

$$= 2,04 ; \quad f/l = 0,1422$$

(Beizahlen bezogen auf A_o und l_o .)Tabelle 12A ($R_n = 0,243 \cdot 10^6$)

	c_C	c_D	$-c_M$
-5	0,061	0,086	0,0772
-2	0,227	0,076	0,0727
0	0,330	0,076	0,0713
2	0,470	0,103	0,0801
5	0,772	0,146	0,0861
7	0,940	0,178	0,0772
10	1,130	0,227	0,0445
12	1,200	0,254	0,0178
14	1,263	0,276	-0,0060
16	1,323	0,313	-0,0267
18	1,415	0,351	-0,0475
20	1,459	0,389	-0,0683
22	1,475	0,421	-0,0831
24	1,459	0,460	-0,0980
26	1,350	0,551	-0,0535
30	1,005	0,551	-0,0060
35	0,940	0,610	-0,0030
40	0,875	0,680	-0,0030
50	0,751	0,816	-0,0060
60	0,578	0,913	-0,0030
70	0,410	0,988	0,0030
80	0,222	1,064	0,0060
90	0,095	1,086	0,0178

Tabelle 12B ($R_n = 0,361 \cdot 10^6$)

	c_C	c_D	$-c_M$
0	0,141	0,082	0,0694
2	0,213	0,072	0,0680
5	0,324	0,077	0,0708
7	0,460	0,103	0,0793
10	0,754	0,139	0,0835
12	0,895	0,175	0,0722
14	1,087	0,221	0,0396
16	1,190	0,249	0,0156
18	1,254	0,278	-0,0043
20	1,233	0,311	-0,0255
22	1,410	0,355	-0,0495
24	1,461	0,401	-0,0736
26	1,488	0,432	-0,0906
28	1,461	0,470	-0,0991
30	1,360	0,540	-0,0495
35	1,000	0,537	-0,0028
40	0,925	0,596	-0,0057
50	0,862	0,674	-0,0043
60	0,751	0,807	-0,0057
70	0,579	0,900	-0,0085
80	0,411	1,010	-0,0057
90	0,221	1,063	0,0071
95	0,008	1,074	0,0142

Tabelle 13 (vergl. Fig. 14)

Datum: 22.5.1963

Gewölbte Rechteckplatte mit Klappen, am elliptischen Mast.

$$(c_o = 1,98 ; f_o/l_o = 0,1095)$$

$$\underline{\text{Klappenwinkel}} \quad v = 10^\circ ; \quad h = 20^\circ$$

$$= 2,08 ; \quad f/l = 0,154$$

(Beizahlen bezogen auf A_o und L_o .)

Tabelle 13A ($R_n = 0,244 \cdot 10^6$) Tabelle 13B ($R_n = 0,360 \cdot 10^6$)

	c_C	c_D	$-c_M$		c_C	c_D	$-c_M$
-5	0,070	0,103	0,0801		0,088	0,098	0,0722
-2	0,227	0,092	0,0742		0,221	0,088	0,0708
0	0,346	0,097	0,0713		0,332	0,095	0,0694
2	0,486	0,130	0,0831		0,475	0,126	0,0807
5	0,821	0,178	0,0920		0,766	0,175	0,0892
7	1,000	0,222	0,0801		0,941	0,208	0,0793
10	1,172	0,270	0,0505		1,165	0,272	0,0495
12	1,263	0,308	0,0297		1,241	0,301	0,0269
14	1,334	0,335	0,0030		1,331	0,334	0,0043
16	1,420	0,367	-0,0148		1,398	0,370	-0,0184
18	1,470	0,410	-0,0386		1,475	0,416	-0,0439
20	1,540	0,454	-0,0624		1,514	0,450	-0,0665
21	1,511	0,465	-0,0713				
22	1,511	0,480	-0,0861		1,526	0,478	-0,0821
24	1,511	0,513	-0,0920		1,514	0,511	-0,0906
26	1,242	0,567	-0,0445		1,308	0,591	-0,0354
30	1,026	0,578	0,0030		0,987	0,574	-0,0028
35	0,935	0,643	-0,0030		0,913	0,633	-0,0028
40	0,886	0,713	-0,0089		0,866	0,710	-0,0099
50	0,740	0,826	-0,0119		0,720	0,820	-0,0099
60	0,573	0,924	-0,0030		0,553	0,908	-0,0071
70	0,384	1,021	-0,0030		0,386	1,005	-0,0085
80	-0,194	1,064	0,0060		0,190	1,050	0
90	-0,016	1,080	0,0089		-0,018	1,063	0,0057

Tabelle 14 (vergl. Fig. 15)

Datum: 24.5.1963

Gewölbte Rechteckplatte mit Klappen, am elliptischen Mast.

$$(c_o = 1,98 ; f_o/l_o = 0,1095)$$

Klappenwinkel $v = 20^\circ$; $h = 0^\circ$

$$= 2,04 ; f/l = 0,1433$$

(Beizahlen bezogen auf A_o und l_o .)Tabelle 14A ($R_n = 0,251 \cdot 10^6$)Tabelle 14B ($R_n = 0,364 \cdot 10^6$)

	c_C	c_D	$-c_M$		c_C	c_D	$-c_M$
-5	0,027	0,087	0,0475		0,008	0,082	0,0410
-2	0,113	0,070	0,0445		0,111	0,072	0,0453
0	0,178	0,065	0,0475		0,165	0,070	0,0439
2	0,254	0,065	0,0475		0,244	0,067	0,0453
5	0,427	0,087	0,0535		0,419	0,085	0,0538
7	0,562	0,113	0,0565		0,560	0,116	0,0566
10	0,849	0,151	0,0445		0,851	0,152	0,0467
12	0,961	0,184	0,0267		0,959	0,185	0,0283
14	1,075	0,222	0,0060		1,088	0,213	0,0057
16	1,189	0,254	-0,0178		1,192	0,249	-0,0170
18	1,264	0,276	-0,0386		1,270	0,278	-0,0382
20	1,308	0,314	-0,0565		1,308		-0,0566
21	1,324	0,324	-0,0654			0,340	
22	1,350	0,335	-0,0712		1,360	0,340	-0,0765
24	1,378	0,368	-0,0891		1,385	0,373	-0,0935
26	1,378	0,400	-0,0950		1,398	0,404	-0,1020
28	1,350	0,426	-0,0980		1,348	0,430	-0,0991
30	1,297	0,502	-0,0624		1,360	0,517	-0,0736
35	0,978	0,556	-0,0148		0,964	0,543	-0,0099
40	0,891	0,610	-0,0060		0,887	0,604	-0,0113
50	0,795	0,761	-0,0060		0,797	0,756	-0,0057
60	0,621	0,860	-0,0030		0,622	0,848	-0,0057
70	0,454	0,956	+0,0030		0,463	0,970	-0,0028
80	0,276	1,037	+0,0089		0,283	1,026	+0,0057
90	0,070	1,064	+0,0178		0,036	1,063	+0,0170

Tabelle 15 (vgl. Fig. 16)

Datum: 24.5.1963

Gewölbte Rechteckplatte mit Klappen, am elliptischen Mast.

$$(c_o = 1,98 ; f_c/l_o = 0,1095)$$

Klappenwinkel $v = 20^\circ$; $h = 20^\circ$

$$= 2,10 ; f/l = 0,175$$

(Beizahlen bezogen auf A_o und l_o .)Tabelle 15A ($R_n = 0,242 \cdot 10^6$)

	c_C	c_D	$-c_M$
-5	0,022	0,097	0,0535
-2	0,135	0,092	0,0565
0	0,216	0,092	0,0565
2	0,330	0,092	0,0565
5	0,567	0,151	0,0712
7	0,713	0,189	0,0742
10	1,021	0,243	0,0653
12	1,145	0,286	0,0475
14	1,281	0,324	0,0267
16	1,404	0,373	0,0060
18	1,459	0,411	-0,0148
20	1,511	0,443	-0,0327
22	1,540	0,470	-0,0505
24	1,556	0,497	-0,0712
26	1,511	0,514	-0,0861
28	1,432	0,540	-0,0831
30	1,405	0,626	-0,0475
35	0,972	0,637	0
40	0,896	0,697	0
50	0,756	0,810	0,0030
60	0,584	0,896	0
70	0,410	0,984	0,0060
80	0,211	1,049	0,0030
90	0,011	1,049	0,0089

Tabelle 15B ($R_n = 0,352 \cdot 10^6$)

	c_C	c_D	$-c_M$
0	0,108	0,108	0,0524
5	0,123	0,093	0,0538
10	0,206	0,095	0,0552
15	0,327	0,100	0,0552
20	0,560	0,147	0,0708
25	0,715	0,188	0,0736
30	1,037	0,244	0,0665
35	1,152	0,288	0,0481
40	1,292	0,324	0,0269
45	1,398	0,362	0,0057
50	1,475	0,401	-0,0156
55	1,540	0,447	-0,0396
60	1,565	0,475	-0,0609
65	1,578	0,501	-0,0765
70	1,526	0,506	-0,0878
75	1,462	0,532	-0,0878
80	1,437	0,622	-0,0467
85	0,951	0,622	0
90	0,890	0,691	-0,0028
95	0,745	0,802	-0,0028
100	0,579	0,880	-0,0028
105	0,411	0,990	-0,0057
110	0,213	1,026	0,0057
115	0,010	1,050	0,0085

Tabelle 16 (vergl. Fig. 17)

Datum : 21.6.1963

Gewölbte Rechteckplatte mit Klappen, am elliptischen Mast.

$$(c_o = 1,98 ; f_o/l_o = 0,1095)$$

Klappenwinkel	$\gamma_v = 20^\circ$	$h = 60^\circ$
	$= 2,34$	$f/l = 0,237$

(Beizahlen bezogen auf A_o und l_o .)Tabelle 16A ($R_n = 0,219 \cdot 10^6$)

	c_C	c_D	$-c_M$
-5	0,076	0,135	0,0624
-2	0,195	0,143	0,0579
0	0,286	0,155	0,0490
2	0,384	0,167	0,0445
5	0,632	0,251	0,0520
7	0,821	0,303	0,0535
10	1,075	0,373	0,0416
12	1,210	0,424	0,0252
14	1,302	0,465	-0,0030
15			
16	1,382	0,500	-0,0193
17			
18	1,448	0,532	-0,0401
20	1,522	0,567	-0,0594
22	1,566	0,600	-0,0801
24	1,582	0,605	-0,1010
26	1,459	0,595	-0,1129
28	1,404	0,637	-0,1070
30	1,108	0,659	-0,0416
35	0,897	0,691	-0,0238
40	0,815	0,730	-0,0238
50	0,637	0,805	-0,0297
60	0,475	0,865	-0,0297
70	0,308	0,935	-0,0267
80	0,124	0,978	-0,0356
90	-0,070	0,966	-0,0297

Tabelle 16B ($R_n = 0,317 \cdot 10^6$)

	c_C	c_D	$-c_M$
0,057	0,144	0,0609	
0,154	0,144	0,0566	
0,283	0,149	0,0481	
0,360	0,167	0,0439	
0,620	0,239	0,0481	
0,786	0,296	0,0510	
1,088	0,370	0,0396	
1,216	0,409	0,0212	
1,343	0,475	-0,0113	
1,423	0,515	-0,0354	
1,513	0,565	-0,0651	
1,565	0,599	-0,0864	
1,550	0,594	-0,1075	
1,488	0,601	-0,1146	
1,461	0,658	-0,1146	
1,076	0,676	-0,0453	
0,874	0,674	-0,0254	
0,797	0,720	-0,0298	
0,622	0,793	-0,0298	
0,458	0,861	-0,0326	
0,304	0,928	-0,0312	
0,123	0,261	-0,0326	
-0,069	0,966	-0,0312	

Tabelle 17 (vergl. Fig. 18)

Datum: 21.6.1963

Gewölbte Rechtecklatte mit Klappen, am elliptischen Mast.

$$(c_o = 1,98 ; f_o/l_o = 0,1095)$$

<u>Klappenwinkel</u>	$\beta_v = 20^\circ$	$\beta_h = 70^\circ$
	$= 2,40$	$f/l = 0,253$

(Beizahlen bezogen auf A_o und L_o .)Tabelle 17A ($R_n = 0,212 \cdot 10^6$)

	c_C	c_D	$-c_M$
-5	0,076	0,140	0,0653
-2	0,211	0,151	0,0594
0	0,286	0,157	0,0505
2	0,400	0,184	0,0416
5	0,626	0,254	0,0445
7	0,837	0,308	0,0416
10	1,091	0,394	0,0297
12	1,205	0,432	0,0089
15	1,322	0,497	-0,0208
17	1,400	0,524	-0,0416
20	1,501	0,573	-0,0683
22	1,566	0,594	-0,0950
24	1,522	0,605	-0,1070
26	1,414	0,595	-0,1189
28	1,361	0,643	-0,1159
30	1,101	0,659	-0,0535
35	0,848	0,691	-0,0297
40	0,783	0,724	-0,0327
50	0,610	0,800	-0,0386
60	0,449	0,865	-0,0416
70	0,286	0,929	-0,0356
80	0,108	0,956	-0,0416
90	-0,076	0,061	-0,0386

Tabelle 17B ($R_n = 0,307 \cdot 10^6$)

	c_C	c_D	$-c_M$
	0,064	0,149	0,0609
	0,175	0,154	0,0566
	0,288	0,159	0,0481
	0,373	0,182	0,0382
	0,625	0,252	0,0410
	0,817	0,316	0,0453
	1,074	0,387	0,0305
	1,202	0,432	0,0085
	1,344	0,486	-0,0226
	1,398	0,520	-0,0439
	1,500	0,570	-0,0736
	1,550	0,596	-0,0963
	1,513	0,599	-0,1160
	1,450	0,601	-0,1231
	1,450	0,661	-0,1245
	1,050	0,671	-0,0481
	0,854	0,679	-0,0340
	0,784	0,728	-0,0340
	0,606	0,805	-0,0382
	0,445	0,864	-0,0425
	0,283	0,913	-0,0340
	0,108	0,938	-0,0396
	-0,082	0,946	-0,0368

Tabelle 18 (vergl. Fig. 19)

Datum: 24.5.1963

Gewölbte Rechteckplatte mit Klappen, am elliptischen Mast.

$$(c_o = 1,98 ; f_o/l_o = 0,1095)$$

Klappenwinkel $v = 30^\circ$; $h = 30^\circ$
 $= 2,18$ " $f/l = 0,208$

(Beizahlen bezogen auf A_o und l_o .)Tabelle 18A ($R_n = 0,234 \cdot 10^6$)

ξ	c_C	c_D	$-c_M$
-5	-0,005	0,119	0,0416
-2	0,103	0,103	0,0396
0	0,173	0,103	0,0445
2	0,260	0,113	0,0445
5	0,410	0,141	0,0475
7	0,584	0,184	0,0594
10	0,826	0,248	0,0683
12	1,010	0,303	0,0683
14	1,172	0,346	0,0564
16	1,291	0,384	0,0356
18	1,393	0,432	0,0148
20	1,486	0,481	-0,0060
22	1,556	0,503	-0,0208
24	1,566	0,530	-0,0356
26	0,019	0,513	0,0386
30	0,989	0,551	0,0178
35	1,133	0,626	-0,0237
40	0,935	0,691	0,0089
50	0,756	0,795	0,0060
60	0,573	0,886	0,0060
70	0,405	0,950	0,0119
80	0,216	0,989	0,0178
90	0,016	1,026	0,0148

Tabelle 18B ($R_n = 0,339 \cdot 10^6$)

ξ	c_C	c_D	$-c_M$
-5	-0,010	0,121	0,0396
-2	0,098	0,108	0,0396
0	0,159	0,111	0,0410
2	0,244	0,118	0,0425
5	0,394	0,136	0,0453
7	0,560	0,180	0,0580
10	0,805	0,244	0,0637
12	0,997	0,293	0,0623
14	1,177	0,332	0,0510
16	1,294	0,383	0,0340
18	1,385	0,425	0,0142
20	1,488	0,470	-0,0127
22	1,551	0,504	-0,0283
24	1,540	0,525	-0,0439
26	1,449	0,516	+0,0425
30	1,012	0,560	+0,0184
35	1,182	0,630	-0,0212
40	0,913	0,690	+0,0071
50	0,745	0,795	+0,0043
60	0,565	0,859	0
70	0,401	0,931	0,0043
80	0,213	1,008	0,0043
90	0,015	1,016	0,0099

Fig. 1 Definitionsskizze

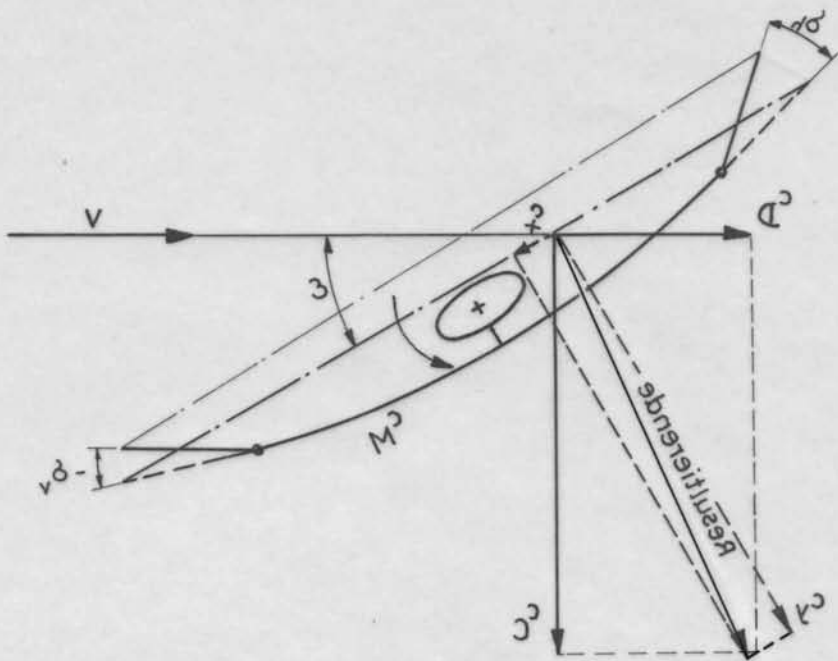


Fig. 1a Kräfte - und Momentenbeziehungen

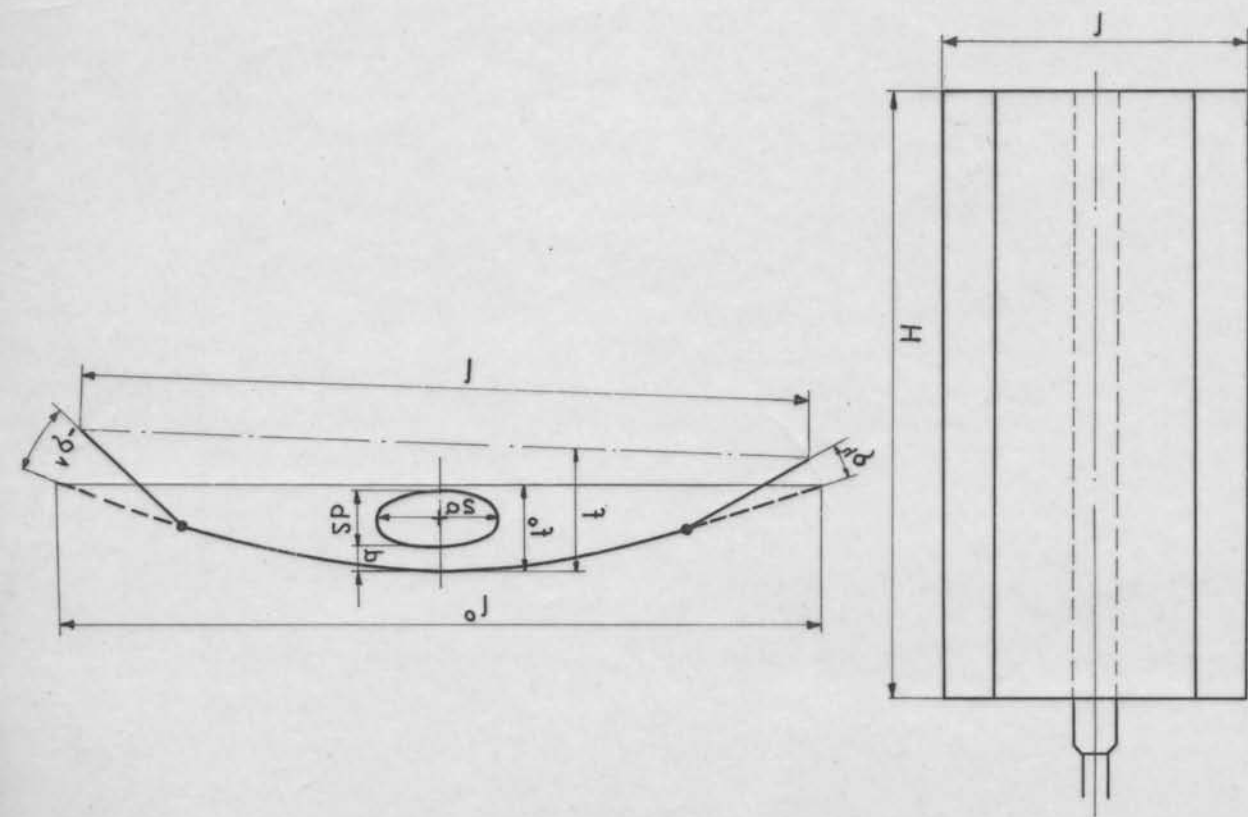


Fig. 1b Modellabmessungen

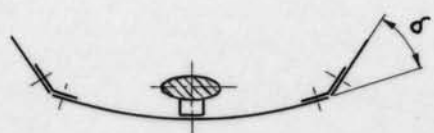
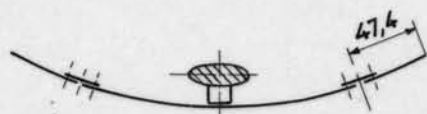
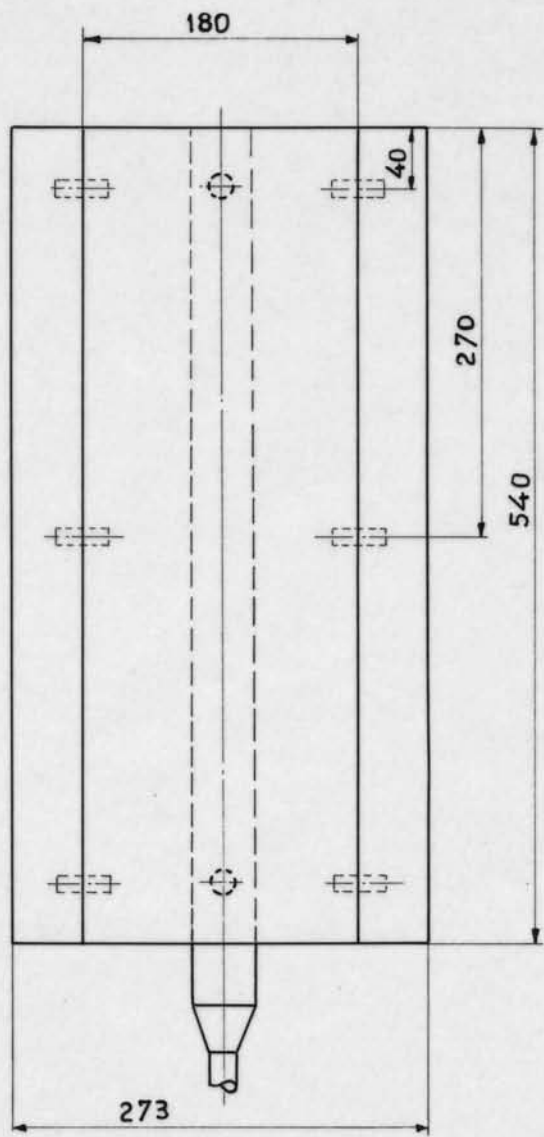


Fig. 2 Modellaufbau
(Plattensegel mit „Leesegeln“)

Fig. 3A (vgl. Tabelle 2)

Gewölbte Rechteck-
platte am elliptischen
Mast

Kreiswölbung $f/l = 0,08$
 $\Lambda = 3,0$
Plattenabstand
zum Mast $d = 15 \text{ mm}$

Datum: 7.5.1963

$R_n = 0,169 \cdot 10^6$

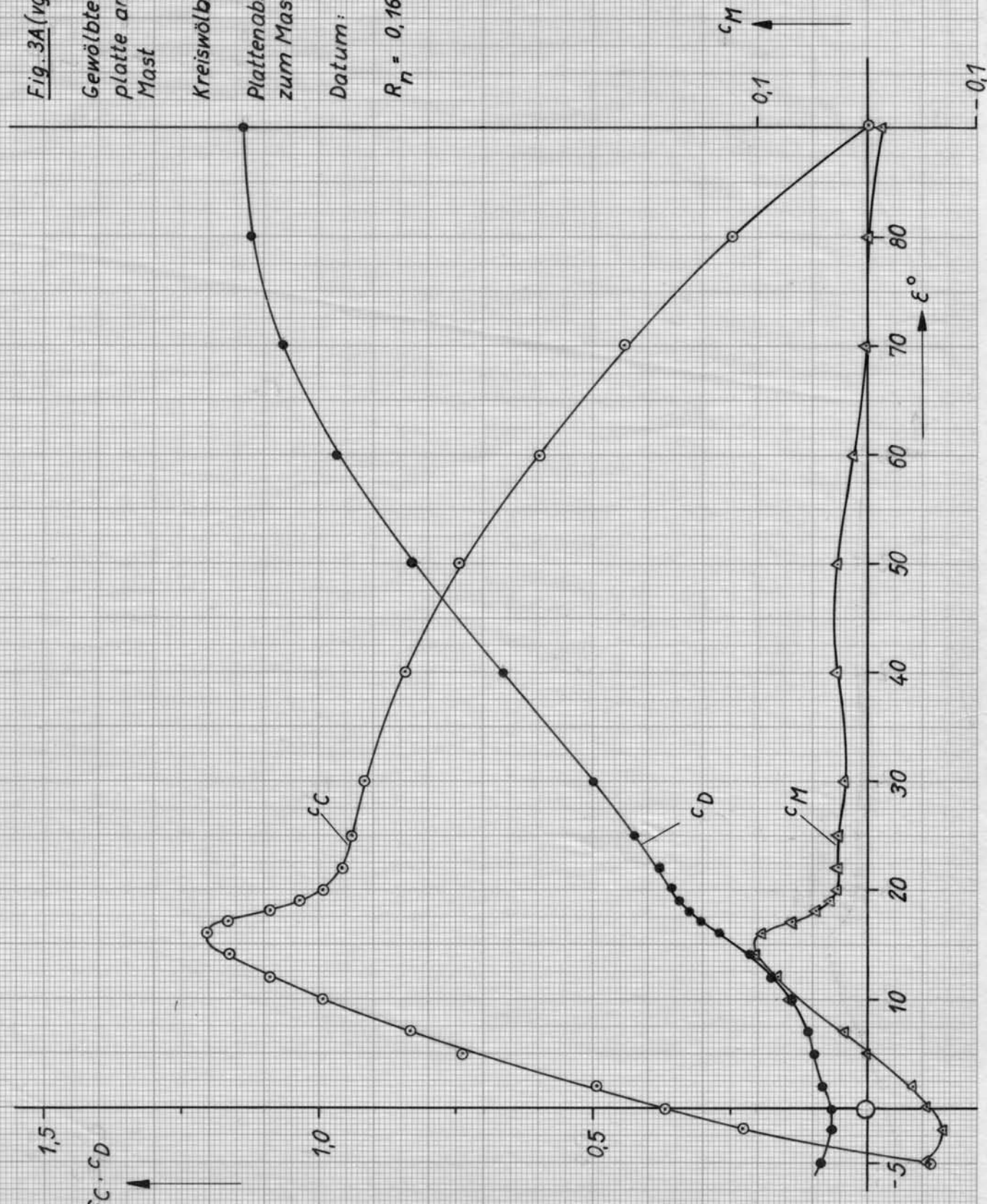


Fig. 4B (vgl. Tabelle 3)

Gewölbte Rechteckplatte
mit Klappen, am
elliptischen Mast

$$(\lambda_0 = 1.98; f_0 / l_0 = 0.1095)$$

$$\text{Klappenwinkel } \delta_V = 0^\circ$$

$$\delta_H = 0^\circ$$

$$\text{Wölbung } f/l = 0.1095$$

$$\lambda = 1.98$$

$$R_n = 0.377 \cdot 10^6$$

Datum : 21.5.1963

(Bezahlen bezogen auf A_0).

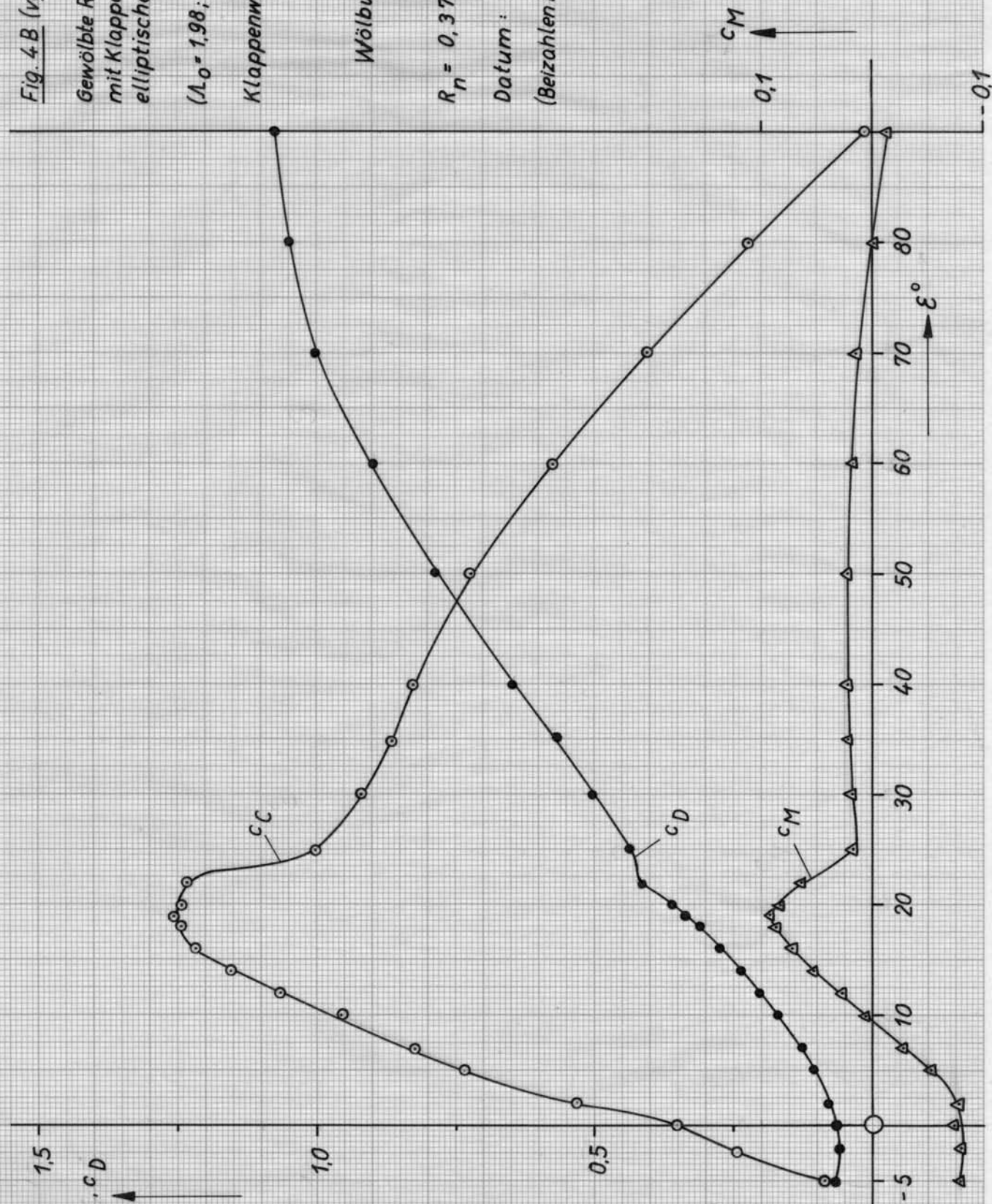


Fig. 3B (vgl. Tabelle 2)

Gewölbe Rechteckplatte
am elliptischen Mast

Kreiswölbung $f/l = 0.08$
 $\Lambda = 3,0$

Plattenabstand
zum Mast $d = 15 \text{ mm}$

Datum: 7.5.1963

$R_n = 0.245 \cdot 10^6$

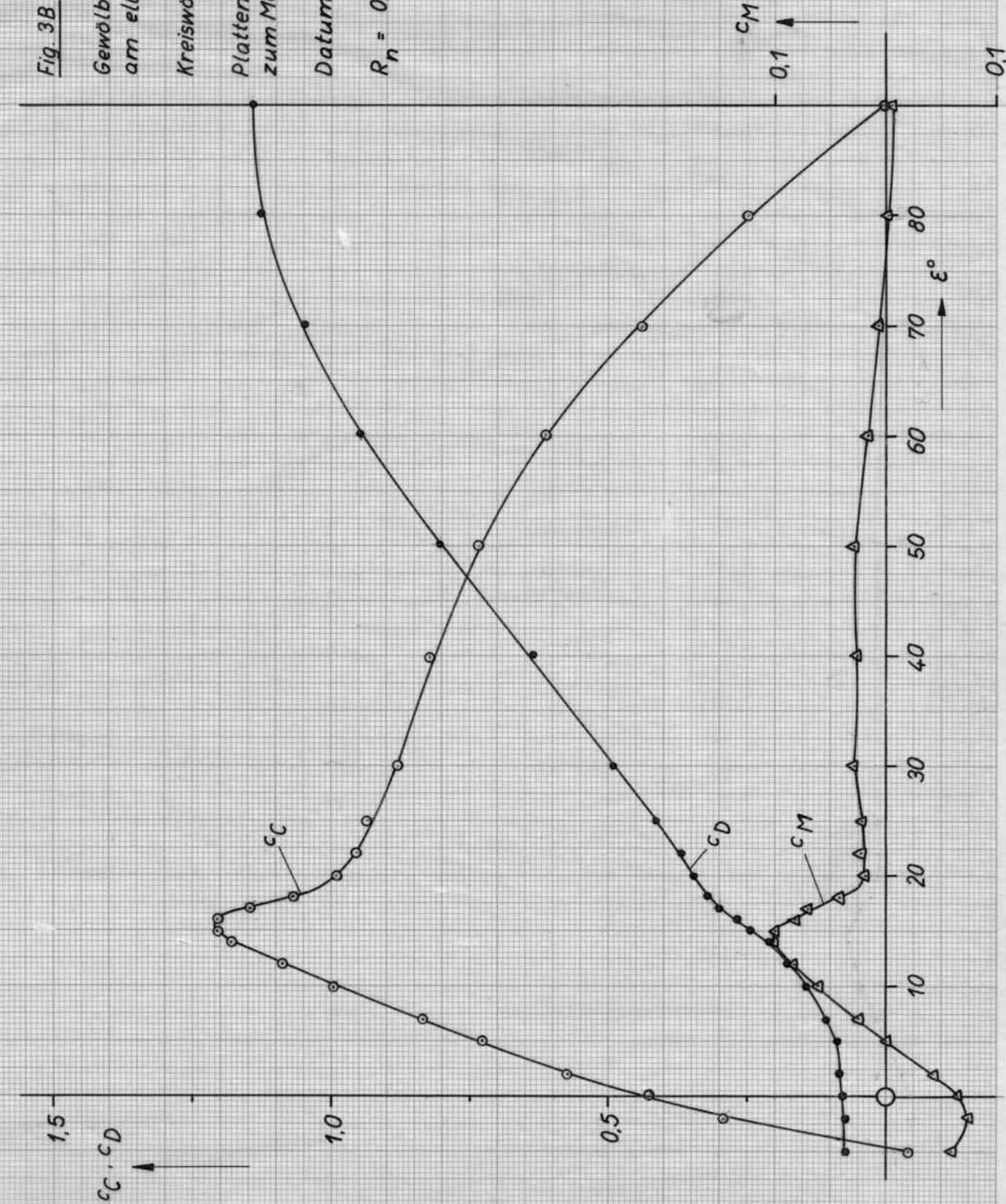


Fig. 4A

(vgl. Tabelle 3)

Gewölbte Rechteckplatte
mit Klappen am elliptischen Mast

$$(\lambda_0 = 1.98; f_0/l_0 = 0.1095)$$

Klappenwinkel $\delta_V = 0^\circ$

$$\delta_h = 0^\circ$$

$$\text{Wölbung } f/l = 0.1095$$

$$\lambda = 1.98$$

$$R_n = 0.262 \cdot 10^6$$

Datum : 21. 5. 1963

(Beizahlen bezogen auf A_0).

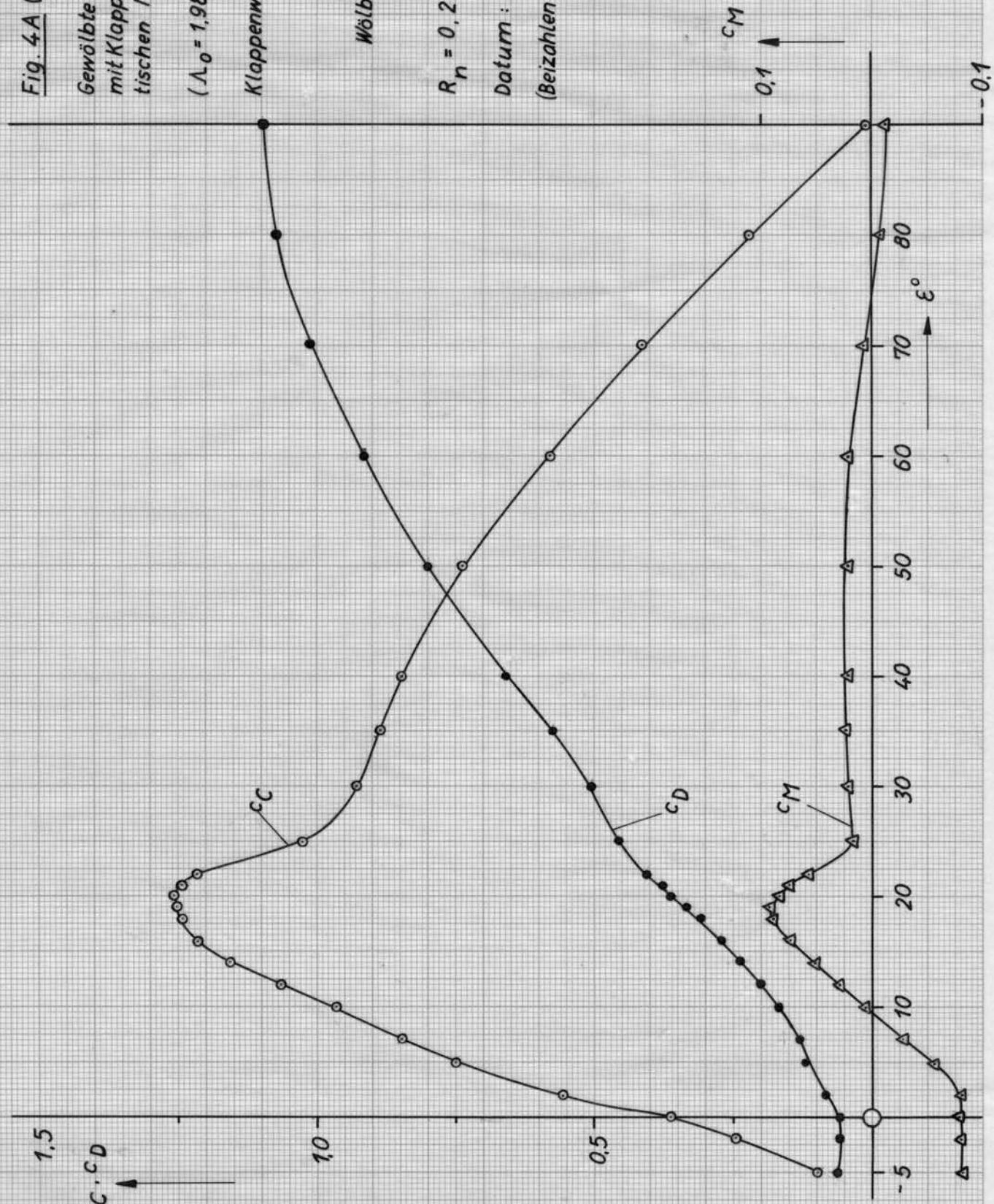


Fig. 5A (vgl. Tabelle 4)

Gewölzte Rechteckplatte
mit Klappen, am
elliptischen Mast

$$(\lambda_0 = 1.98; f_0 / l_0 = 0.1095)$$

Klappenwinkel $\delta_v = 0^\circ$

$$\delta_h = 5^\circ$$

$$\text{Wölbung } f/l = 0.1200$$

$$R_n = 0.256 \cdot 10^6$$

Datum: 21. 5. 1963
(Bezahlen bezogen auf A_0).

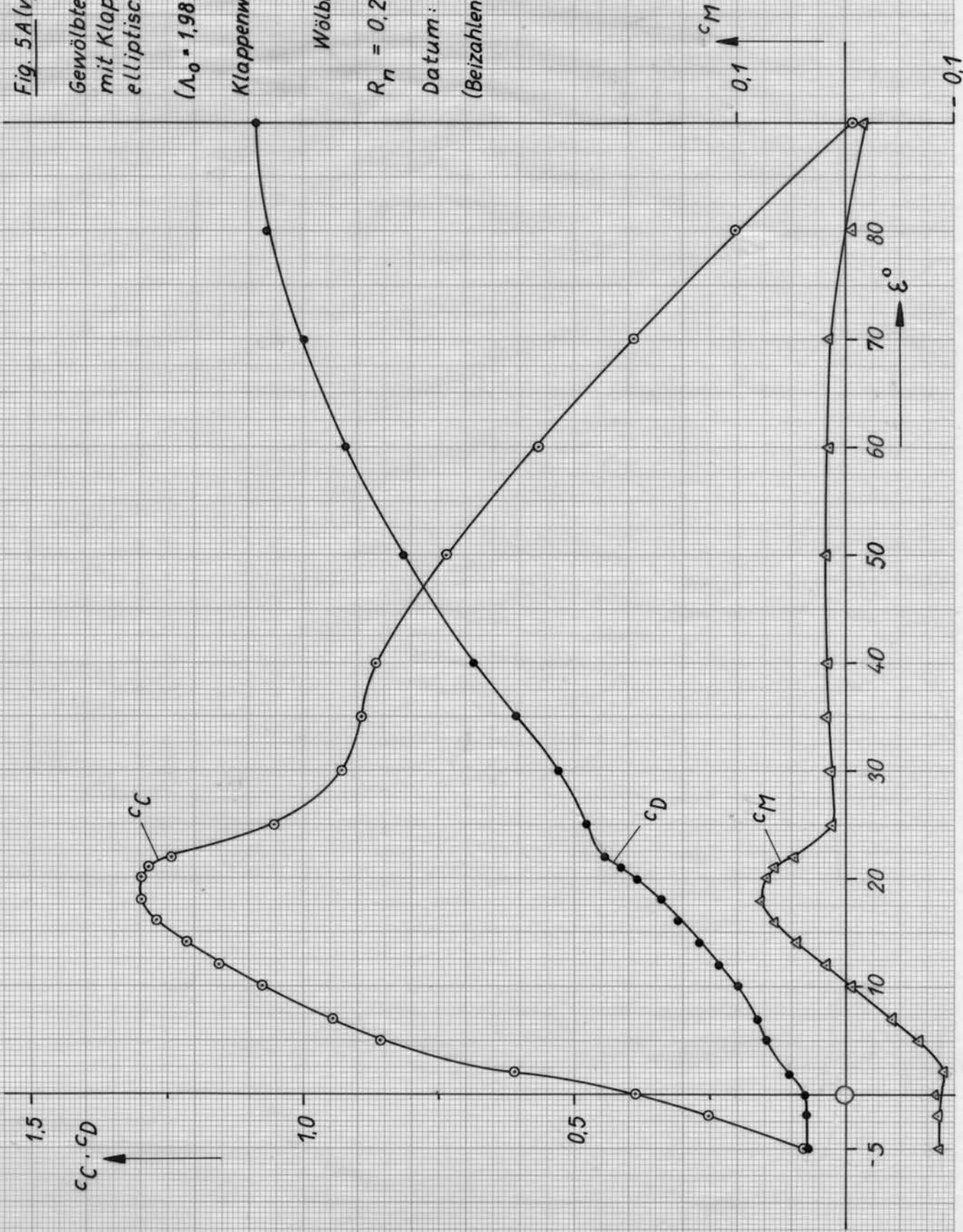


Fig. 5B (vgl. Tabelle 4)

Gewölbte Rechteckplatte
mit Klappen, am
elliptischen Mast

$$(\Lambda_0 = 1,98; f_0 / l_0 = 0,1095)$$

Klappenwinkel $\delta_V = 0^\circ$

$$\delta_h = 5^\circ$$

Wölbung $f/l = 0,1200$

$$\Lambda_e = 2,0$$

 $R_n = 0,370 \cdot 10^6$

Datum : 21.5.1963

(Beizahlen bezogen auf A_0).

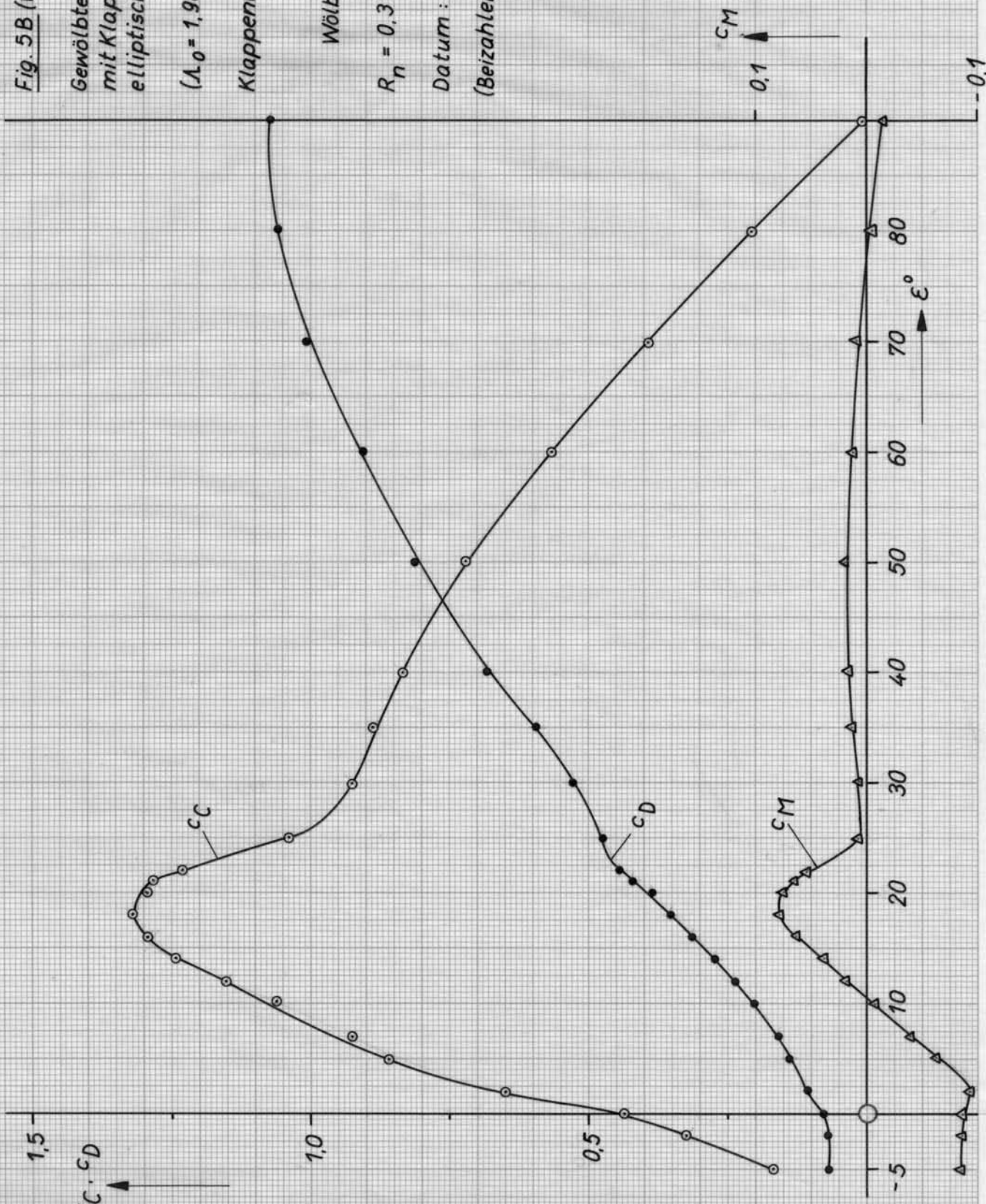


Fig. 6A (vgl. Tabelle 5)

Gewölbte Rechteckplatte
mit Klappen, am
elliptischen Mast

$$(\Lambda_0 = 1.98; f_0/l_0 = 0.1095)$$

Klappenwinkel $\delta_V = 0^\circ$

$$\delta_h = 10^\circ$$

$$Wölbung f/l = 0.1285$$

$$\begin{aligned} \Lambda &= 2.01 \\ R_n &= 0.254 \cdot 10^6 \end{aligned}$$

Datum: 22.5.1963

(Beizahlen bezogen auf A_0).

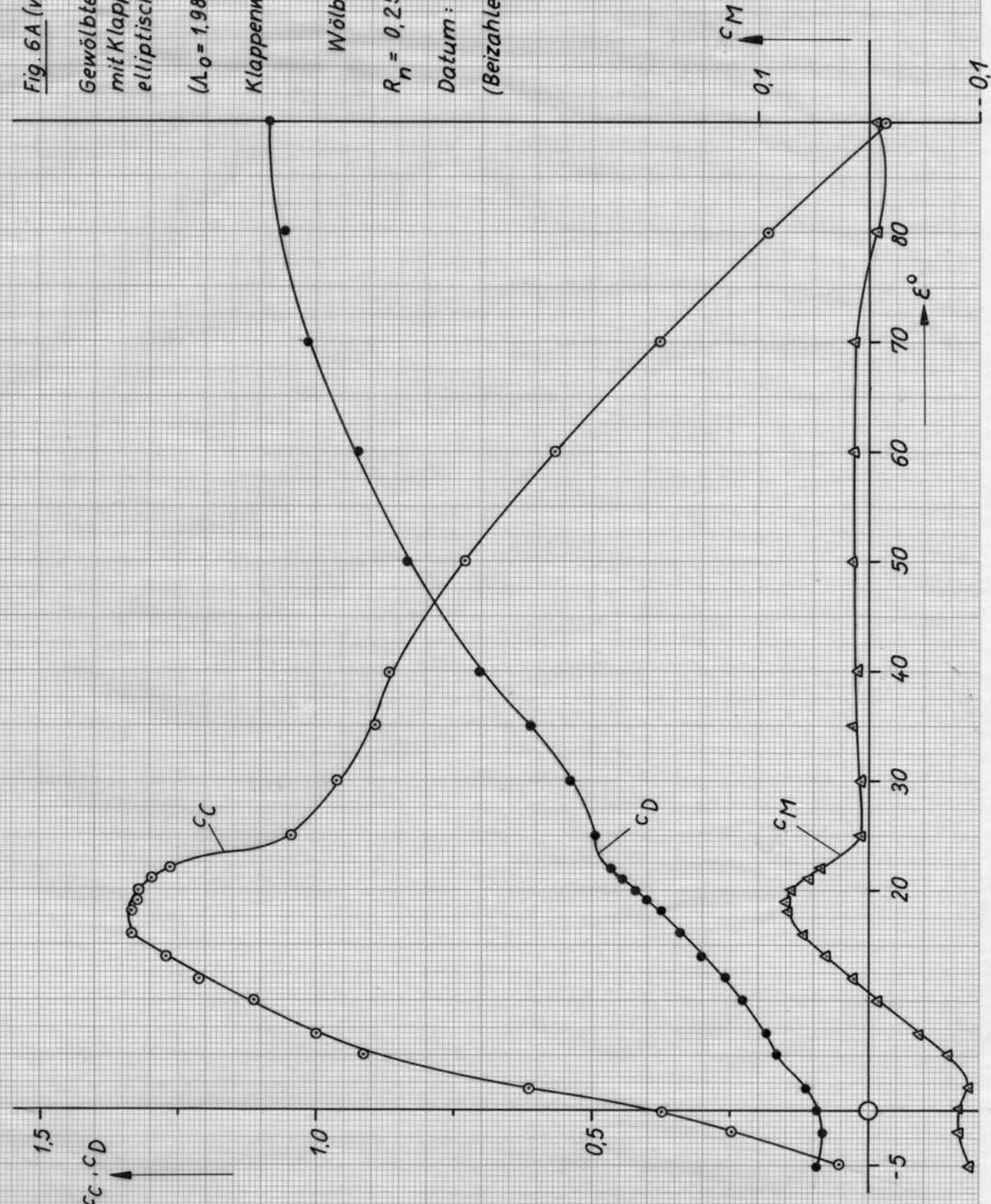


Fig. 7 A (vgl. Tabelle 6)

Gewölbte Rechteckplatte
mit Klappen. am
elliptischen Mast

$$(\Lambda_0 = 1.98; f_0/l_0 = 0.1095)$$

Klappenwinkel $\delta_v = 0^\circ$

$$\delta_h = 20^\circ$$

$$Wölbung f/l = 0.1433$$

$$\Lambda = 2.04$$

$$R_n = 0.252 \cdot 10^6$$

(Beizahlen bezogen auf Λ_0).

Datum: 22. 5. 1963

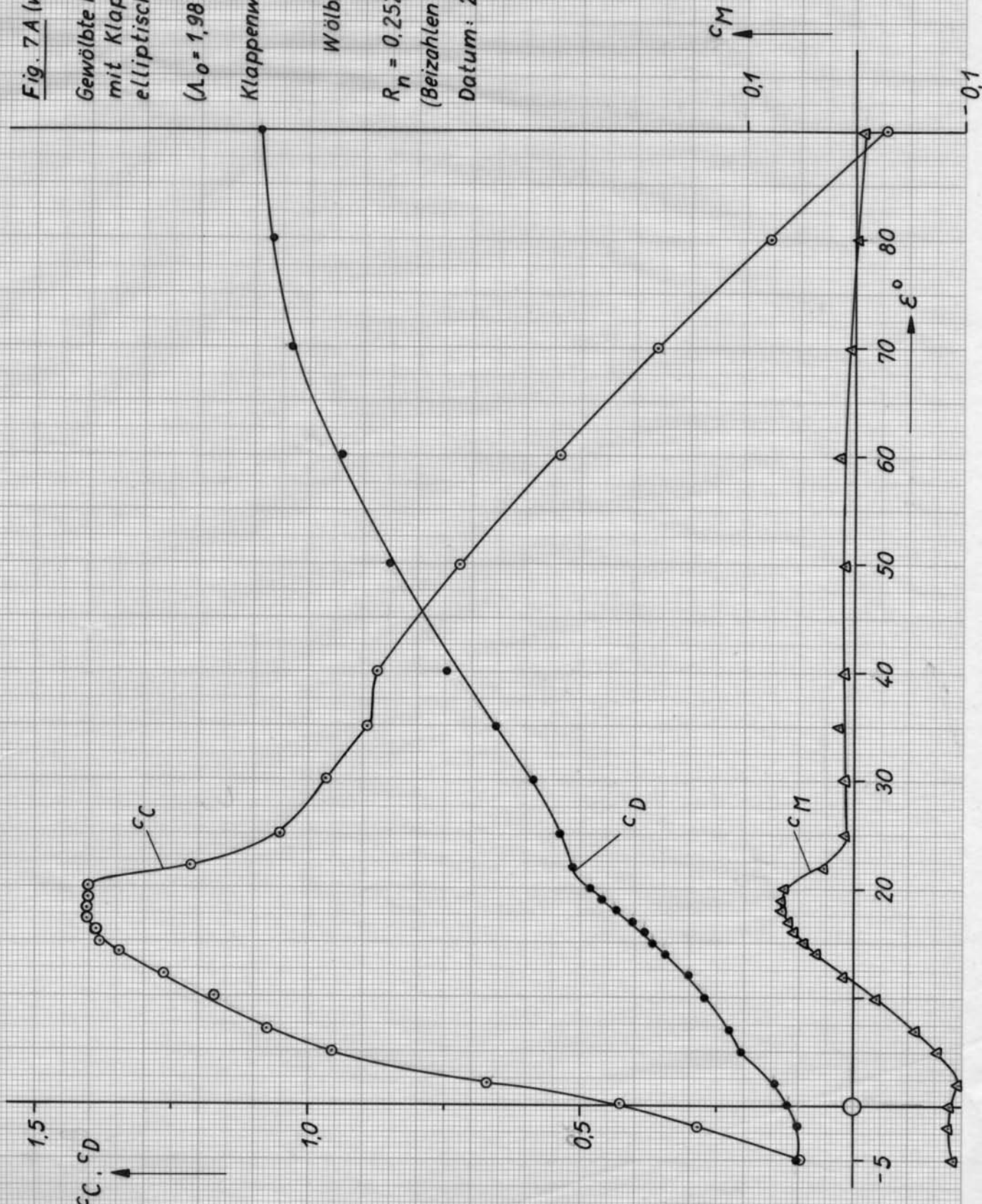


Fig. 6

Fig. 6B (vgl. Tabelle 5)

**Gewölbt Rechteckplatte
mit Klappen, am
elliptischen Mast**

($\lambda_0 = 1.98; f_0 / l_0 = 0.1095$)

Klappenwinkel $\delta_V = 0^\circ$

$\delta_h = 10^\circ$

Wölbung $f/l = 0.1285$

$\lambda = 2.01 \cdot 10^6$

$R_n = 0.373 \cdot 10^6$

(Beizahlen bezogen auf A_0).

Datum: 22. 5. 1963

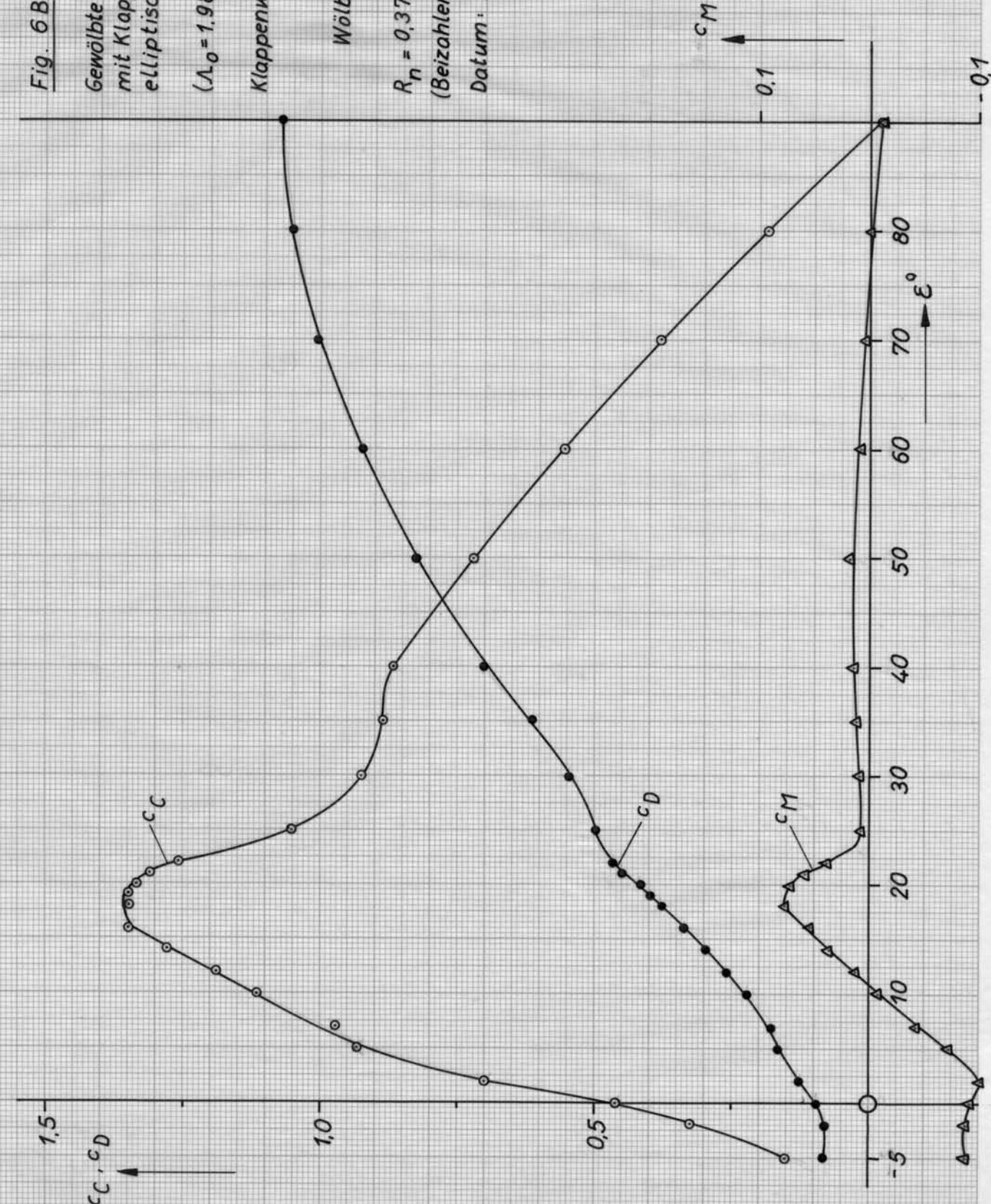


Fig. 6

Fig. 7B (vgl. Tabelle 6)

Gewölbte Rechteckplatte
mit Klappen, am
elliptischen Mast

$$(\lambda_0 = 1.98; f_0/l_0 = 0,1095)$$

Klappenwinkel $\delta_V = 0^\circ$

$$\delta_h = 20^\circ$$

$$Wölbung f/l = 0,1433$$

$$\Lambda = 2,04$$

$$R_n = 0,366 \cdot 10^6$$

(Beizahlen bezogen auf A_0).

Datum: 22.5.1963

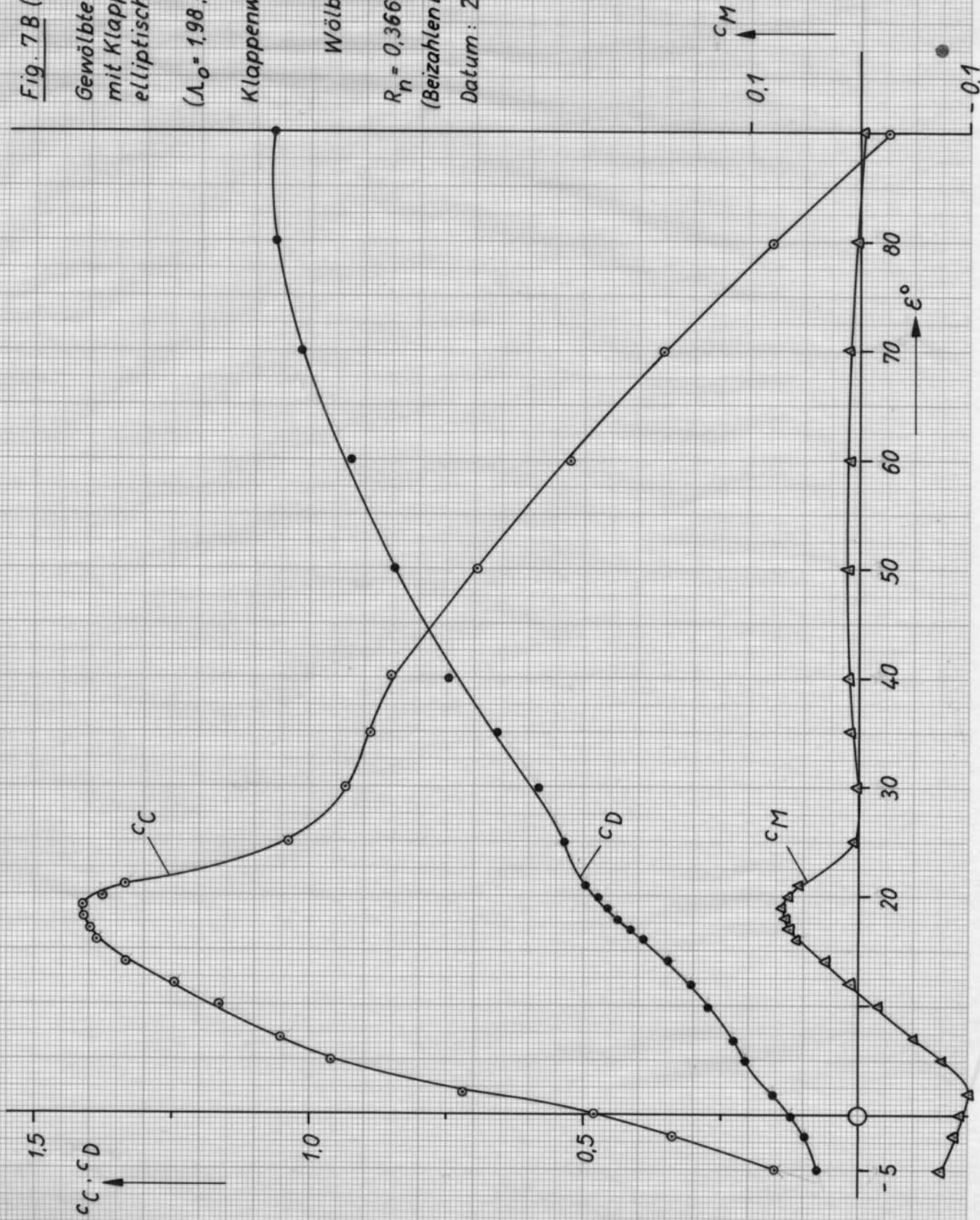


Fig. 8A (vgl. Tabelle 7)

Gewölbte Rechteckplatte
mit Klappen, am
elliptischen Mast

$$(M_0 = 1,98; f_0 / l_0 = 0,1095)$$

Klappenwinkel $\delta_V = 0^\circ$

$$\delta_h = 30^\circ$$

$$\text{Wölbung } f/l = 0,1571$$

$$\lambda = 2,07$$

$$R_h = 0,246 \cdot 10^6$$

(Beizahlen bezogen auf A_0).

Datum: 24. 5. 1963

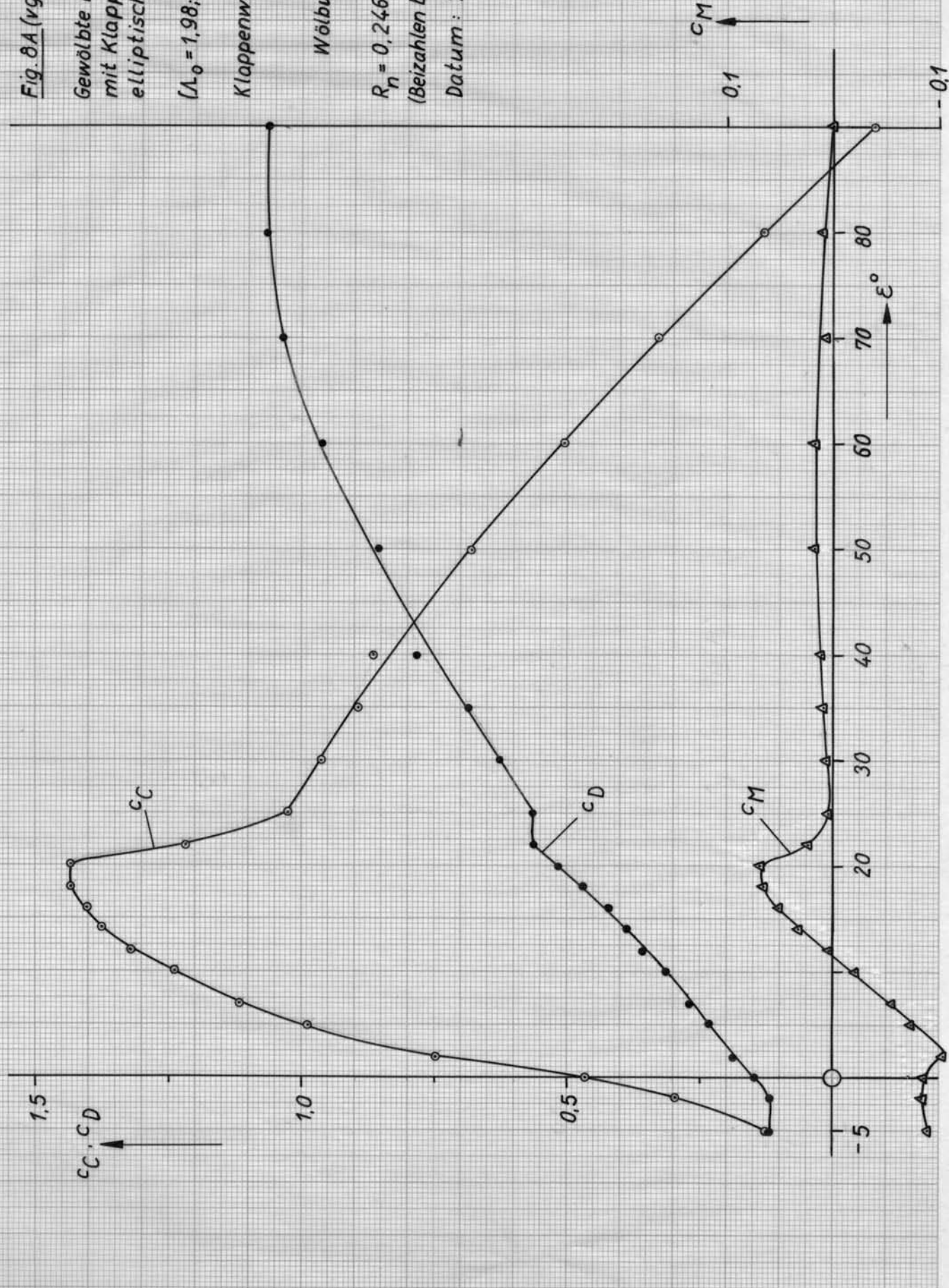


Fig. 8B (vgl. Tabelle 7)

Gewölbte Rechteckplatte
mit Klappen, am
elliptischen Mast

$$(\lambda_0 = 1.98; f_0/l_0 = 0.1095)$$

Klappenwinkel $\delta_v = 0^\circ$

$$\delta_h = 30^\circ$$

Wölbung $f/l = 0.1571$

$$\lambda = 2.07$$

$$R_n = 0.356 \cdot 10^6$$

(Beizahlen bezogen auf A_0).

Datum: 24. 5. 63

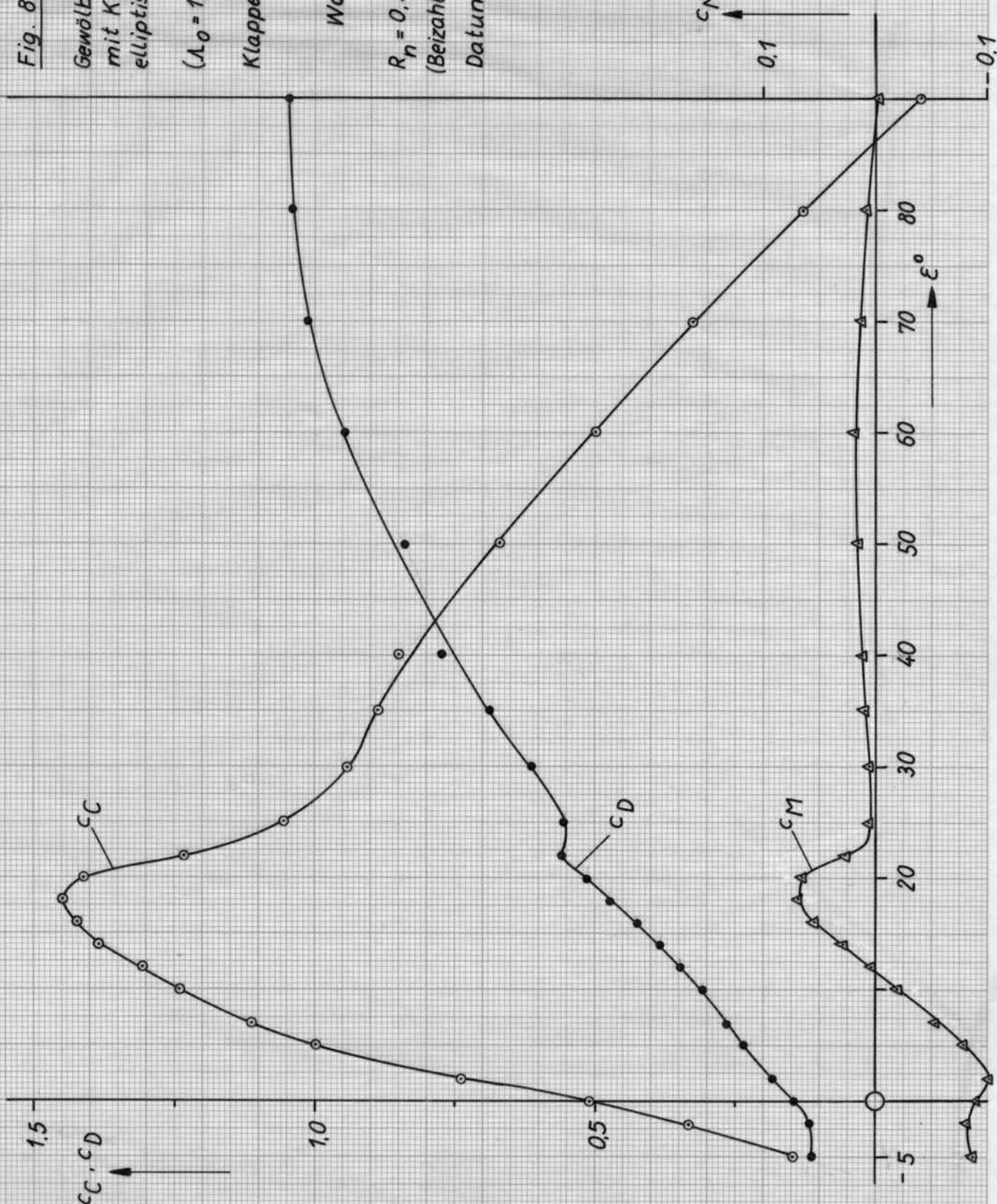


Fig. 9 A (vgl. Tabelle 8)

Gewölbte Rechteckplatte
mit Klappen. am
elliptischen Mast

$$(\Lambda_0 = 1.98; f_0/l_0 = 1.095)$$

Klappenwinkel- $\delta_V = 5^\circ$

$$\delta_h = 5^\circ$$

$$Wölbung f/l = 0.12274$$

$$\Lambda = 2.01$$

$$R_n = 0.254 \cdot 10^6$$

(Bezahlen bezogen auf A_0).

Datum: 22.5.64

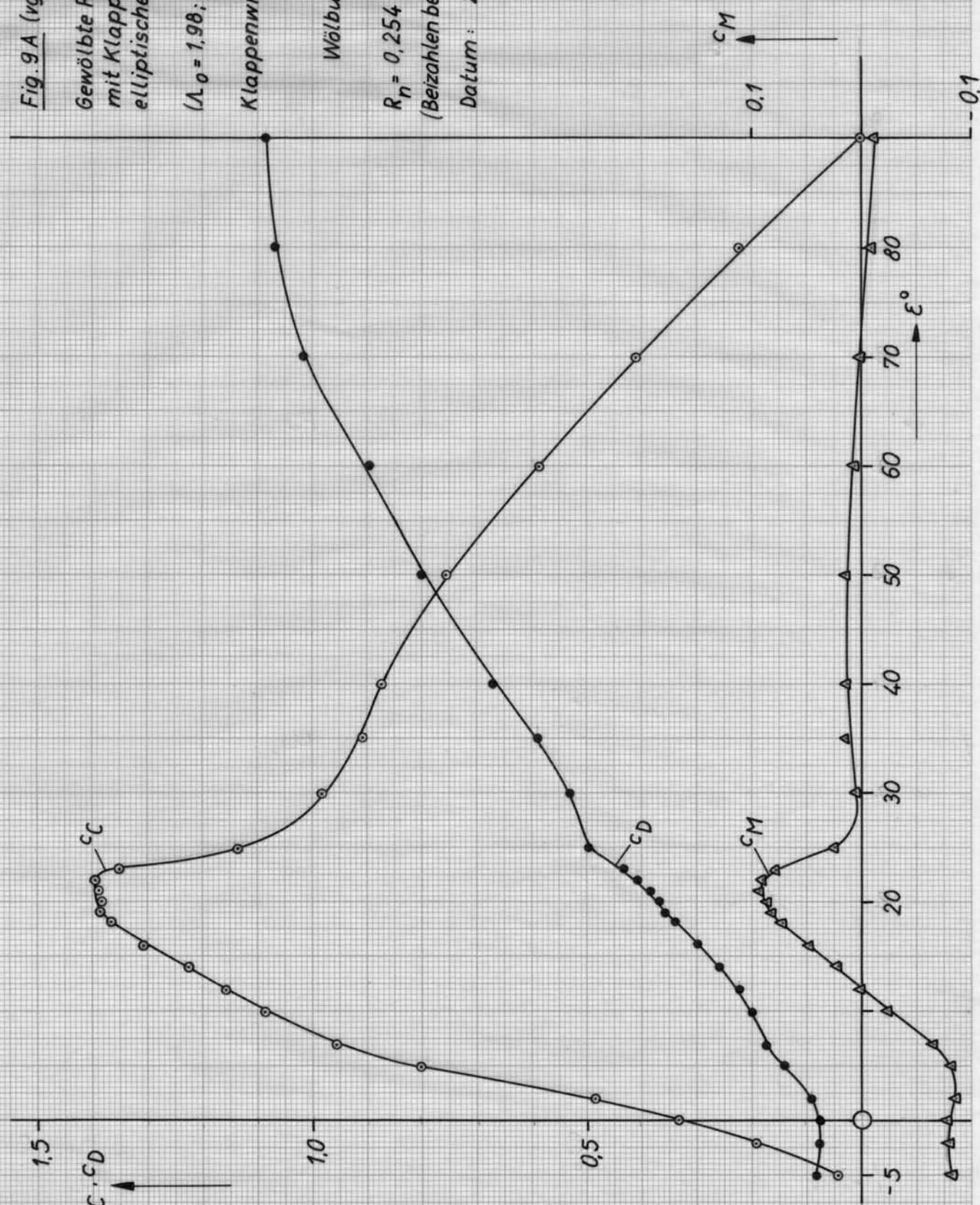


Fig. 9B (vgl. Tabelle 8)

Gewölbte Rechteckplatte
mit Klappen, am
elliptischen Mast

$$(M_{\infty} = 1,98; f_0/l_0 = 0,1095)$$

Klappenwinkel - δ_V = 5°

$$\delta_h = 5^\circ$$

$$Wölbung f/l = 0,1274$$

$$\lambda_L = 2,01$$

$$R_h = 0,368 \cdot 10^6$$

(Beizahlen bezogen auf A_0).

Datum : 22.5.64

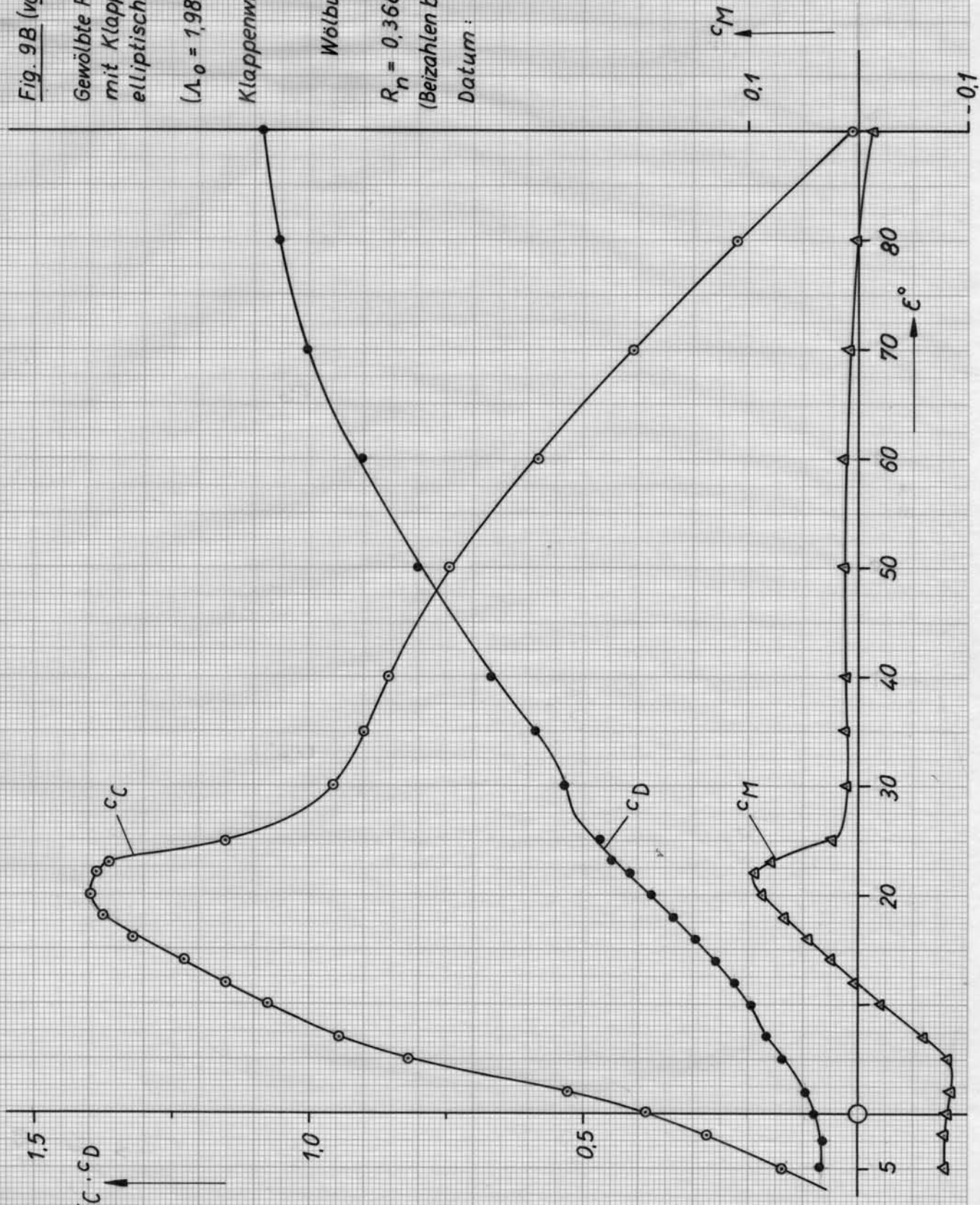


Fig. 10A (vgl. Tabelle 9)

Gewölbte Rechteckplatte
mit Klappen, am
elliptischen Mast

$$(\lambda_0 = 1.98, f_0 / l_0 = 1.095)$$

Klappenwinkel $-\delta_V = 5^\circ$

$$\delta_h = 10^\circ$$

$$Wölbung f/l = 01325$$

$$\lambda = 2.02$$

$$R_n = 0.252 \cdot 10^{-6}$$

(Beizahlen bezogen auf A_0).

Datum : 22. 5. 1963

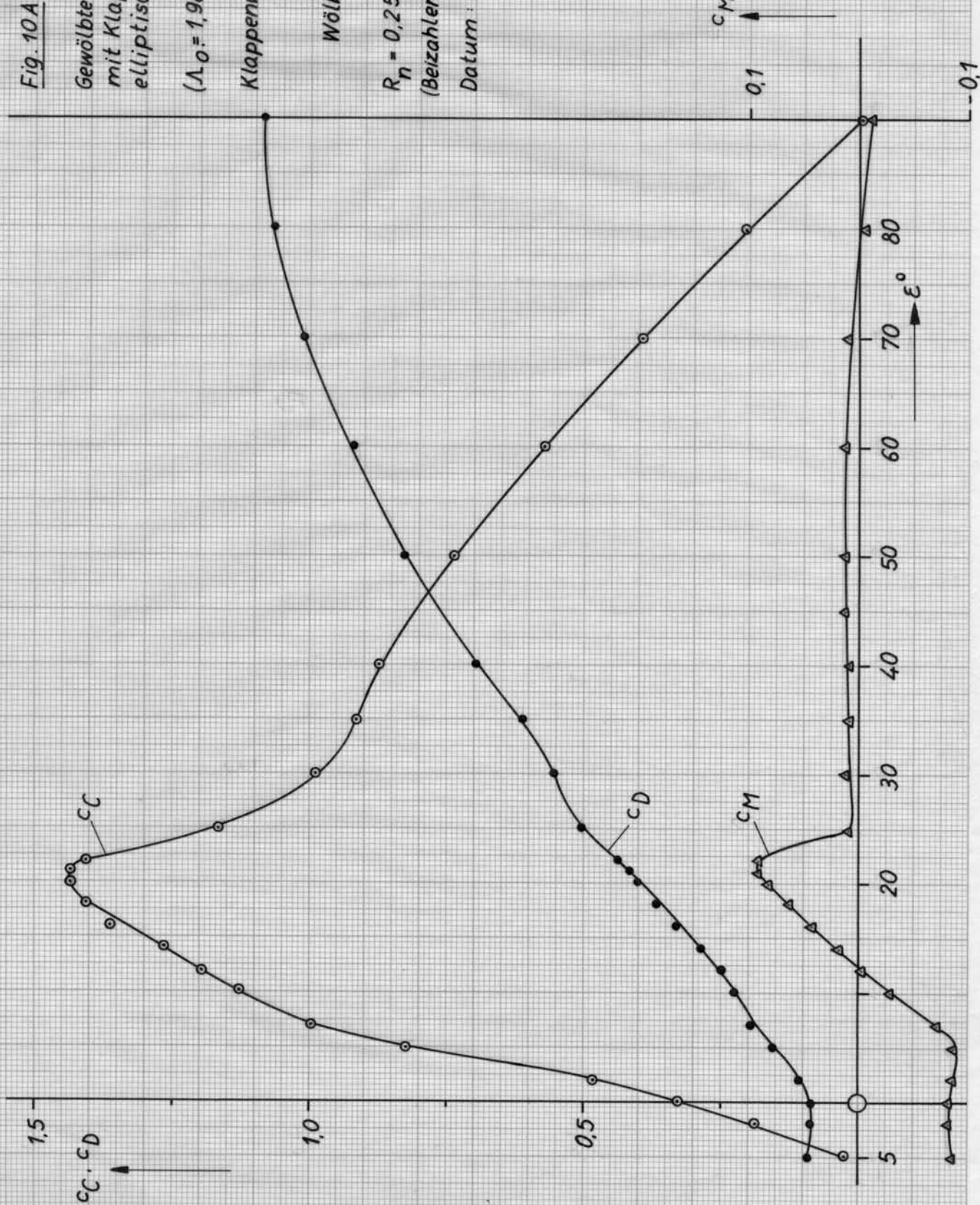


Fig. 10B (vgl. Tabelle 9)

Gewölbte Rechteckplatte
mit Klappen, am
elliptischen Mast

$$(\lambda_0 = 1.98, f_0/l_0 = 0.1095)$$

$$\text{Klappenwinkel } -\delta_v = 5^\circ$$

$$\delta_h = 10^\circ$$

$$\text{Wölbung } f/l = 0.11325$$

$$\lambda = 2.02$$

$$R_n = 0.364 \cdot 10^6$$

(Beizahlen bezogen auf A_0).

Datum : 22. 5. 64

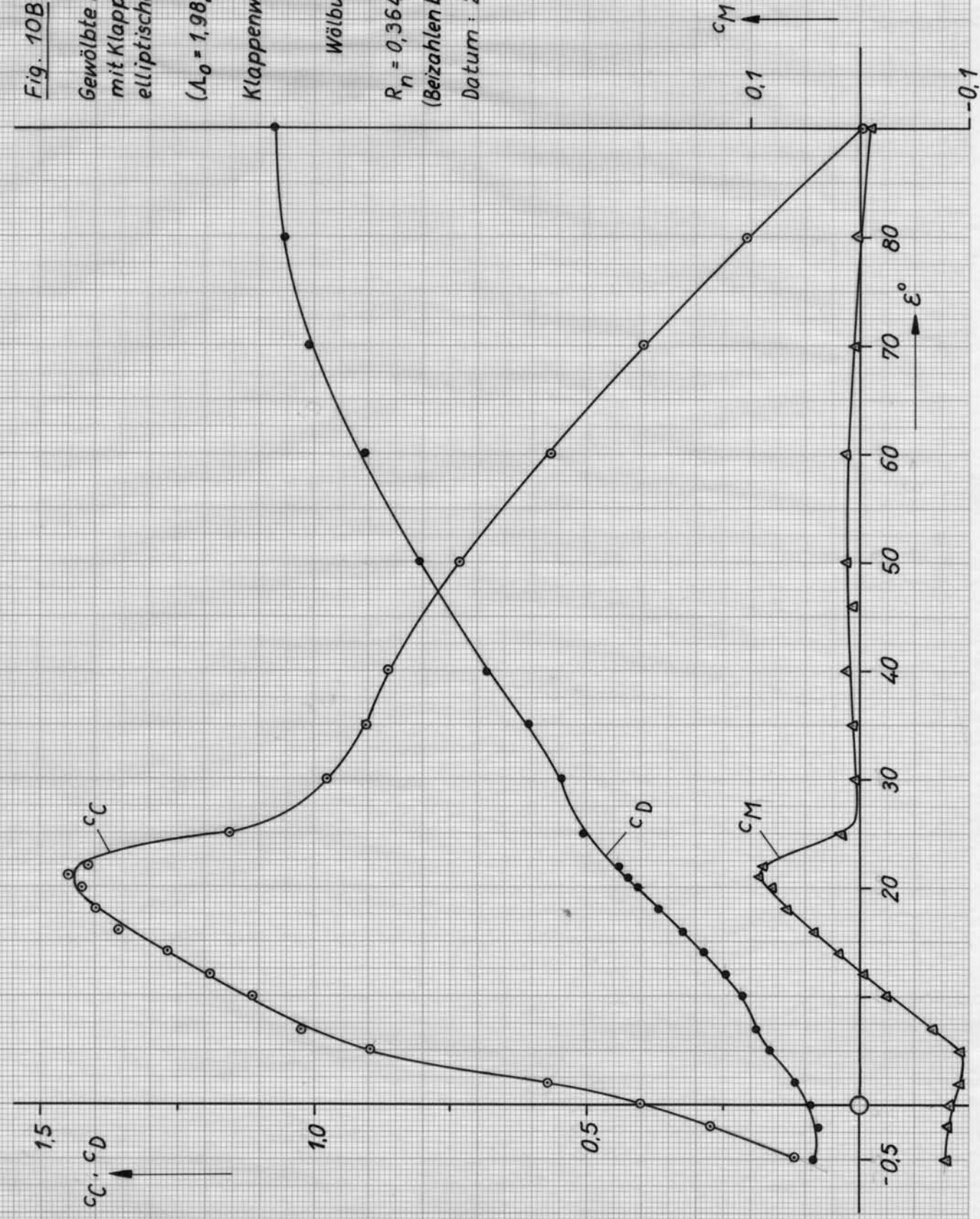


Fig. 11A (vgl. Tabelle 10)

Gewölbte Rechteckplatte
mit Klappen, am
elliptischen Mast

$$(A_0 = 1.98; f_0 / l_0 = 0.1095)$$

Klappenwinkel- $\delta_V = 5^\circ$

$$\delta_h = 20^\circ$$

$$Wölbung f/l = 0.1528$$

$$\Lambda = 2.06$$

$$R_n = 0.248 \cdot 10^6$$

(Beizahlen bezogen auf A_0).

Datum: 22. 5. 1963

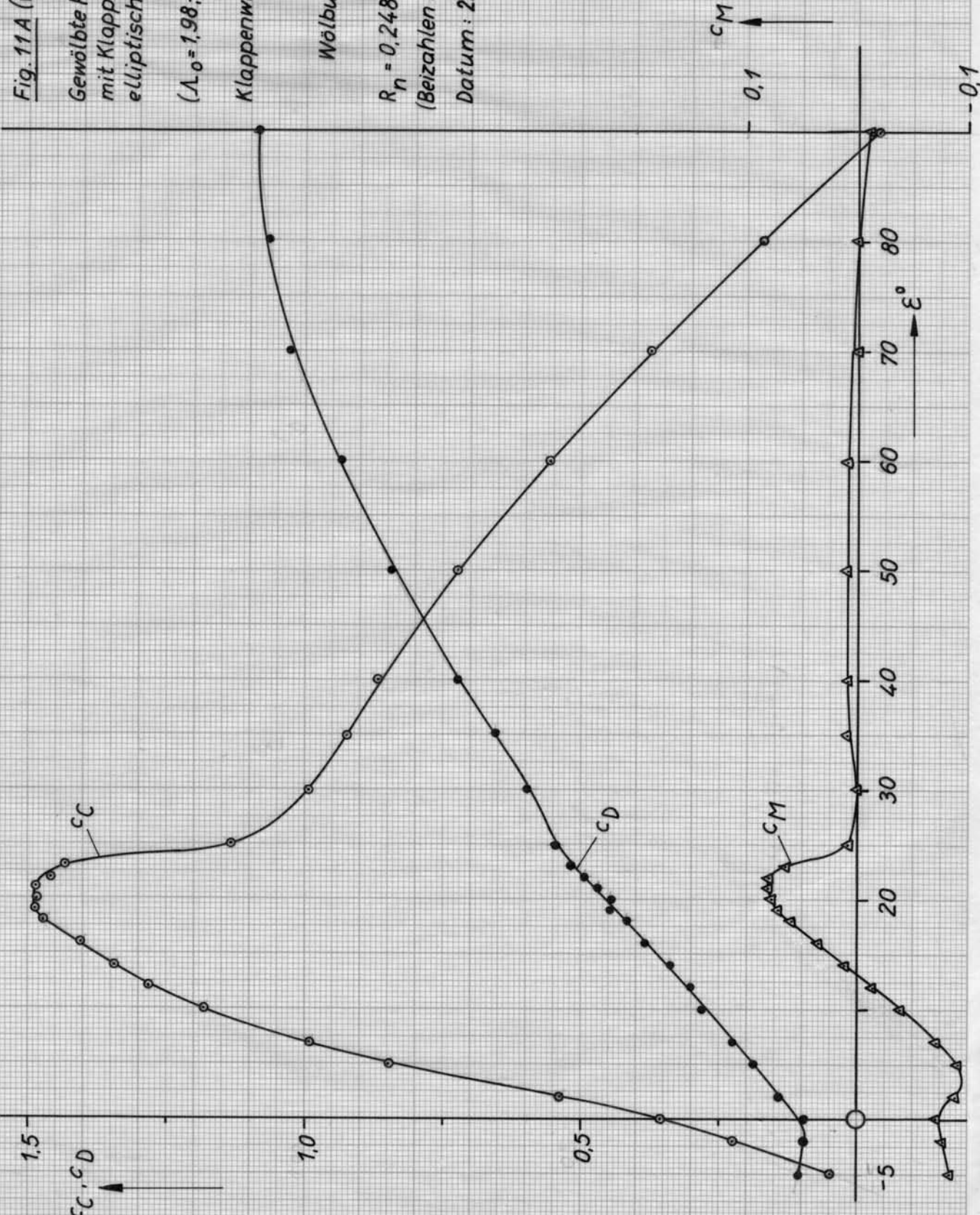


Fig. 11B (vgl. Tabelle 10)

Gewölbte Rechteckplatte
mit Klappen, am
elliptischen Mast

$$(\lambda_0 = 1.98; f_0/l_0 = 0.1095)$$

Klappenwinkel - $\delta_V = 5^\circ$

$$\delta_h = 20^\circ$$

Wölbung $f/l = 0.1528$

$$\lambda_L = 2.06$$

$$R_n = 0.360 \cdot 10^6$$

(Bezahlen bezogen auf A_0).

Datum: 22. 5. 1963

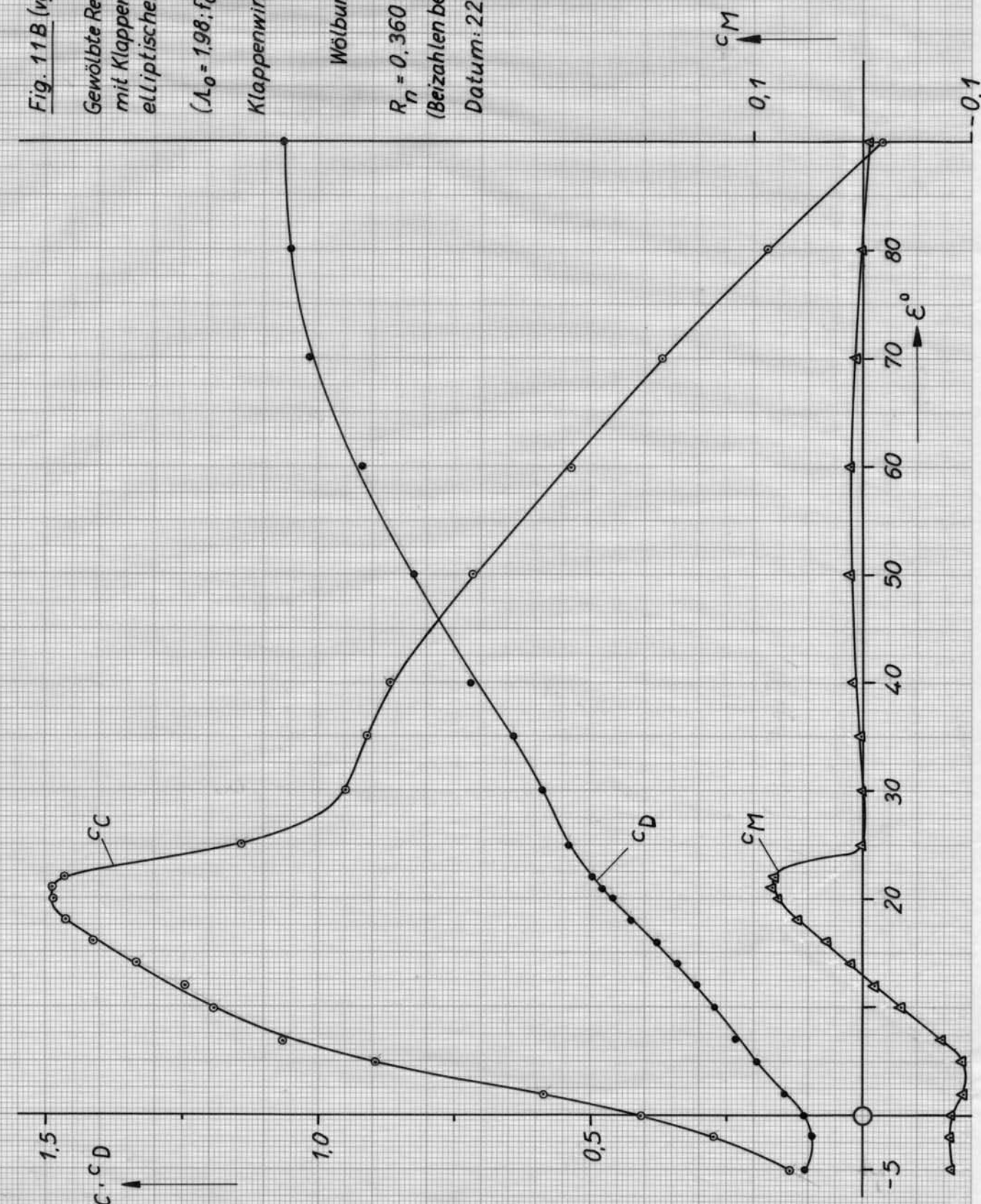


Fig. 12B (vgl. Tabelle 11)

Gewölbte Rechteckplatte
mit Klappen, am
elliptischen Mast.

$$(\Lambda_0 = 1.98; f_0/l_0 = 0.1095)$$

$$\text{Klappenwinkel } -\delta_v = 10^\circ$$

$$\delta_h = 0^\circ$$

$$\text{Wölbung } f/l = 0.1285$$

$$\Lambda = 2.01$$

$$R_h = 0.370 \cdot 10^6$$

(Bezahlen bezogen auf Λ_0).

Datum: 24. 5. 1963

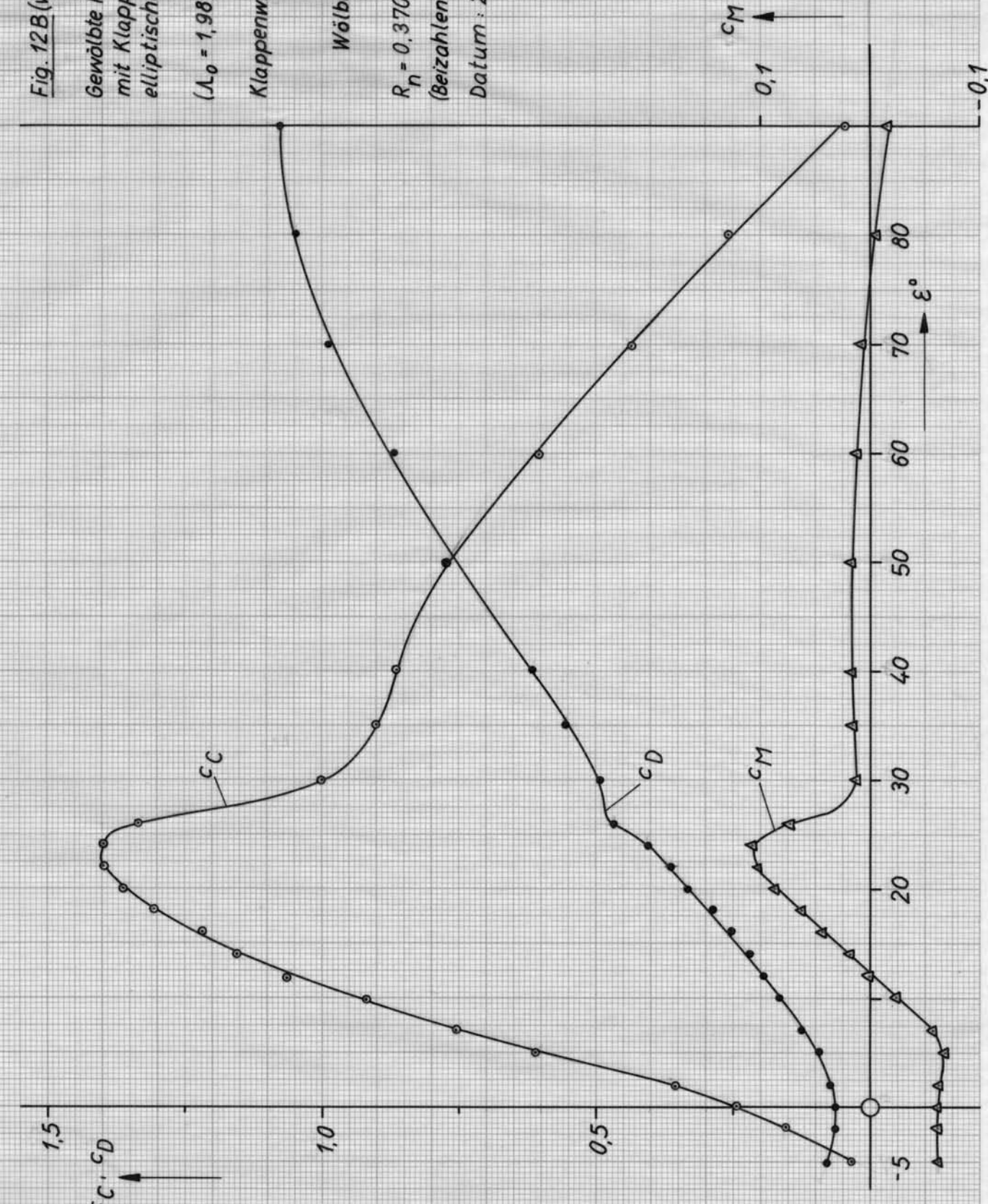


Fig. 13A (vgl. Tabelle 12)

Gewölbte Rechteckplatte
mit Klappen, am
elliptischen Mast.

$$(\lambda_0 = 1.98; f_0/l_0 = 0.1095)$$

$$\text{Klappenwinkel-} \delta_V = 10^\circ$$

$$\delta_h = 10^\circ$$

$$\text{Wölbung } f/l = 0.1422$$

$$\lambda_1 = 2.04$$

$$R_h = 0.249 \cdot 10^6$$

(Beizahlen bezogen auf A_0).

Datum: 22.5.1963

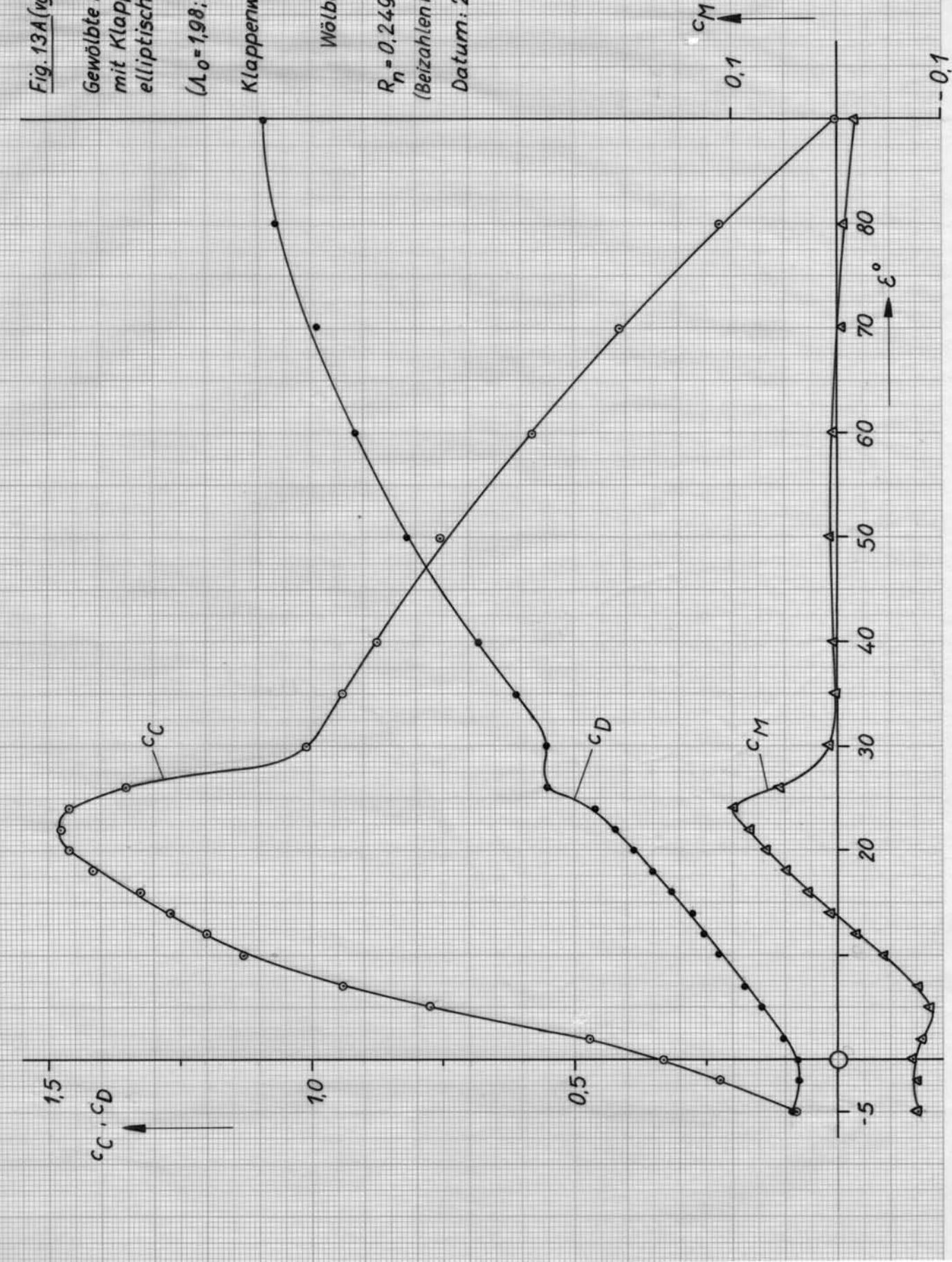


Fig. 13 B (vgl. Tabelle 12)

Gewölbte Rechteckplatte
mit Klappen, am
elliptischen Mast.

$$(M_0 = 1,98; f_0/l_0 = 0,1095)$$

Klappenwinkel - $\delta_V = 10^\circ$

$$\delta_h = 10^\circ$$

Wölbung $f/l = 0,11422$

$$\Lambda = 2,04 \cdot 10^6$$

(Bezahlen bezogen auf A_0).
Datum: 22.5.1963

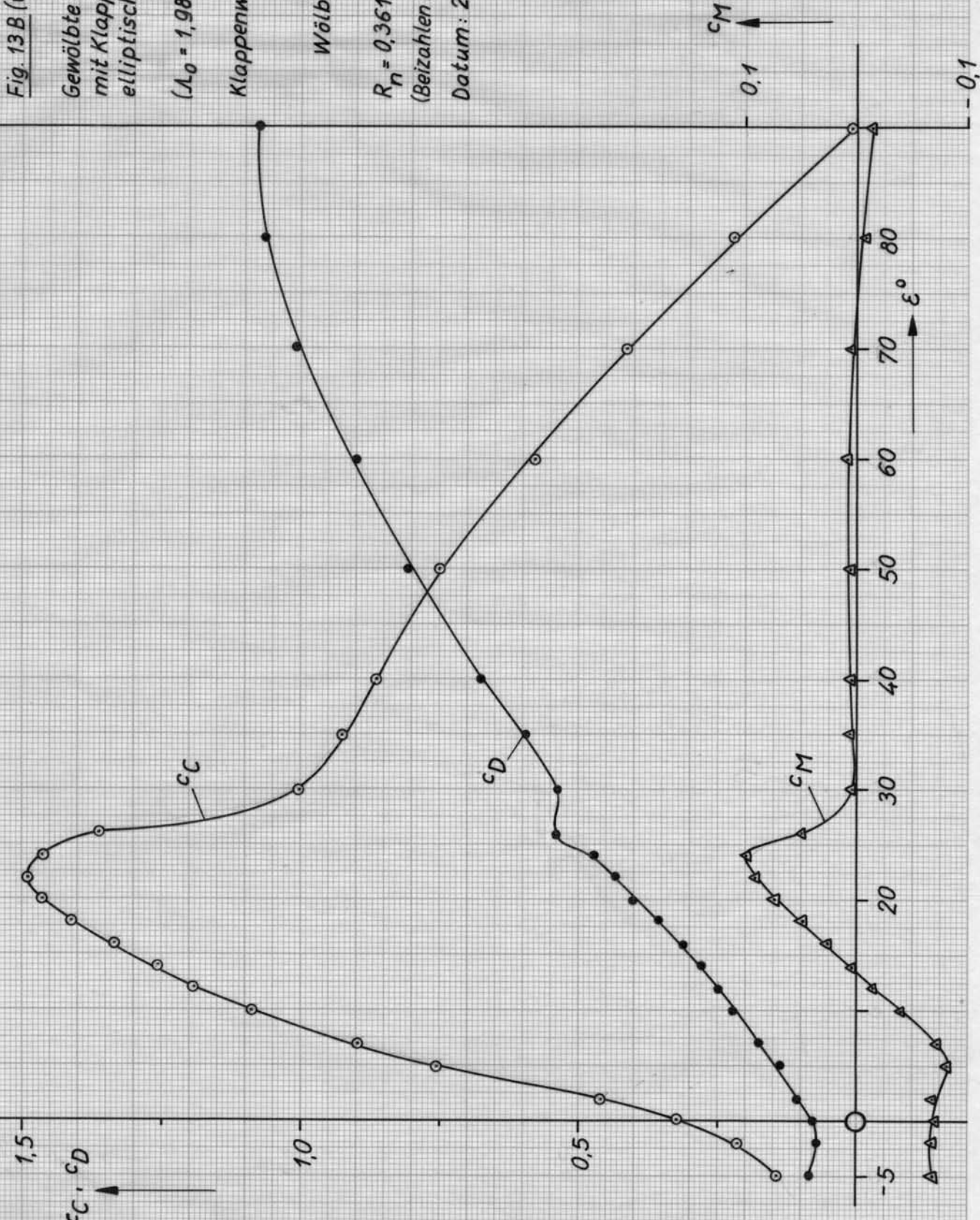


Fig. 14A (vgl. Tabelle 13)

Gewölbte Rechteckplatte
mit Klappen, am
elliptischen Mast.

($\lambda_0 = 1.98; f_0/l_0 = 0.1095$)
Klappenwinkel - $\delta_v = 10^\circ$

$\delta_h = 20^\circ$
Wölbung $f/l = 0.1422$
 $\lambda = 2.04$

$R_h = 0.244 \cdot 10^6$
(Beizahlen bezogen auf A_0).

Datum: 22. 5. 1963

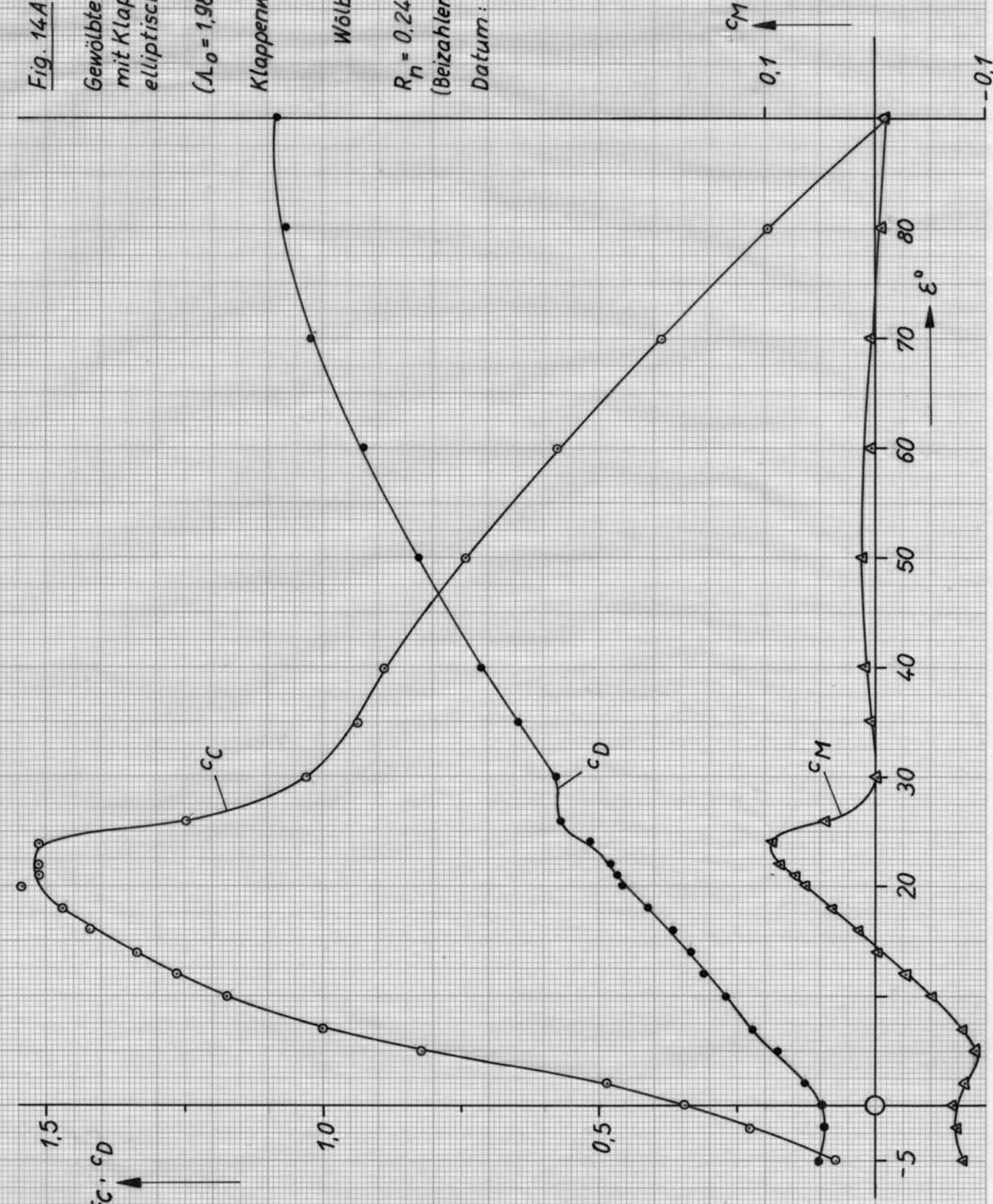


Fig. 15A (vgl. Tabelle 14)

Gewölbte Rechteckplatte
mit Klappen, am
elliptischen Mast

$$(\lambda_0 = 1.98; f_0/l_0 = 0.1095)$$

Klappenwinkel $\delta_V = 20^\circ$

$$\delta_h = 0^\circ$$

$$Wölbung f/l = 0.1433$$

$$\lambda = 2.04$$

$$R_h = 0.251 \cdot 10^6$$

(Beizahlen bezogen auf A_0).

Datum : 24. 5. 1963

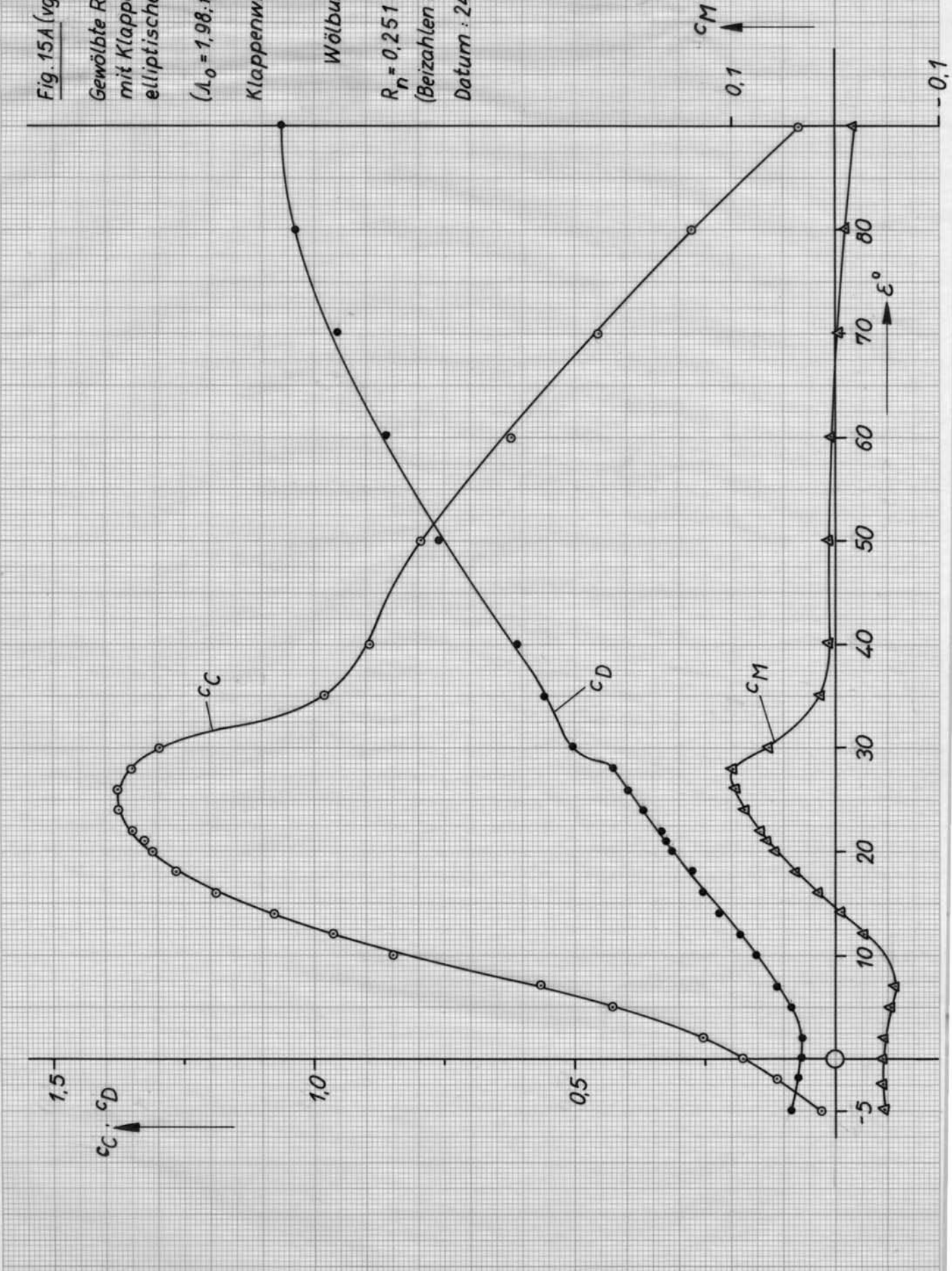


Fig. 14B (vgl. Tabelle 13)

Gewölbte Rechteckplatte
mit Klappen, am
elliptischen Mast.

$$(\lambda_0 = 1.98; f_0 / l_0 = 0.1095)$$

$$\text{Klappenwinkel } -\delta_V = 10^\circ$$

$$\delta_h = 20^\circ$$

$$\text{Wölbung } f/l = 0.1422$$

$$\lambda_L = 2.04$$

$$R_n = 0.361 \cdot 10^6$$

(Beizahlen bezogen auf A_0).

Datum: 22.5.1963

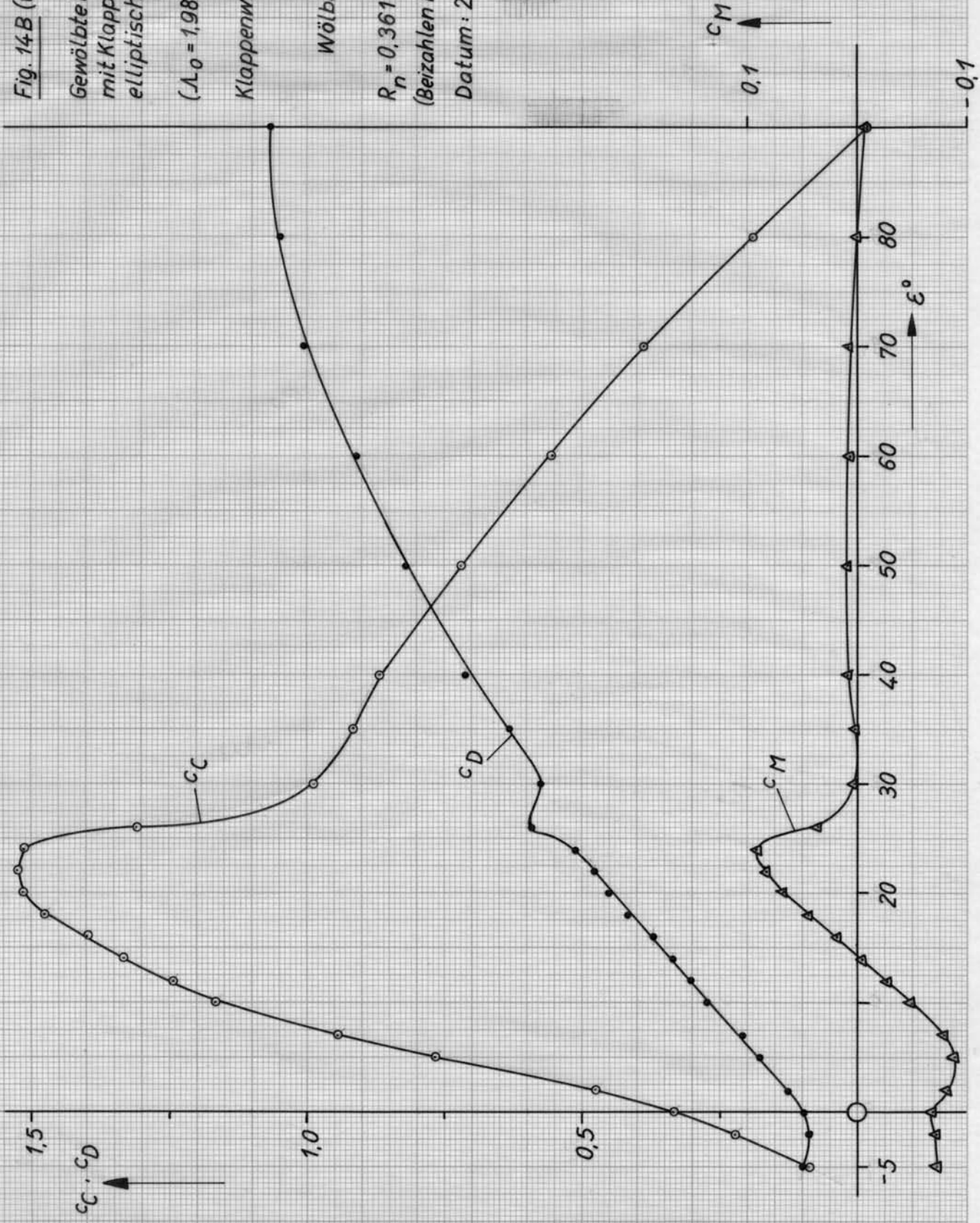


Fig. 15B (vgl. Tabelle 14)

Gewölbte Rechteckplatte
mit Klappen, am
elliptischen Mast.

$$(\lambda_0 = 1.98; f_0/l_0 = 0.1095)$$

$$\text{Klappenswinkel } -\delta_V = 20^\circ$$

$$\delta_h = 0^\circ$$

$$\text{Wölbung } f/l = 0.1433$$

$$R_\eta = 0.364 \cdot 10^{-6}$$

(Beizahlen bezogen auf A_0).

Datum: 24.5.1963

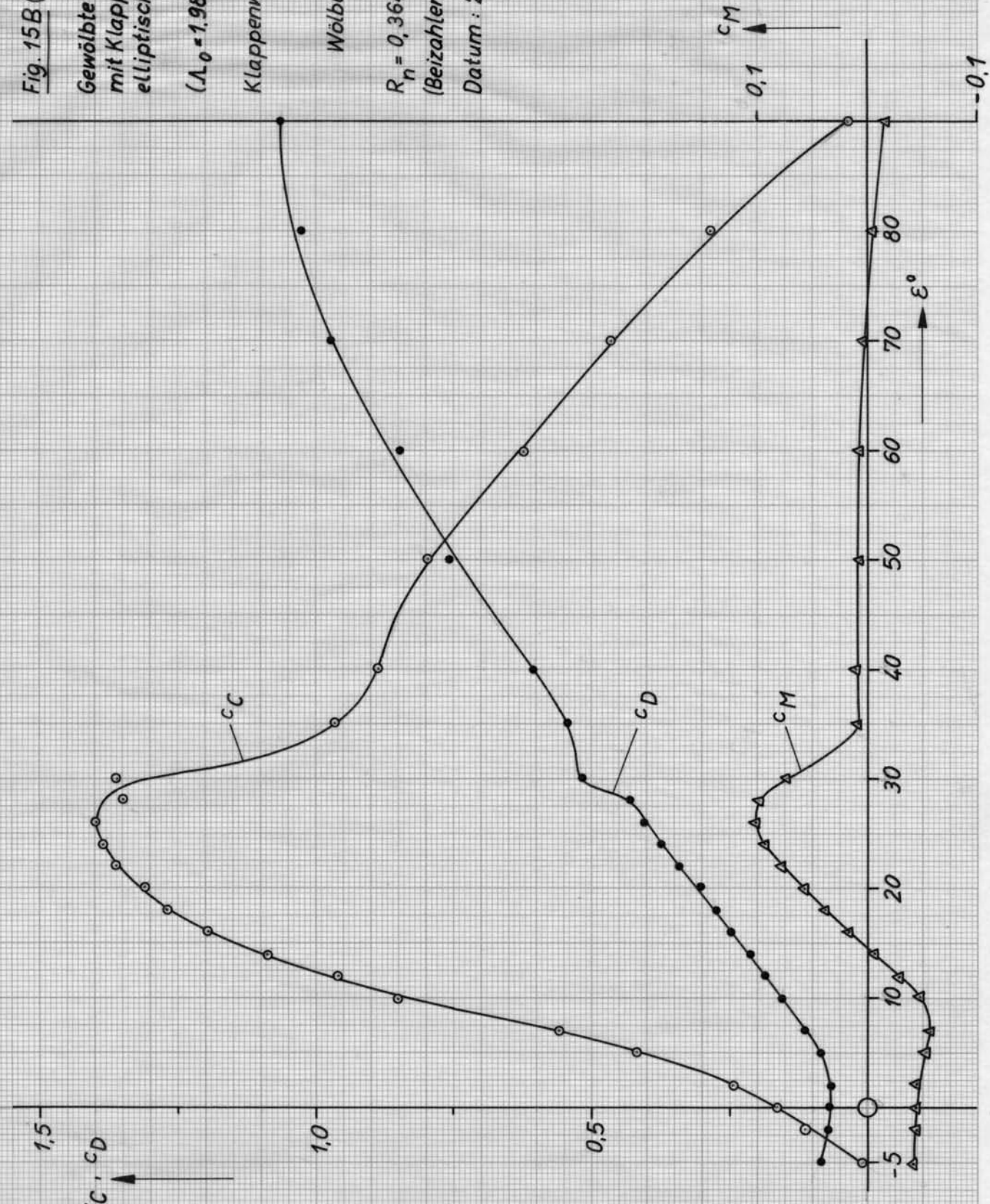


Fig. 16A (vgl. Tabelle 15)

Gewölbte Rechteckplatte
mit Klappen, am
elliptischen Mast.

$$(\lambda_0 = 1.98; f_0/l_0 = 0.1095)$$

Klappenwinkel - $\delta_V = 20^\circ$

$$\delta_h = 20^\circ$$

Wölbung $f/l = 0.1750$

$$\lambda_L = 2.10$$

$$R_n = 0.242 \cdot 10^6$$

(Bezahlen bezogen auf A_0).

Datum : 24. 5. 1963

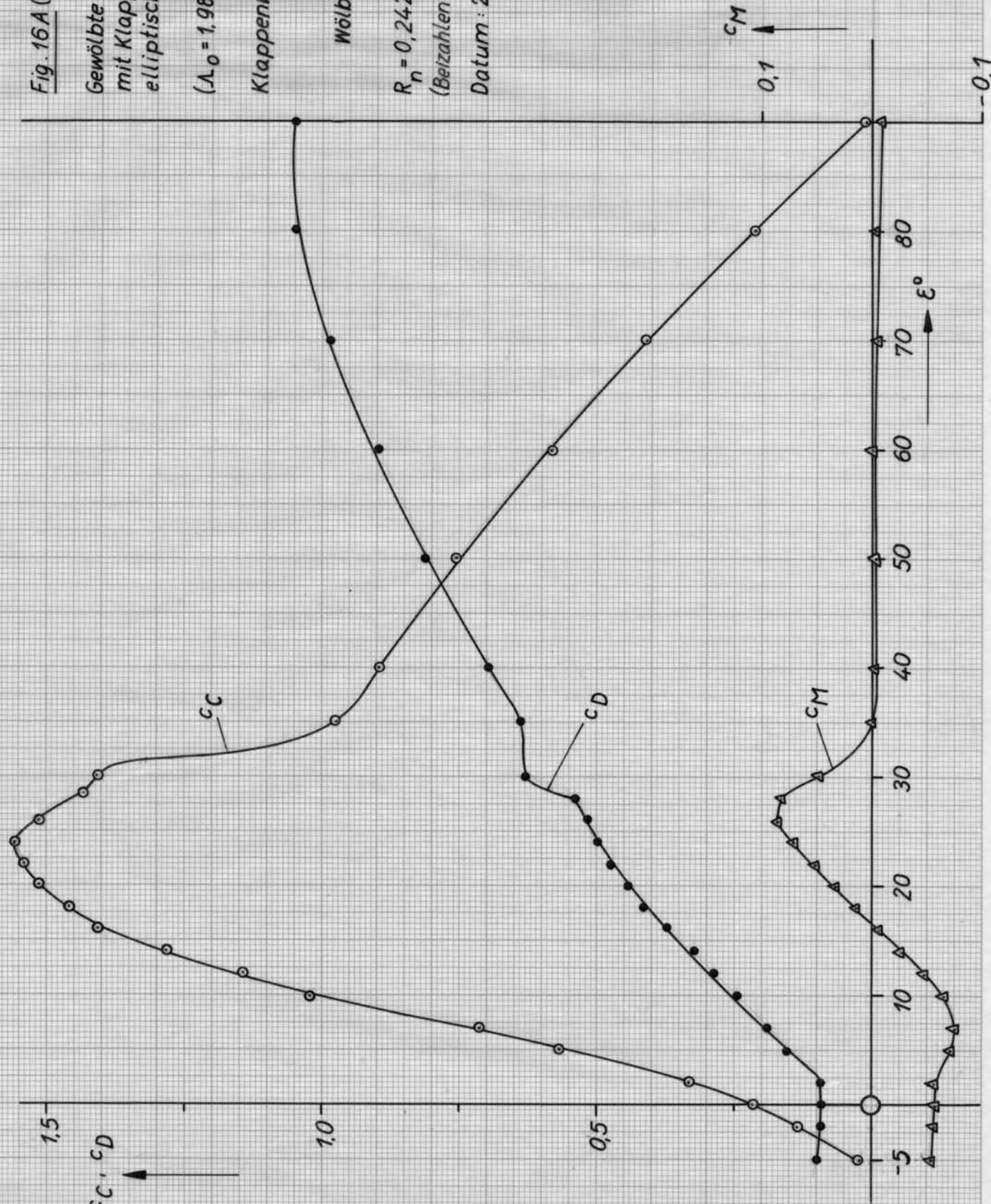


Fig. 16B (vgl. Tabelle 15)

Gewölbte Rechteckplatte
mit Klappen, am
elliptischen Mast

$$(\Lambda_0 = 1.98; f_0 / l_0 = 0.1095)$$

$$\text{Klappenwinkel } -\delta_v = 20^\circ$$

$$\delta_h = 20^\circ$$

$$\text{Wölbung } f/l = 0.175$$

$$\Lambda = 2.10$$

$$R_h = 0.352 \cdot 10^6$$

(Beizahlen bezogen auf A_0).

Datum: 24. 5. 1963

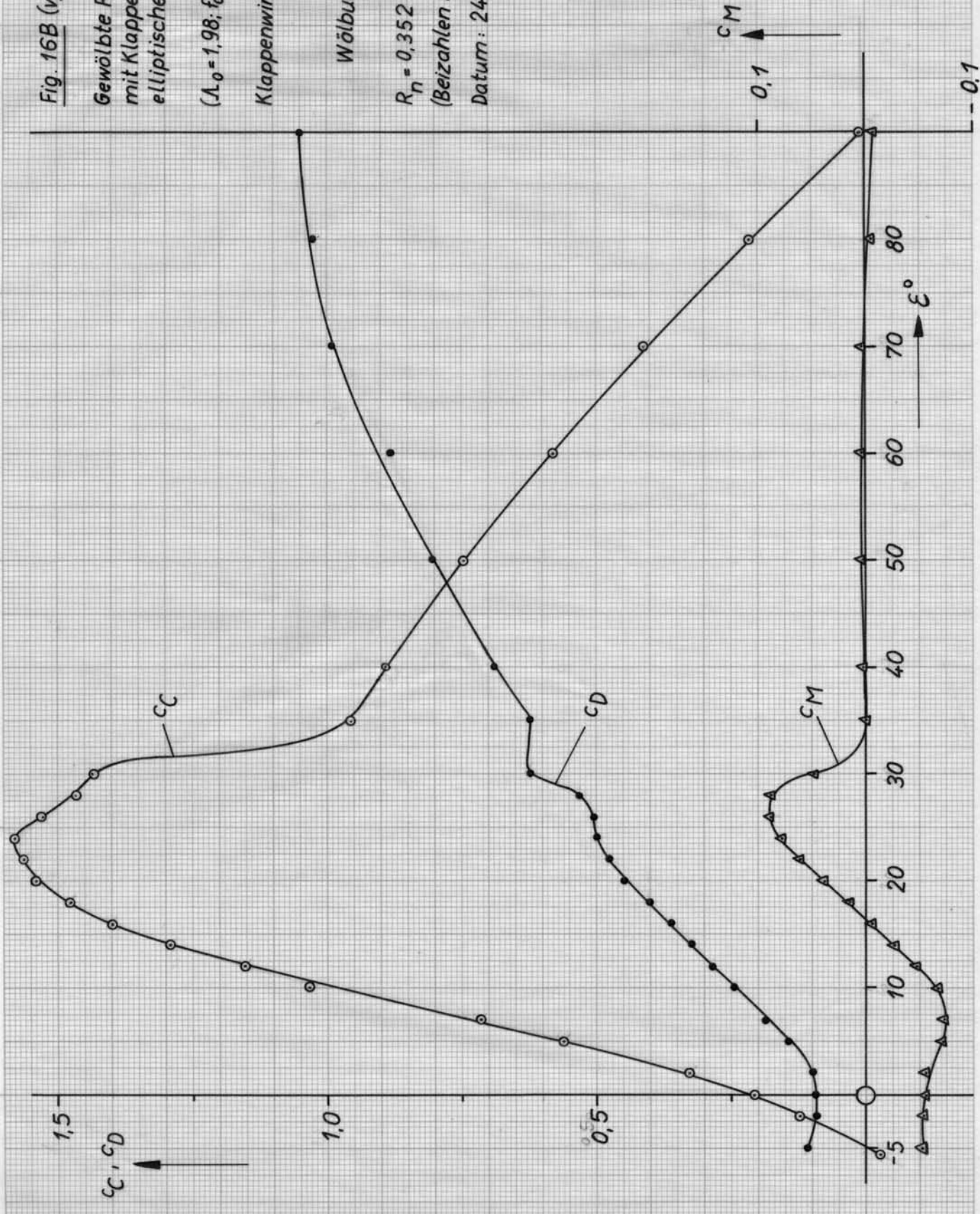


Fig. 17A (vgl. Tabelle 16)

Gewölbte Rechteckplatte
mit Klappen, am
elliptischen Mast

$$(\lambda_0 = 1,98; f_0/l_0 = 0,1095)$$

Klappenwinkel - $\delta_v = 20^\circ$

$$\delta_h = 60^\circ$$

$$\text{Wölbung } f/l = 0,2237$$

$$\Lambda = 2,34$$

$$R_h = 0,219 \cdot 10^6$$

(Beizahlen bezogen auf A_0).

Datum: 21. 6. 1963

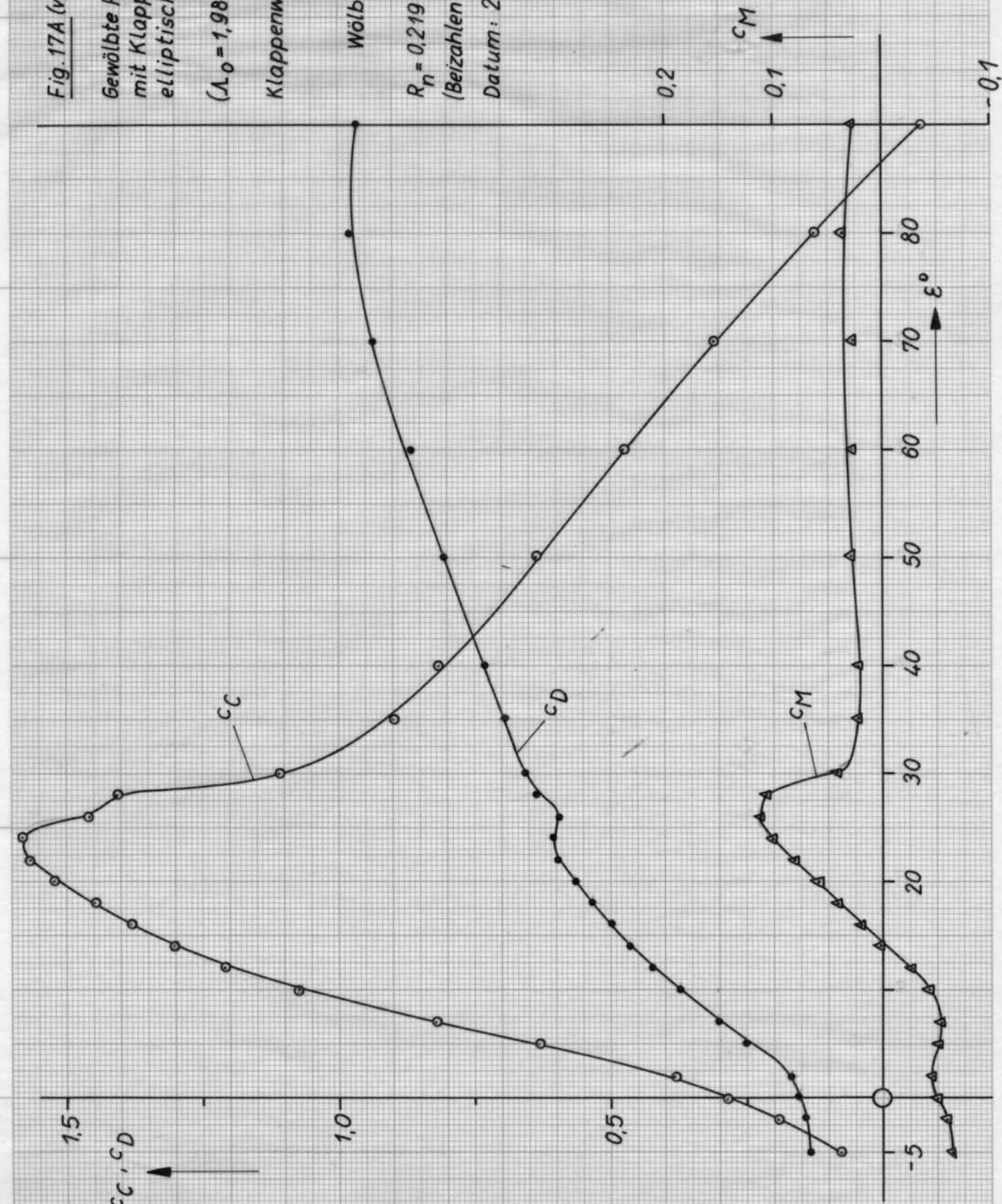


Fig. 177B (vgl. Tabelle 16)

Gewölbte Rechteckplatte
mit Klappen, am
elliptischen Mast

$$(\lambda_0 = 1.98; f_0/l_0 = 0.1095)$$

Klappenwinkel $-\delta_v = 20^\circ$

$$\delta_h = 60^\circ$$

$$Wölbung f/l = 0.237$$

$$R_n = 0.317 \cdot 10^6$$

(Beizahlen bezogen auf A_0).
Datum: 21. 6. 1963

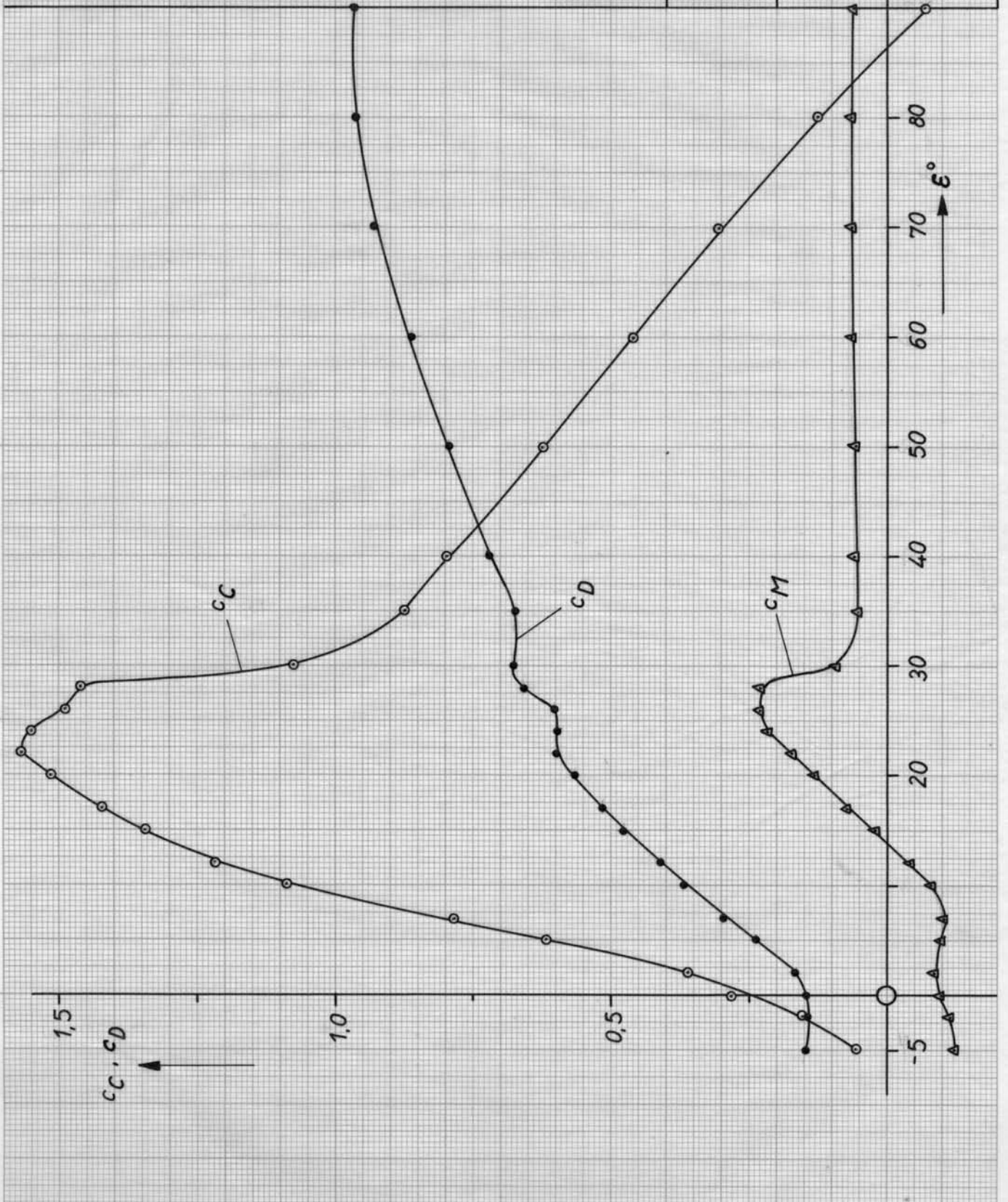


Fig. 18 A (vgl. Tabelle 17)

Gewölbte Rechteckplatte
mit Klappen, am
elliptischen Mast

$$(M_0 = 1.98; f_0 / l_0 = 0.1095)$$

Klappenwinkel $\delta_V = 20^\circ$

$$\delta_h = 70^\circ$$

$$Wölbung f/l = 0.253$$

$$A = 2.40 \cdot 10^6$$

$$R_n = 0.212 \cdot 10^6$$

(Beizahlen bezogen auf A_0).

Datum: 21. 6. 1963

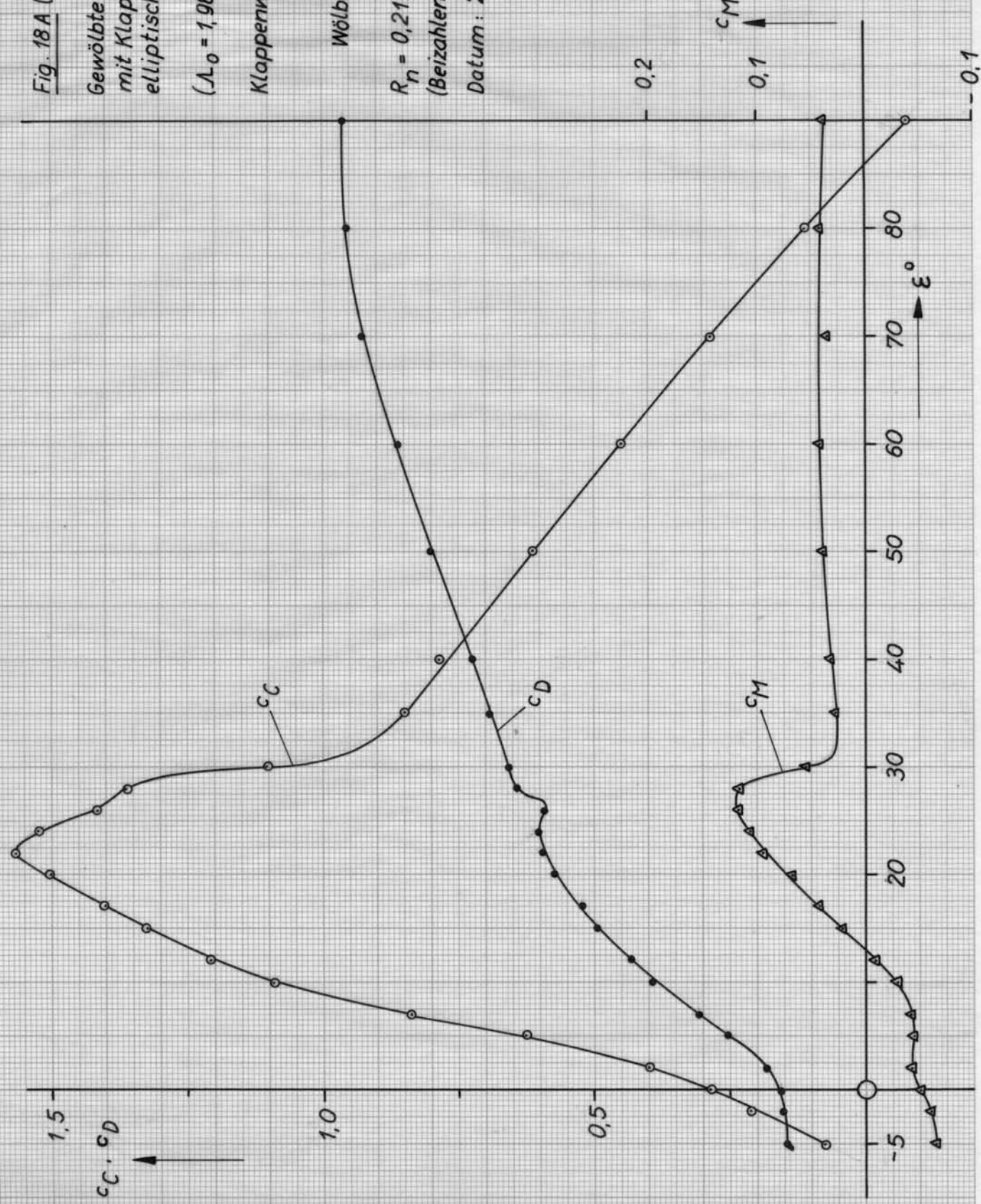


Fig. 18 B (vgl. Tabelle 17)

Gewölbte Rechteckplatte
mit Klappen am
elliptischen Mast.

$$(\lambda_0 = 1.98; f_0/l_0 = 0.1095)$$

$$\text{Klappenwinkel } -\delta_V = 20^\circ$$

$$\delta_h = 70^\circ$$

$$\text{Wölbung } f/l = 0.253$$

$$\lambda = 2.40$$

$$R_h = 0.307 \cdot 10^6$$

(Beizahlen bezogen auf A_0).

Datum: 21.6.1963

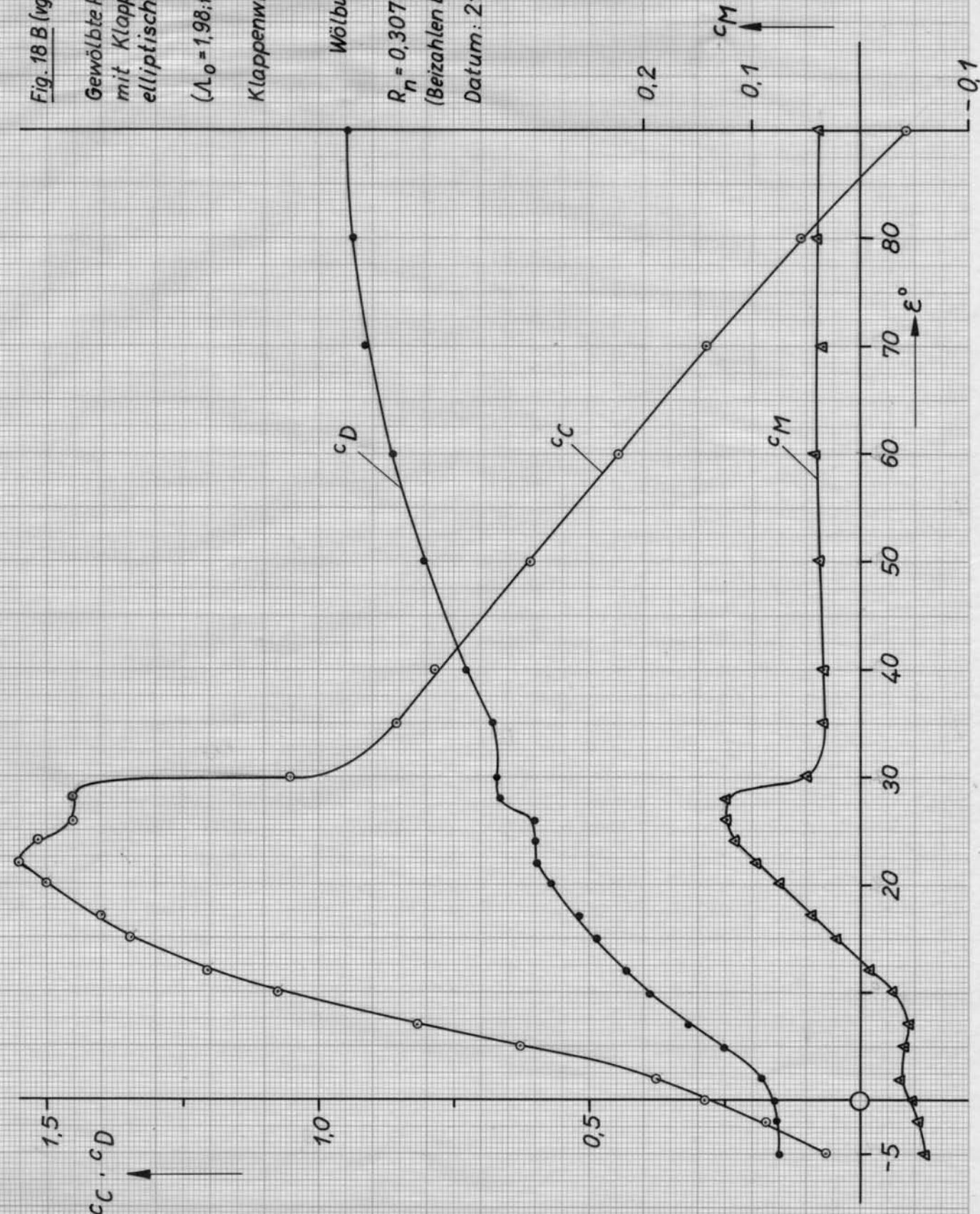


Fig. 19 A (vgl. Tabelle 18)

Gewölbte Rechteckplatte
mit Klappen, am
elliptischen Mast.

$$(\lambda_0 = 1.98; f_0/l_0 = 0.1095)$$

Klappenwinkel - $\delta_V = 30^\circ$

$$\delta_h = 30^\circ$$

$$Wölbung f/l = 0.208$$

$$\lambda = 2.18$$

$$R_h = 0.234 \cdot 10^6$$

(Beizahlen bezogen auf A_0).

Datum: 24. 5. 1963

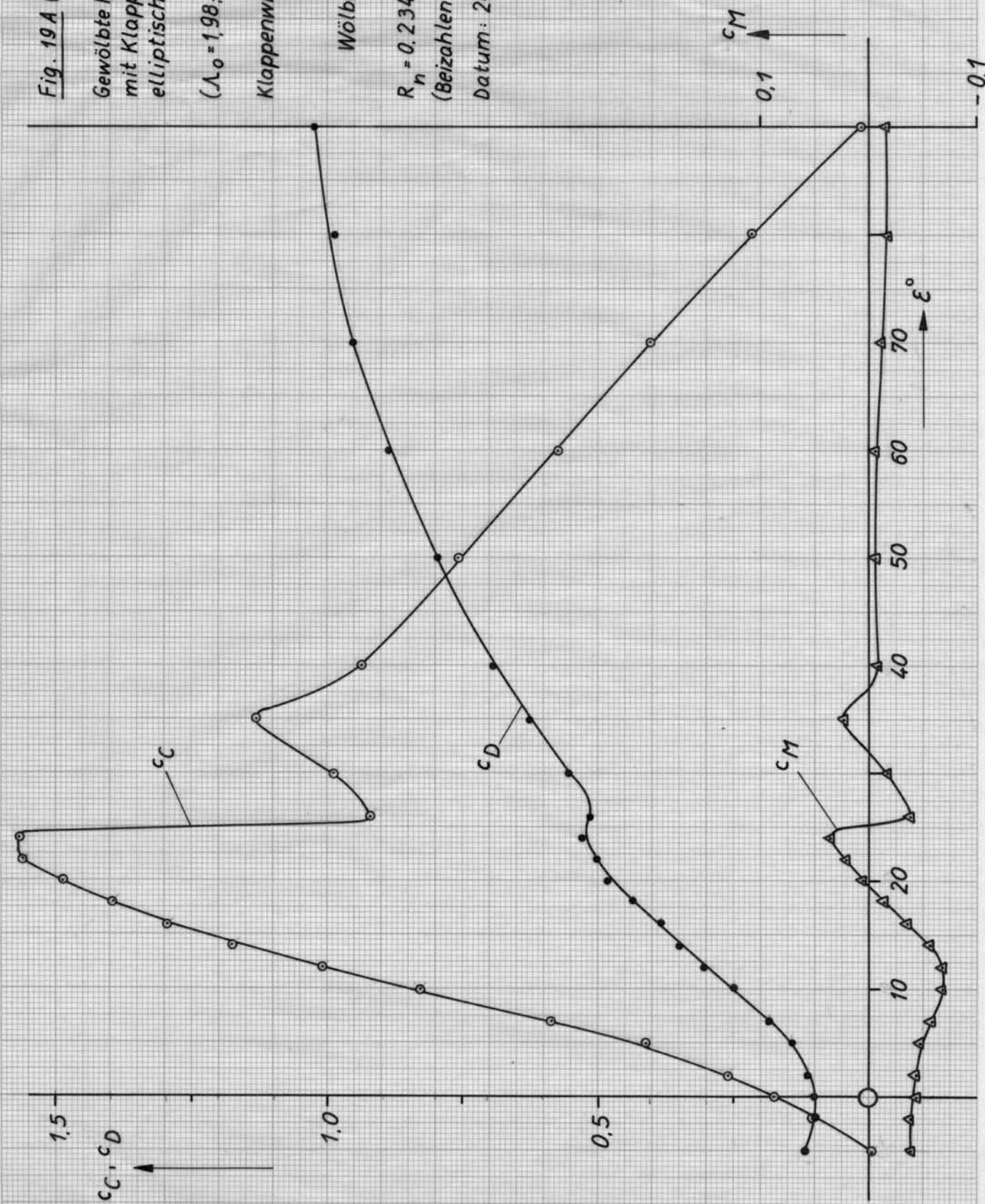


Fig. 19B (vgl. Tabelle 18)

Gewölbte Rechteckplatte
mit Klappen, am
elliptischen Mast

$$(\lambda_0 = 1,98; f_0/l_0 = 0,1095)$$

Klappenwinkel- $\delta_V = 30^\circ$

$$\delta_h = 30^\circ$$

$$Wölbung f/l = 0,208$$

$$\lambda = 2,18$$

$$R_n = 0,339 \cdot 10^6$$

(Beizahlen bezogen auf A_0).

Datum: 24. 5. 1963

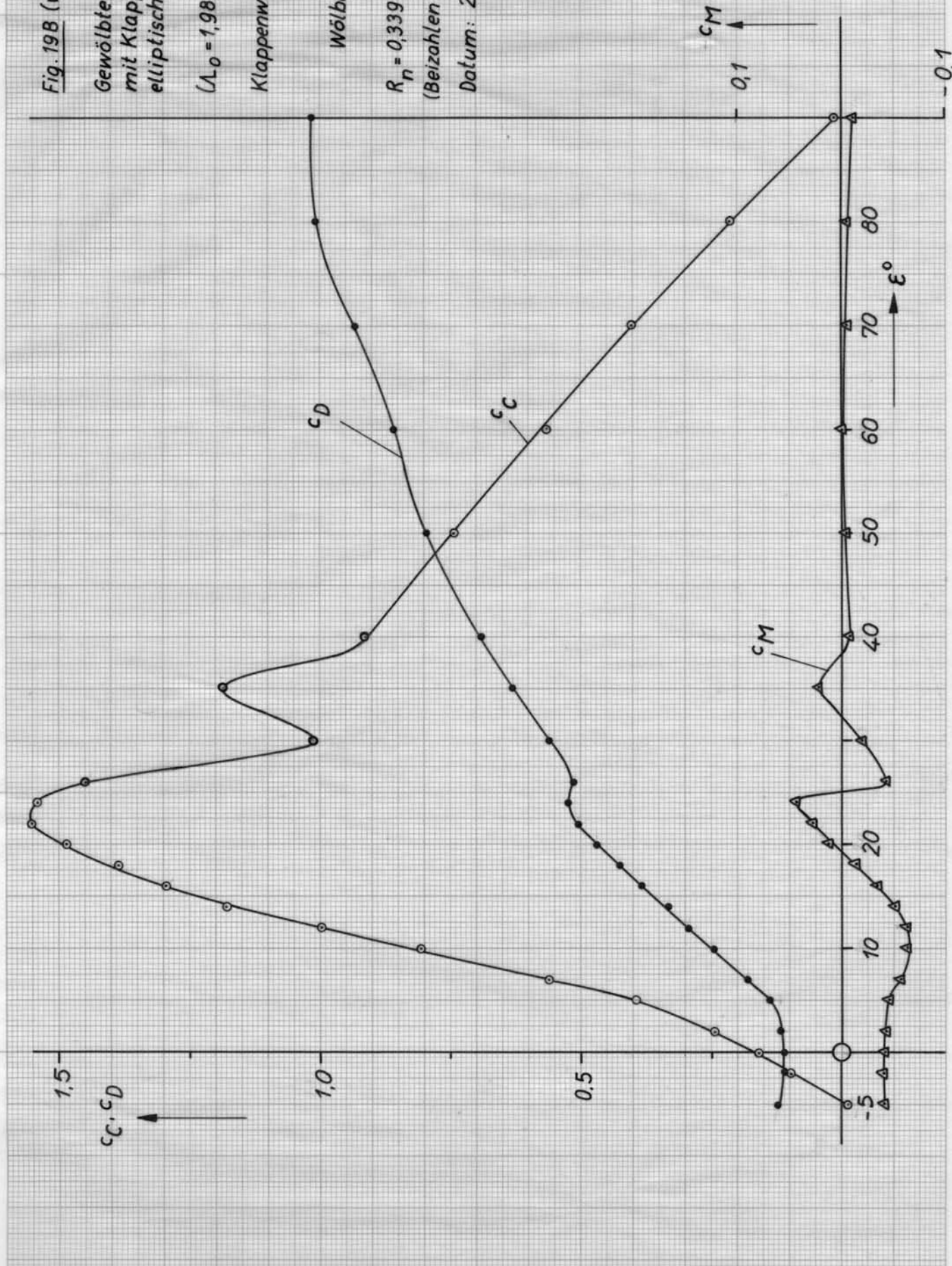


Fig. 20 Plattensegel mit 8% Kreiswölbung
am elliptischen Mast.
(Polarenvergleich)

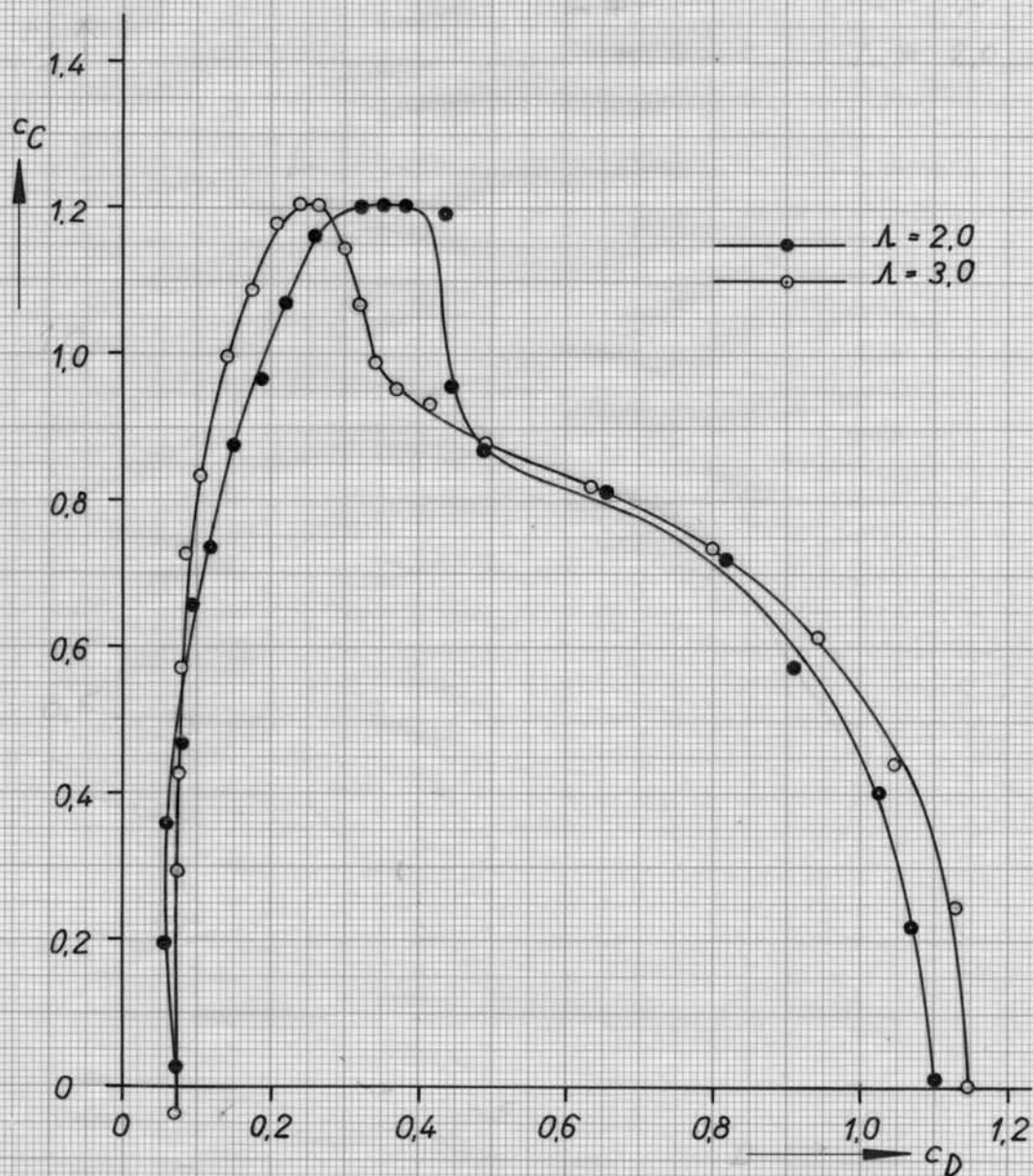


Fig. 21 Gewölbte Rechteckplatte mit Klappen, am elliptischen Mast.
 Einfluß der Vergrößerung des vorderen und hinteren Klappenwinkels auf die Polare
 (symmetrische Klappenstellung $-\delta_v = \delta_h$).
 (Beizahlen bezogen auf A_0).

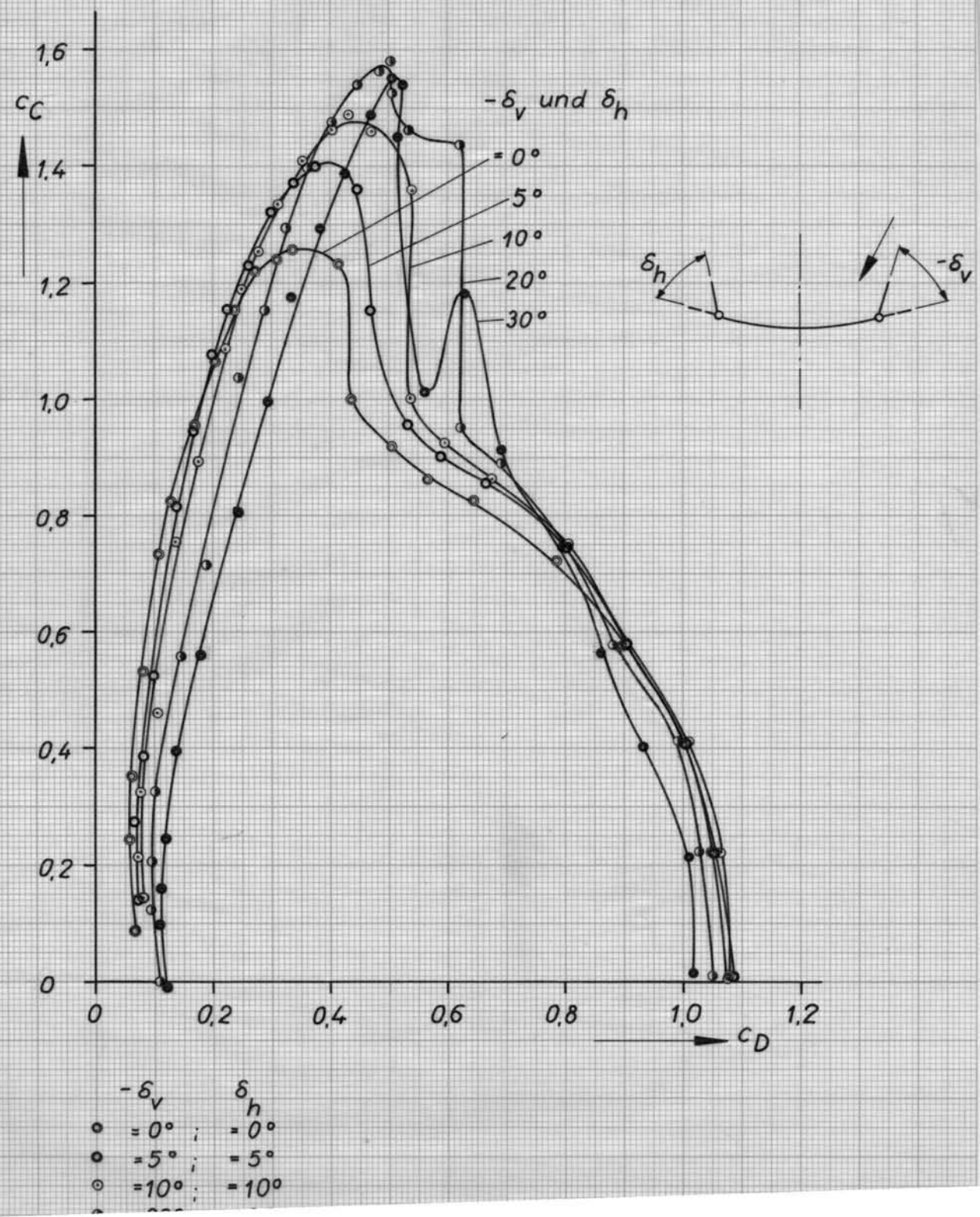


Fig. 22 Gewölbte Rechteckplatte mit Klappen,
am elliptischen Mast.
Einfluß des hinteren Klappenwinkels δ_h
auf die Polare ($\delta_v = 0^\circ$).
(Beizahlen bezogen auf A_0).

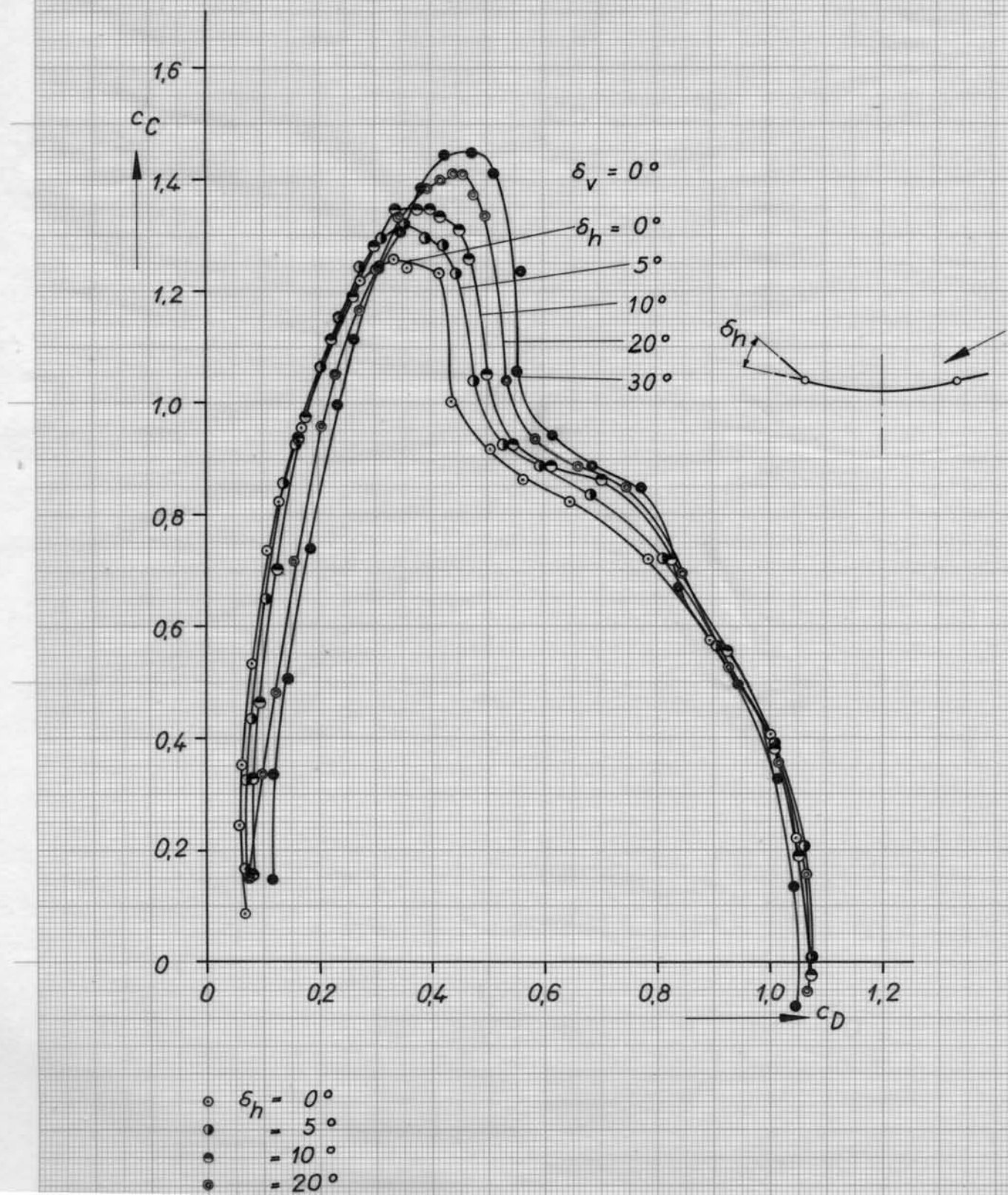


Fig. 23 Gewölbte Rechteckplatte mit Klappen,
am elliptischen Mast.

Einfluß des hinteren Klappenwinkels δ_h
auf die Polare, wenn $-\delta_v = 5^\circ$ ist.
(Beizahlen bezogen auf A_0).

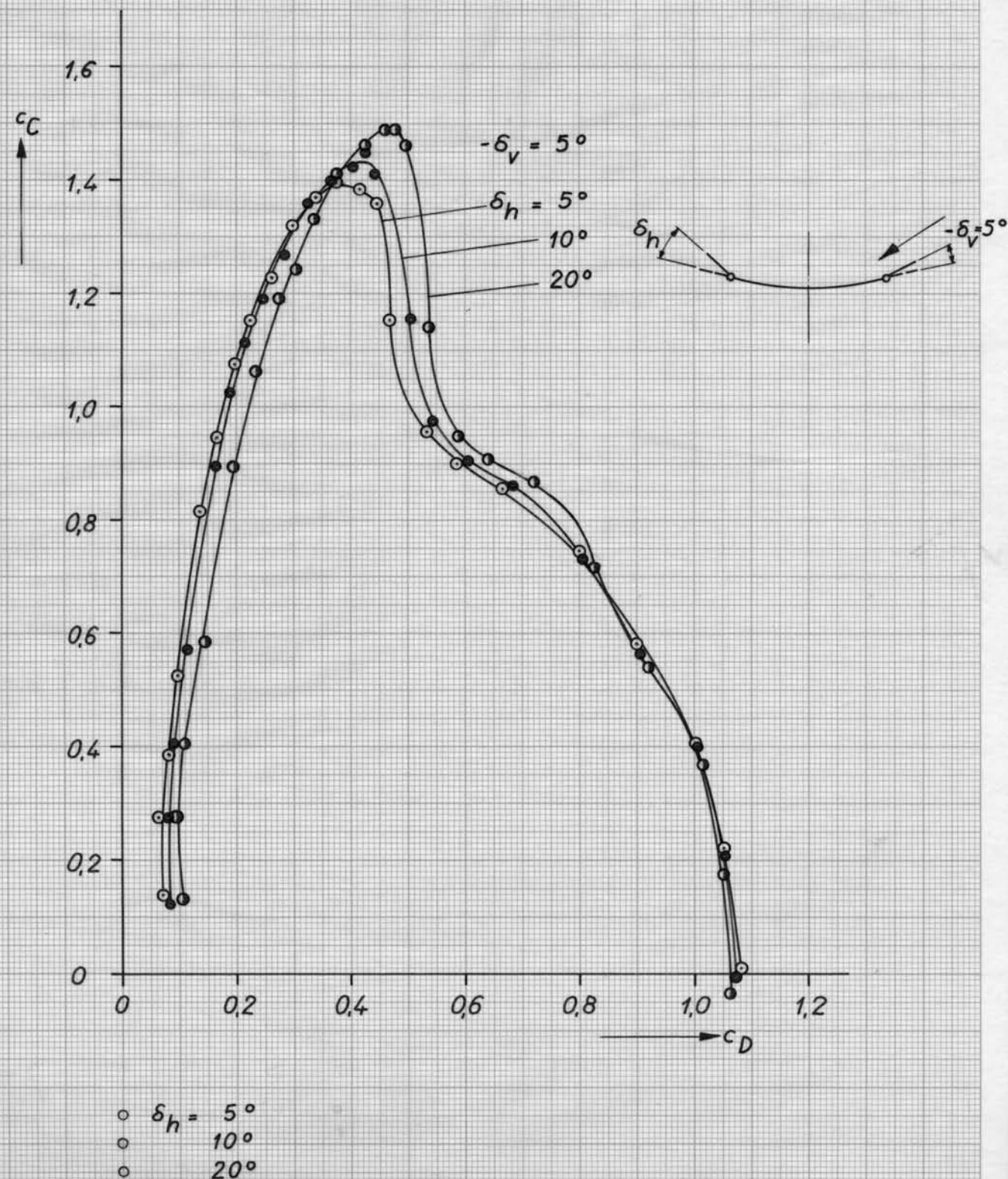


Fig. 24 Gewölbte Rechteckplatte mit Klappen, am elliptischen Mast.
 Einfluß des hinteren Klappenwinkels auf die Polare ($-\delta_v = 10^\circ$)
 (Beizahlen bezogen auf A_0).

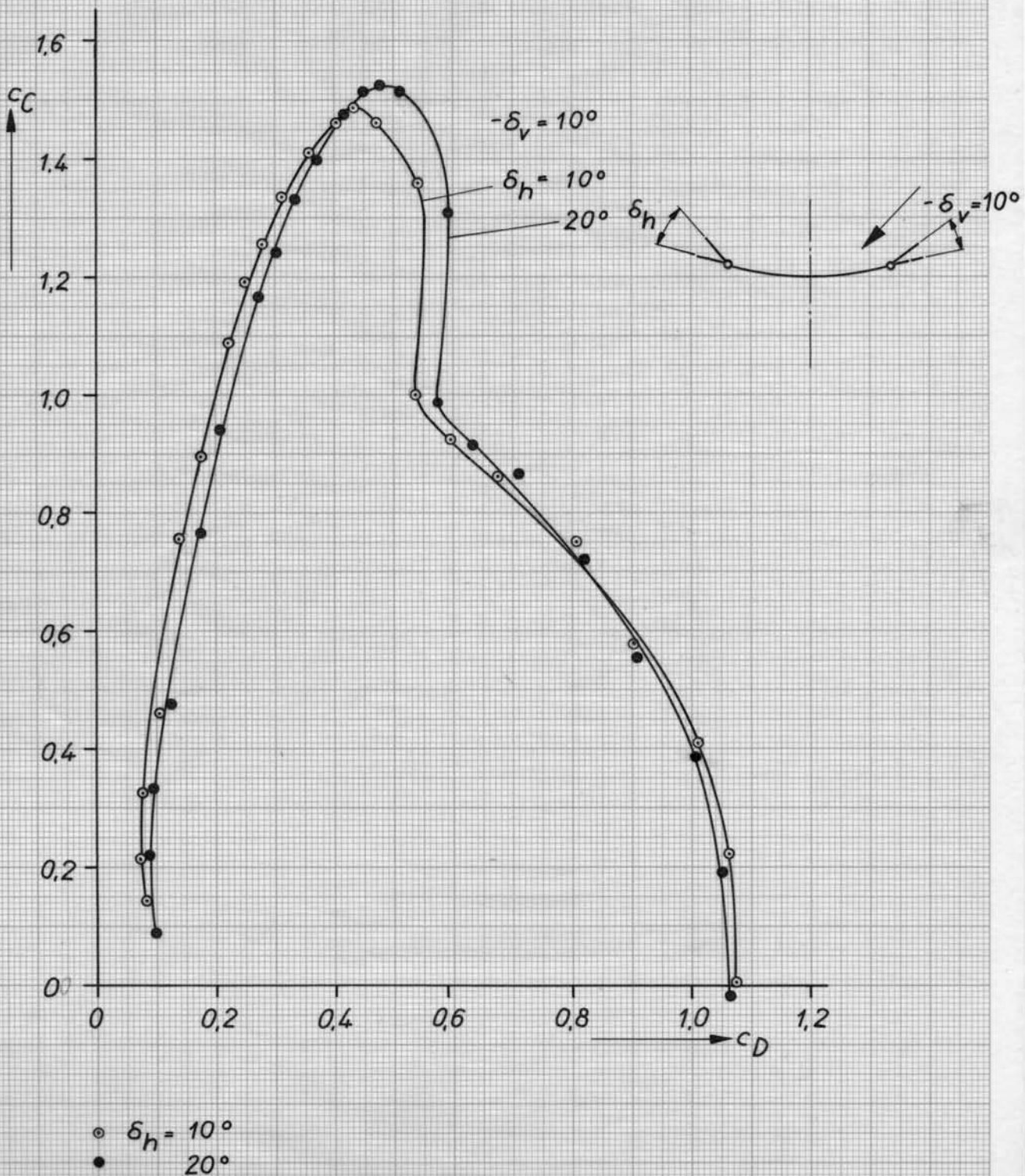
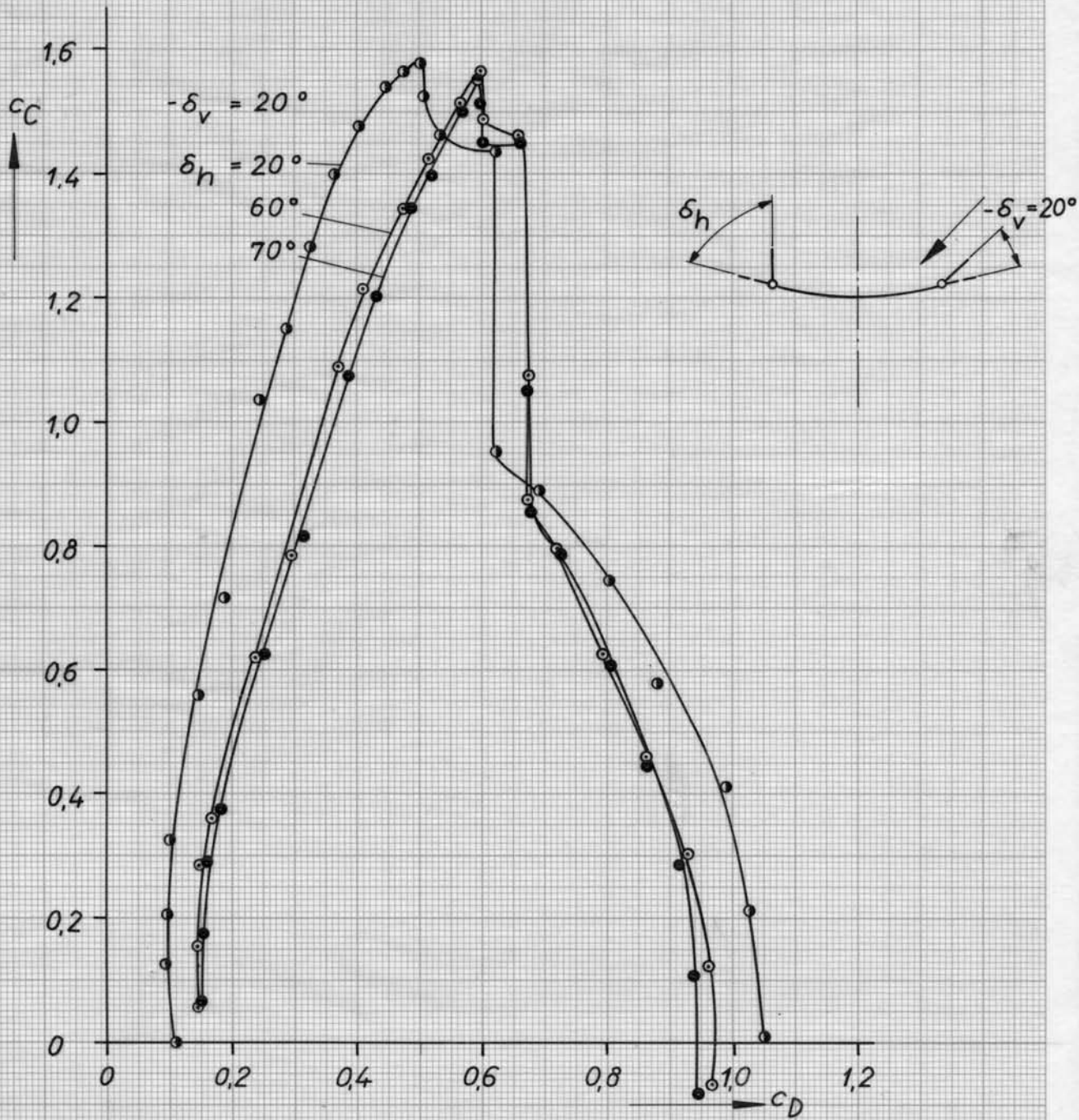


Fig. 25 Gewölbte Rechteckplatte mit Klappen,
am elliptischen Mast.
Einfluß des hinteren Klappenwinkels
auf die Polare ($-\delta_v = 20^\circ$).
(Beizahlen bezogen auf A_0).



$\circ \quad \delta_h = 20^\circ$
 $\circ \quad = 60^\circ$
 $\bullet \quad = 70^\circ$

Gewölbte Rechteckplatte mit Klappen, am elliptischen Mast. Polarenvergleich bei verschiedenen Klappenstellungen, aber etwa gleicher relativer Wölbung.
(Beizahlen bezogen auf A_0).

Fig. 27

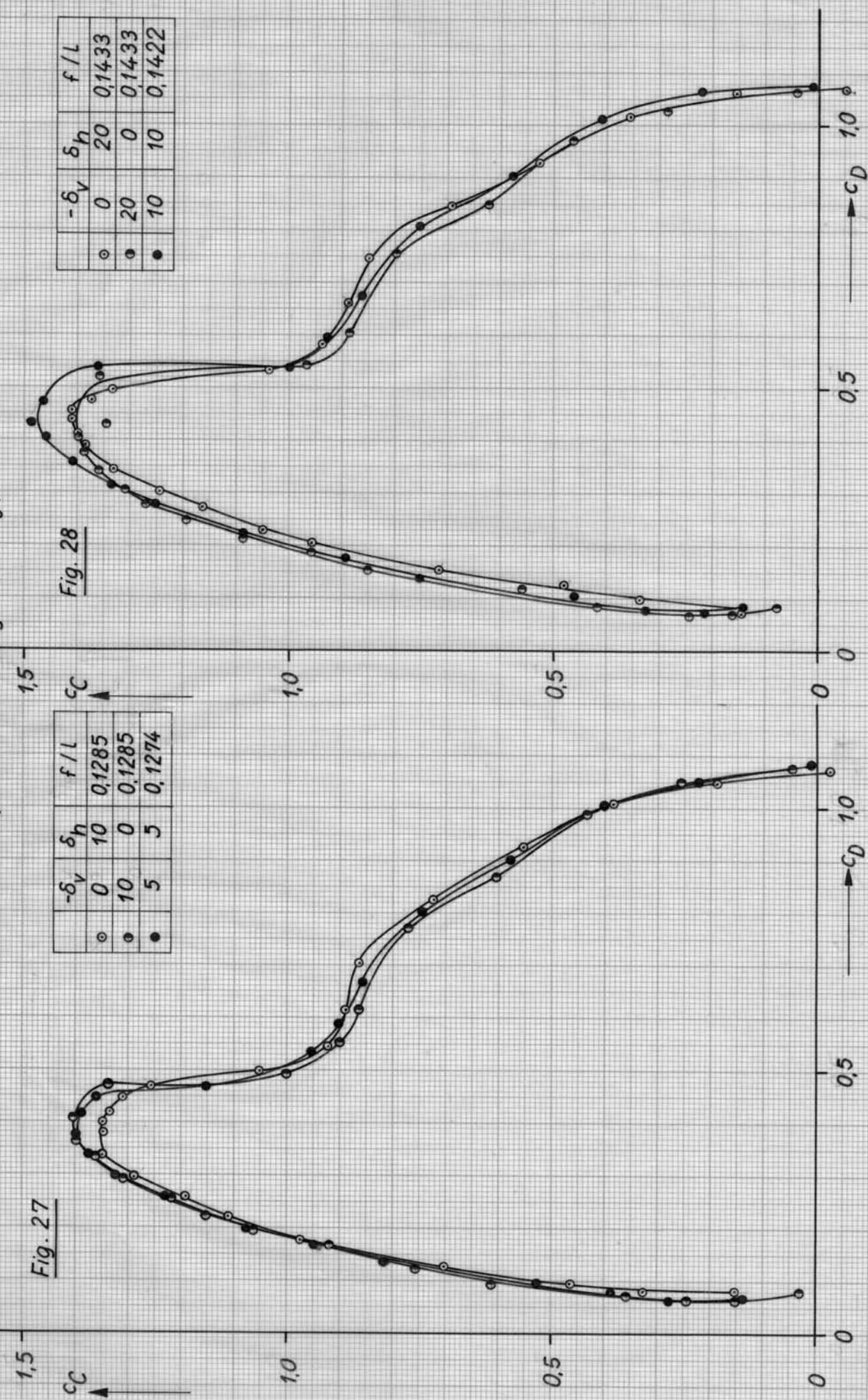


Fig. 28

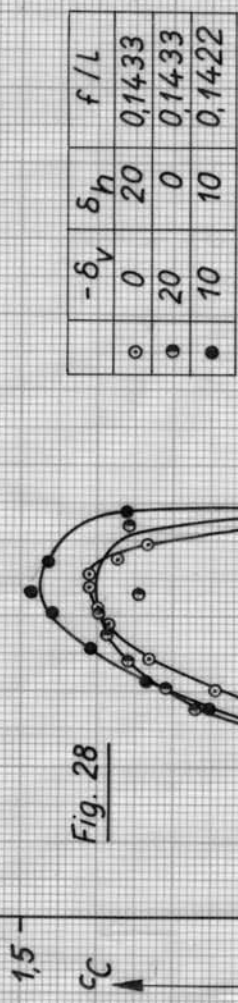


Fig. 26 Gewölbte Rechteckplatte mit Klappen, am elliptischen Mast.
 Einfluß des vorderen Klappenwinkels auf die Polare ($\delta_h = 0^\circ$).
 (Beizahlen bezogen auf A_0).

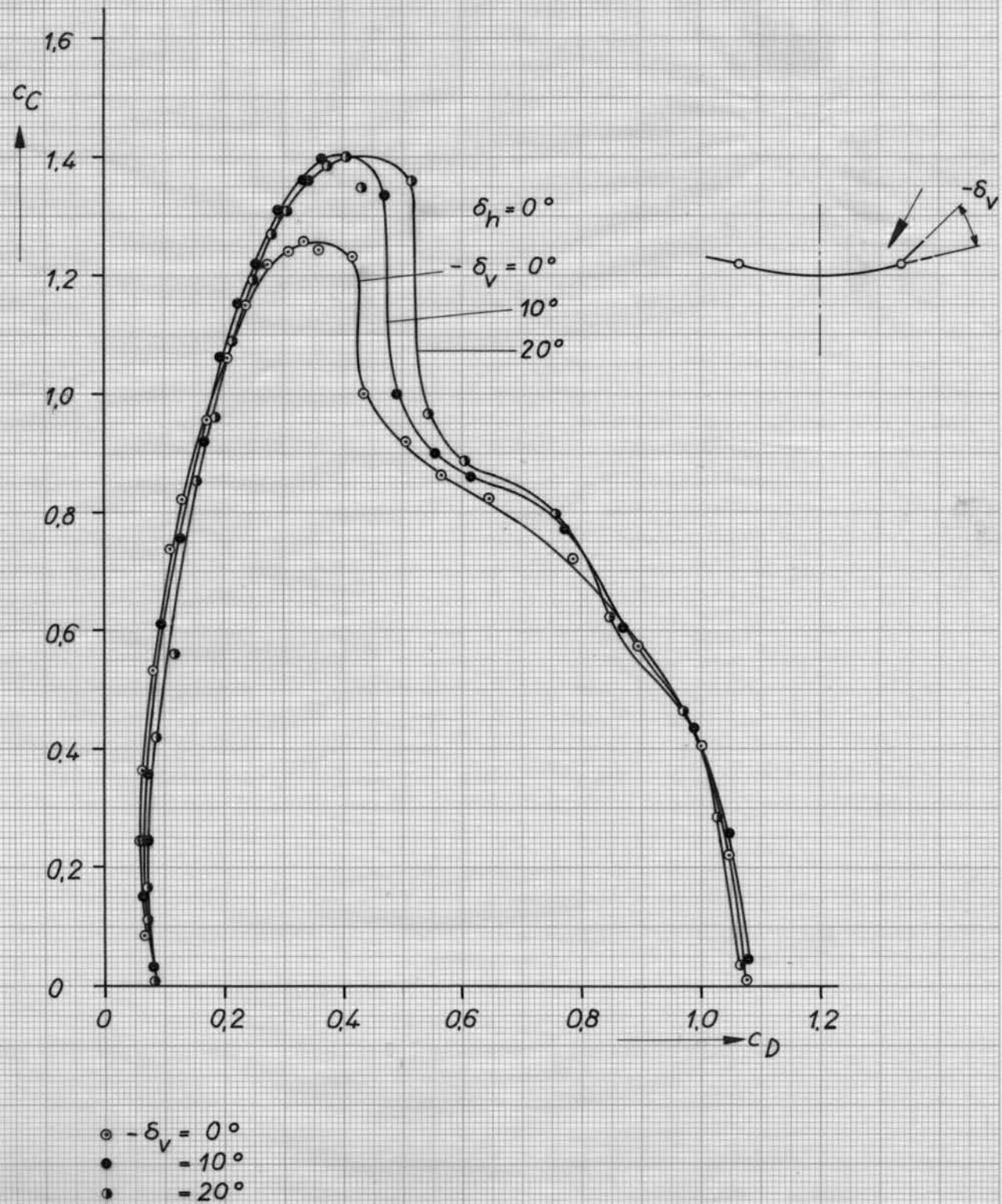
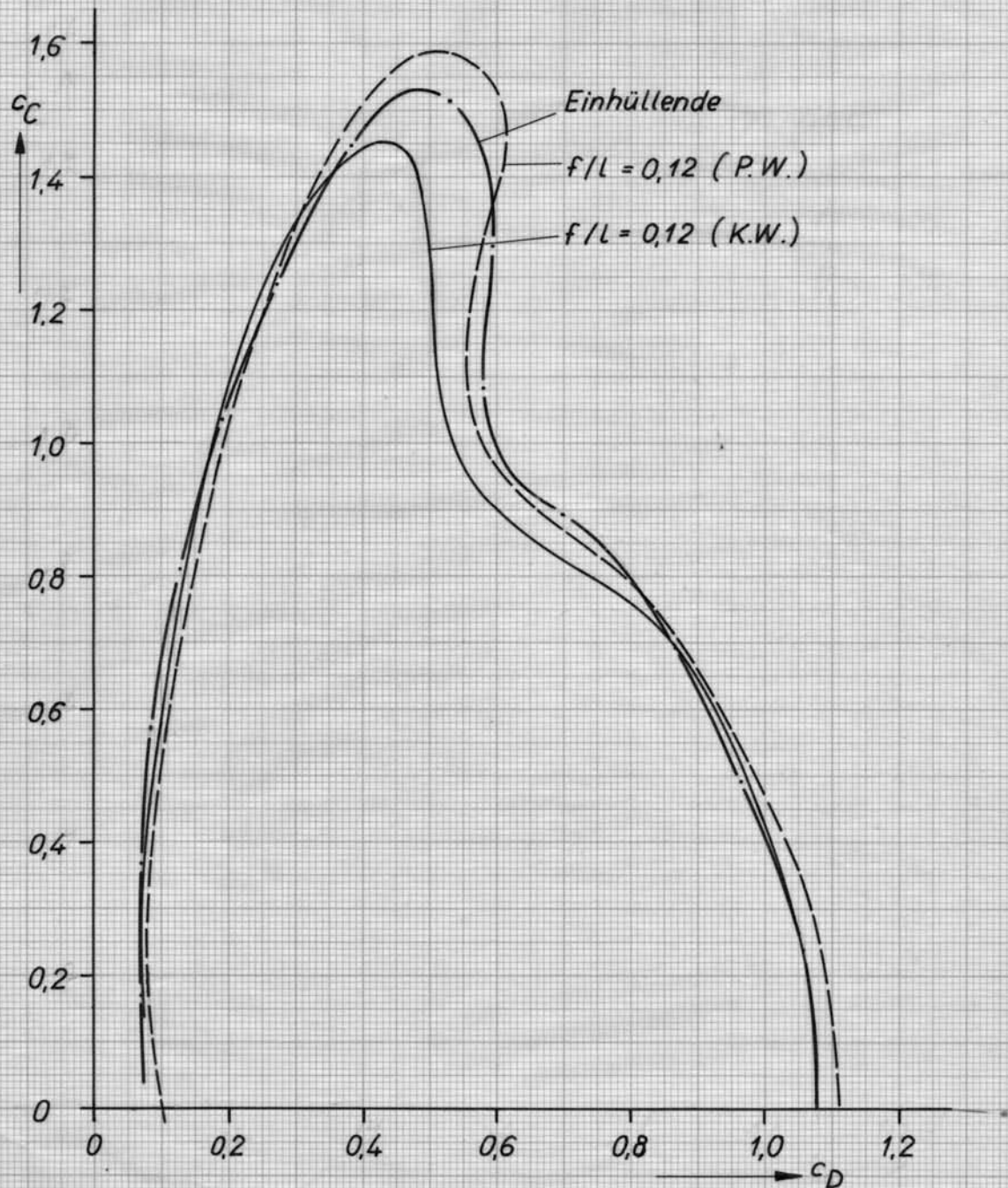


Fig. 29 Gewölbte Rechteckplatte mit Klappen.

am elliptischen Mast.

Vergleich der einhüllenden Polare, bezogen

auf A_0 , mit Polaren günstiger starrer Plattensegel.



— · — · Einhüllende Polare, bezogen auf A_0 (Plattensegel mit Klappen)
— · — · „Profil“-Wölbung $f/l = 0,12$ (Polare des starren Plattensegels)
— · — · Kreiswölbung $f/l = 0,12$ (Polare des starren Plattensegels)

Fig. 12 A (vgl. Tabelle 11)

Gewölbte Rechteckplatte
mit Klappen, am
elliptischen Mast

$$(\lambda_0 = 1.98; f_0/l_0 = 0.1095)$$

$$\text{Klappenwinkel} - \delta_V = 10^\circ$$

$$\delta_h = 0^\circ$$

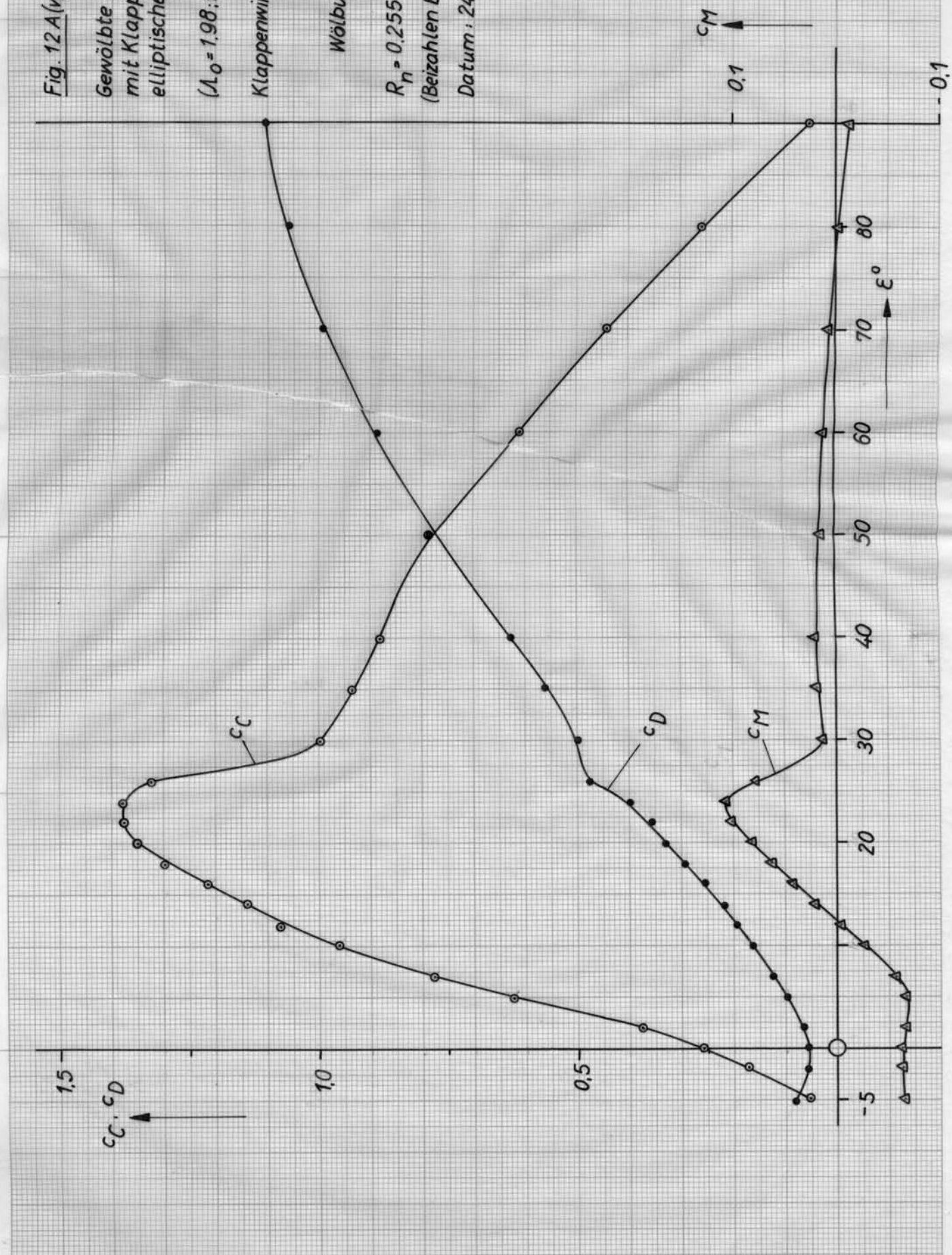
$$\text{Wölbung } f/l = 0.1285$$

$$\lambda_1 = 2.01$$

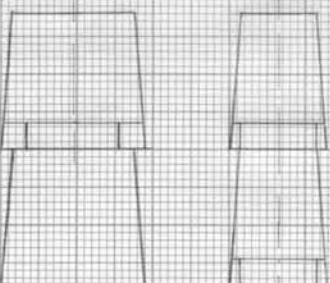
$$R_n = 0.255 \cdot 10^6$$

(Beizahlen bezogen auf A_0).

Datum: 24. 5. 1963



Paletheknot



Fallbom Paletheknot

